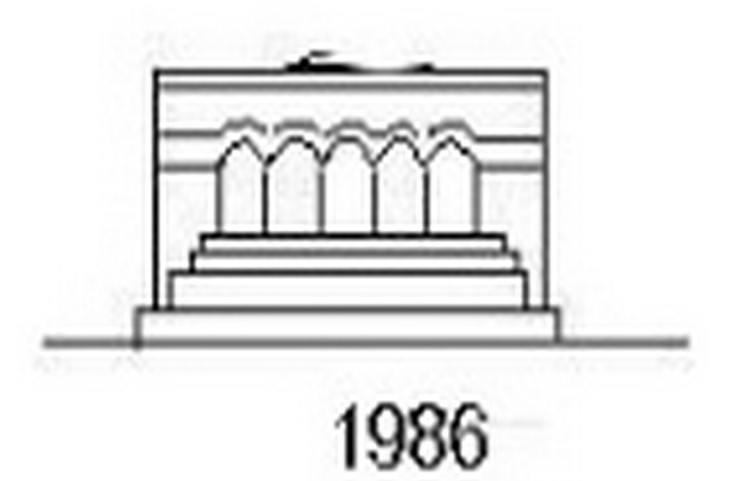
# ՄԵԽԱՆԻԿԱ

# МЕХАНИКА

# MECHANICS



УДК 539.3.01

## АСИМПТОТИЧЕСКИЙ АНАЛИЗ НАПРЯЖЕННО-ДЕФОРМИРОВАННОГО СОСТОЯНИЯ АНИЗОТРОПНОЙ СЛОИСТОЙ БАЛКИ

#### .М.А НЯЧТАРАХ . А. Л. НЯВОЛАТА

Работа посвящена определению и анализу напряженно-деформированного состояния слоистой анизотропной полосы-балки, слои которой в плоскости полосы обладают анизотропней общего вида. Для решения задач слоистых балок, пластии и оболочек обычно используется та или иная гипотеза. В первых исследованиях принималась гипотеза недеформируемых нормален для всего пакета в целом [1, 2]. Впоследствии были предложены многочисленные модели, обзор которых можно найти, например, в [2—5]. О рамках применимости каждой модели или гипотезы можно судить, имея точное решение или асимптотическое поведение решения соответствующей трехмерной задачи.

М. И. Гусейн-Заде методом асимптотического интегрирования [6] трехмерных уравнений теории упругости исследовала напряженно-деформированное состояние слоистой пластинки, составленной из про-извольного числа упругих изотропных слоев, жестко соединенных друг с другом. Дана классификация задач в зависимости от величины отношения модулей упругости слабых и несущих слоев [7, 8].

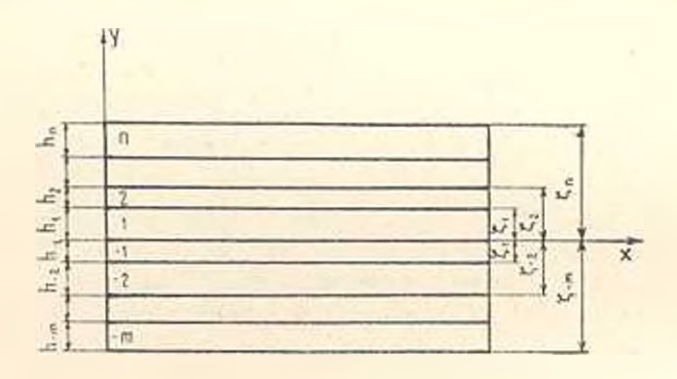
В настоящей работе асимптотическим методом построено решение, соответствующее внутренней задаче. Найдена связь полученного решения с решением по классической теории слоистых балок. Показано, что применимость классической теории существенно зависит как от отношений упругих коэффициентов отдельно взятого слоя, в частности, от  $E^{(a)}/G^{(a)}$ , так и от отношений модулей упругости различных слоев и их толшии. Важно отметить также, что эти факторы проявляют себя не раздельно, а в общем комплексе.

# 1. Постановка задачи и общее решение

Рассматривается плоская задача для анизотропной слонстой полосы длиной a и толщиной 2h, на продольных сторонах которой заданы значения напряжений, а на торцах x=0, a—произвольные пока условия. Считается, что слон имеют различные толщины  $h_k$ , коэффициенты упругости ... Нумерацию слоев ведем от линии Ox, используя для слоев, расположенных под этой линией, отрицательные номера. Полоса состоит из n-m слоев (фиг. 1).

$$\sigma_{xy} = \pm \frac{a}{h} X^{\pm}(x), \ \sigma_{y} = -Y^{\pm}(x) \text{ при } := 1.1$$

Заранее никакие ограничения на упругие свойства не накладываются, они будут выявлены в ходе получения и анализа асимптотического решения. Это позволяет, во-первых, получить известные уравнения и соотношения классической теории, соответствующие гипотезе недеформируемых нормалей, выявить возможный вклад анизотропии при применении этой гипотезы, во-вторых, выделять асимптотически те главные члены и отношения, на которые в первую очередь следует обратить внимание при уточнении результатов по классической геории; указать предельные случаи, когда классическая теория не применима.



Фиг. 1

Чтобы решить сформулированную краевую задачу, будем использовать асимптотический метод [6]. Вводится безразмерная система координат  $\mathbf{i} = x/a$ ,  $\mathbf{i} = y/h$ , после преобразования соответствующих уравнений теории упругости анизотропного тела, получается система, содержащая малый параметр  $\mathbf{e} = h$  а при старших производных. Эта система сингулярно возмущенная, и ее решение складывается из двух типов решений—внутреннего и пограничного слоя.

Решение внутренней задачи ищется в виде [6-10]

$$Q^{(k)} = e^{-q} \sum_{s=0}^{S} e^{s} Q^{(ks)}$$
 (1.2)

где  $Q^{(k)}$  — любое из напряжений или безразмерных перемешений  $U^{(k)} = u^{(k)}/a$ ,  $V^{(k)} = v^{(k)}/a$ , k номер слоя. Пелое число q выбирается следующим образом [6, 9, 10]:

$$q=2$$
 для  $q=1$  (1.3)

Подставляя (1.2) в уравнения теории упругости, с учетом (1.3), получим систему, решив которую, будем иметь

$$V^{(kt)} = w^{(kt)}(\xi) + v^{*(kt)}$$

$$U^{(k)} = -\frac{dw^{(k)}}{d\xi} + u^{(k)} + u^{*(k)} + u^{*(k)} = \frac{1}{a_{11}^{(k)}} \frac{du^{(k)}}{d\xi} - \frac{1}{a_{11}^{(k)}} \frac{d^2w^{(k)}}{d\xi^2} + \sigma_x^{*(k)}$$

$$\sigma_{xy}^{(k)} = \frac{1}{a_{11}^{(k)}} \frac{d^3w^{(k)}}{d\xi^3} + \frac{\tau^2}{2} - \frac{1}{a_{11}^{(k)}} \frac{d^3u^{(k)}}{d\xi^2} + \sigma_{xy}^{*(k)} + \sigma_{xy}^{*(k)} + \sigma_{xy}^{*(k)}$$

$$\sigma_y^{(k)} = -\frac{1}{a_{11}^{(k)}} \frac{d^4w^{(k)}}{d\xi^4} + \frac{\tau^3}{6} + \frac{1}{a_{11}^{(k)}} \frac{d^3u^{(k)}}{d\xi^3} + \frac{\tau^2}{2} - \frac{d\sigma_x^{(k)}}{d\xi} + \sigma_y^{(k)} + \sigma_x^{(k)}$$

$$(1.4)$$

где  $w^{(ks)}$ ,  $u^{(ks)}$ ,  $\sigma^{(ks)}_{xy0}$  и  $\sigma^{(ks)}_{xy0}$ —неизвестные пока функции от  $\xi$  и подлежат определению, а величины со звездочками—известные функции, которые по сути не отличаются от соответствующих формул для однослойной анизотропной полосы [10], лишь соответствующие величны приобретают индекс k, указывающий номер слоя.

Удовлетворив граничным условиям (1.1), а также условиям контакт, на линиях раздела  $1 = \mathbb{I}_h$  (k = 1, 2, ..., n - 1, -1, -2, ..., -m + 1), все величины можно выразить через перемещения  $u^{(ns)}$  и  $w^{(ns)}$ , а для определения этих получаются следующие уравнения:

$$C\frac{d^{3}u^{(ns)}}{d\xi^{2}} + K\frac{d^{3}w^{(ns)}}{d\xi^{3}} = p^{(s)}$$
 (1.5)

$$D\frac{d^{4}w^{(n)}}{d\xi^{3}} - K\frac{d^{3}n^{(ns)}}{d\xi^{3}} = q^{(s)}$$
 (1.6)

где

$$C = \sum_{k=1}^{n} \frac{1}{a_{11}^{(k)}} (\cdot, -\cdot, -\cdot) - \sum_{k=1}^{m} \frac{1}{a_{11}^{(k)}} (\cdot, -\cdot, -\cdot)$$

$$D = \frac{1}{3} \sum_{k=1}^{n} \frac{1}{a_{11}^{(k)}} (\cdot, -\cdot, -\cdot) - \frac{1}{3} \sum_{k=1}^{m} \frac{1}{a_{11}^{(k)}} (\cdot, -\cdot, -\cdot)$$

$$K = -\frac{1}{2} \sum_{k=1}^{n} \frac{1}{a_{11}^{(k)}} (\cdot, -\cdot, -\cdot, -\cdot) + \frac{1}{2} \sum_{k=1}^{n} \frac{1}{a_{11}^{(k)}} (\cdot, -\cdot, -\cdot, -\cdot, -\cdot)$$

$$(1.7)$$

Обобщенные нагрузки  $p^{(s)}$ ,  $q^{(s)}$  определяются по формулам

$$p^{(s)} = -\left(X^{+(s)} - X^{-(s)}\right) + \sum_{k=1}^{\infty} \left(\sigma_{x}^{*(ks)}(\zeta_{k}) - \sigma_{xy}^{*(ls)}(\zeta_{k-1})\right) - \sum_{k=1}^{\infty} \left(\sigma_{x}^{*(ks)}(\zeta_{k-1}) - \sigma_{xy}^{*(ls)}(\zeta_{k-1})\right) + \frac{1}{2} \sum_{k=1}^{-1} \frac{1}{a^{(s)}} \left(\zeta_{x}^{2} - \zeta_{x-1}^{2}\right) \sum_{j=k}^{-1} \frac{d^{3} V^{*(ls)}(\zeta_{j})}{dt^{3}} - \frac{1}{a^{(s)}} \left(\sigma_{x-j}^{2} - \sigma_{x-k-1}^{2}\right) \left[\sum_{j=1}^{\infty} \frac{1}{d^{3}} \frac{d^{3} V^{*(ls)}(\zeta_{j})}{dt^{3}} - \sum_{j=1}^{\infty} \frac{d^{3} V^{*(ls)}(\zeta_{k-1})}{dt^{3}}\right] - \sum_{k=1}^{\infty} \frac{1}{a^{(k)}} \left(\zeta_{k} - \zeta_{k-1}\right) \sum_{j=k}^{\infty} \frac{1}{d^{3}} \frac{d^{3} U^{*(ls)}(\zeta_{j})}{dt^{3}} + \sum_{k=1}^{\infty} \frac{1}{a^{(k)}} \left(\zeta_{k} - \zeta_{k-1}\right) \left[\sum_{j=1}^{\infty} \frac{d^{3} U^{*(ls)}(\zeta_{j})}{dt^{3}} - \sum_{j=1}^{\infty} \frac{d^{3} U^{*(j-1)}(\zeta_{k-1})}{dt^{3}}\right]$$

$$-\sum_{k=1}^{n} \left(\sigma_{y}^{*(ks)}(\zeta_{k}) - \sigma_{y}^{*(ks)}(\zeta_{k-1})\right) + \sum_{k=1}^{m} \left(\sigma_{y}^{*(-ks)}(\zeta_{-k}) - \sigma_{y}^{*(-ks)}(\zeta_{-k+1})\right) - \frac{1}{2} \sum_{k=1}^{m} \left(\frac{d\sigma_{y}^{*(-ks)}(\zeta_{-k+1})}{d\zeta} - \frac{d\sigma_{y}^{*(-ks)}(\zeta_{-k+1})}{d\zeta} - \frac{d\sigma_{y}^{*(-ks)}(\zeta_{-k+1})}{d\zeta} - \frac{1}{2} \sum_{k=1}^{m} \frac{1}{a\zeta_{1}^{*(-k)}} \left(\zeta_{2-k}^{*(-ks)} - \zeta_{-k+1}^{*(-ks)}(\zeta_{-k+1}) - \frac{1}{2} \sum_{k=1}^{m} \frac{1}{a\zeta_{1}^{*(-k)}} \left(\zeta_{2-k}^{*(-ks)} - \zeta_{-k+1}^{*(-ks)}(\zeta_{-k}) - \frac{1}{2} \sum_{k=1}^{m} \frac{1}{a\zeta_{1}^{*(-k)}} \left(\zeta_{2-k}^{*(-ks)} - \zeta_{-k+1}^{*(-ks)}(\zeta_{-k}) - \frac{1}{2} \sum_{k=1}^{m} \frac{1}{a\zeta_{1}^{*(-k)}} \left(\zeta_{2-k}^{*(-ks)} - \zeta_{-k+1}^{*(-ks)}(\zeta_{-k}) - \zeta_{2-k+1}^{*(-ks)}(\zeta_{-k}) - \zeta$$

После удовлетворения условиям (1.1) также получается

 $X^{\pm (0)} = X^{\pm} Y^{\pm (0)} = Y^{\pm}, X^{\pm (s)} = Y^{\pm (s)} = 0 \text{ при } s > 0$ 

$$z^{(ns)} = Y^{+(s)} + \frac{dX^{+(s)}}{as} z_n - z_n^{-(ns)}(z_n) - \frac{dz_n^{(ns)}}{dt} z_n^{-(ns)} = \frac{1}{3a_{11}^{(n)}} \frac{d^3u^{(ns)}}{dt^3} z_n^{-(ns)} = \frac{1}{2a_{11}^{(n)}} \frac{d^3u^{(ns)}}{dt^3} z_n^{-(ns)} = \frac{1}{2a_{11}^{(ns)}} \frac{d^3u^{(ns)}}{dt^3} z_n^{-(ns)} = \frac{1}{2a_{11}^{$$

Перемещения остальных слоев выражаются через  $u^{(n)}$  и  $w^{(n)}$  по формулам

$$u^{(ks)} = u^{(ns)} + \sum_{j=nk} U$$

$$(k = 1, 2, ..., n-1)$$

$$v^{(ks)} = v^{(ns)} + \sum_{j=nk} U^{(ns)}(x_j)$$

$$u^{(-ks)} = u^{(ns)} + \sum_{i=1}^{n-1} U^{*(i)s}(\zeta_i) - \sum_{j=1}^{n-1} U^{*(-js)}(\zeta_{-j})$$

$$(k = 1, 2, ..., m)$$

$$w^{(-ks)} = w^{(ns)} + \sum_{j=1}^{n-1} V^{*(js)}(\zeta_j) - \sum_{j=1}^{k-1} V^{*(-js)}(\zeta_{-j})$$

а используя (1.4)— и условня контакта между слоями, для определения о<sup>(kg)</sup> и о<sup>(kg)</sup> можно получить рекуррентные формулы.

Всегда можно координатную систему (линию отсчета) выбрать так, чтобы величина K обращалась в нуль, что равносильно условию

$$\sum_{k=1}^{n} \frac{1}{a(k)} \left( \zeta_{k}^{2} - \zeta_{k-1}^{2} \right) = \sum_{k=1}^{m} \frac{1}{a(-k)} \left( \zeta_{-k}^{2} - \zeta_{-k+1}^{2} \right) \tag{1.12}$$

При выполнении условия приведения (1.12) уравнения (1.5) и (1.6) в нулевом приближении оказываются несвязанными. Так как  $Q^{\bullet(40)} = 0$  (k=1,2,...,n,-1,-2,...,m), то  $u^{(k0)} = u^{(n0)}$ ,  $w^{(k0)} = w^{(n0)}$  при любом k. Это значит, что при s=0 все расчетные формулы (1.4) совпадают с теми. что получаются, если принять гипотезу Бернулли-Эйлера для всего пакета в целом [1]. Последующие приближения уточняют классическую теорию. Величина вносимой поправки, следовательно, и применимость гипотезы плоских сечений зависии от порядка величин  $p^{(k)}$  и  $q^{(k)}$  зависищих не только от изменяемости внешней нагрузки, но и от отношений упругих коэффициентов и толщин слоев. Ниже, для двухслойных и трехслойных балок, более конкретно, выявляется влияние этих факторов.

## 2. Двухслойная балка из ортотропных материалов

В уравнениях и расчетных формулах п. 1, полагая n=1, m=2, получим все необходимые данные для двухслойной балки. Пусть верхний слой характеризуется упругими коэффициентами  $a_{ij}$ , нижний слой  $-a_{ij}^{*}$  и имеют толщины, равные  $h_1$  и  $h_{-1}$ , соответствению. Тогда перемещения  $u^{(1s)}$  и  $w^{(1s)}$  будут определяться из уравнений (1.5) и (1.6), где жесткости  $C_i$   $D_i$  и  $K_i$  вычисляются по формулам

$$C = E_1(\zeta_1 - \zeta_{-1}) - E_1(\zeta_{-1} - \zeta_{-1}), \quad D = 1/3 \left[ E_1(\zeta_1 - \zeta_{-1}) - E_1(\zeta_{-1}^3 - \zeta_{-1}^3) \right]$$

$$K = 1/2 \left[ -E_1(\zeta_1^2 - \zeta_{-1}^2) + E_1(\zeta_{-2}^2 - \zeta_{-1}^2) \right]$$
(2.1)

Здесь

 $h_{\rm e}$ —расстояние линии раздела слоев от координатной оси Ox. Условие приведения (1.12) дает

$$h_0 = \frac{E_1 h_1^2 - E_1 h_2^2}{2(E_1 h_1 + E_1 h_{-1})} \tag{2.3}$$

Обобщенные нагрузки определяются следующим образом:

$$p^{(0)} = -(X^{\tau} + X^{-}), \quad q^{(0)} = Y^{\tau} + Y^{-} + \frac{dX}{dz} \cdot z_{1} + \frac{dX}{dz} \cdot z_{-1}$$

$$p^{(1)} = q^{(1)} = 0$$
(2.4)

Выражения для  $p^{(2)}$  и  $q^{(3)}$  из-за громозкости не приводятся. Отметим, что они являются функциями от отношений упругих модулей  $E_1/E_1^*$ ,  $E_1/G_{12}$ ,  $E_1^*/G_{12}$  и толщин слоев  $h_1/h_{-1}$ .

Введем следующие обозначения:

$$\frac{h_1}{h_{-1}} = \varepsilon^{\alpha}, \quad \frac{E_1}{E} = \varepsilon^{\beta}, \quad \frac{E_2}{G_{12}} = \varepsilon^{1/2}$$
(2.5)

Тогда  $p^{(2)}$  и  $q^{(2)}$  будут содержать слагаемые вида

$$\frac{d^3p^{(0)}}{d\xi^2}, \qquad \frac{dq^{(0)}}{d\xi} \qquad \frac{d^3p^{(0)}}{d\xi^3}, \qquad \frac{d^3q^{(0)}}{d\xi^3} \tag{2.6}$$

Если  $\eta > 0$ , то соответствующая поправка мала и ею можно пренебречь (считается, что изменяемость нагрузки невелика), а если какой-либо  $\eta < 0$ , то поправку необходимо учитывать. При этом, при  $\eta < -2$  величина поправки от второго приближения будет иметь такой же порядок, что и первое приближение. Это будет свидетельствовать о том, что асимптотика (1.3) становится несправедливой, как и гипотеза плоских сечений.

Конкретиее, обобщенные нагрузки  $p^{(2)}$  и  $q^{(2)}$  есть суммы, состоящие из слагаемых, имеющих такие порядки

$$q^{(2)} = O\left(\sum_{k=0}^{\infty} \left(\frac{1}{a^{(0)}}\right) \frac{dq^{(0)}}{d\xi^{3}} + O\left(\sum_{k=0,2,4,5} \left(\epsilon^{\frac{9}{3}k} + \epsilon^{\frac{9}{4}k}\right)\right) \frac{dq^{(0)}}{d\xi^{2}}\right)$$

$$(2.7)$$

$$Tadd = \frac{1}{a^{(0)}} = \frac{1}{a^{(0)}} \left(\frac{1}{a^{(0)}}\right) \frac{dq^{(0)}}{d\xi^{3}} + O\left(\sum_{k=0,2,4,5} \left(\epsilon^{\frac{9}{3}k} + \epsilon^{\frac{9}{4}k}\right)\right) \frac{dq^{(0)}}{d\xi^{2}}$$

В табл. 1-2 приведены значения  $\alpha$  и  $G_{\ell k}$  при возможных значениях комбинаций  $\alpha$  и 3 для главных членов обобщенных нагрузок  $p^{(\ell)}$  и  $q^{(2)}$ . Пусть

$$\lambda = \min\{\delta_{Ik}\}, \quad \mu = \min\{\theta_{Ik}\} \tag{2.8}$$

Учет второго приближения асимптотического разложения позволяет определить напряженно-деформированное состояние с точностью  $O(\epsilon^{2+m\ln(\lambda,\mu)})$ . Если  $\lambda$ ,  $\mu$  неотридательные числа, то классическая теория даст приемлемый результат. При  $-1 \le 1$ ,  $\mu < 0$  классическую теорию можно применять, но она теперь даст правильный результат при малых значениях  $\epsilon$ ,  $\epsilon$  противном случае необходимо вычислять второе приближение. При  $-2 < \lambda$ ,  $\alpha < -1$  учет второго приближения становится обязательным, а это значит, что в (1.4) величины со звездочками отличны от нуля, то есть гипотеза плоских

					Tabauqu
		(k=0, 1, 2, 3)	(k=0, 1, 2, 3)	(k=0, 1, 2, 3, 4)	(k=0, 1, 2, 3, 4)
1	a>0, α+β>0	>-	n-8	7-	۲,1—8
2	a>0, a+3<0, 2a+β>0	7-2(4-5)	$\gamma_1 - \beta + (k-2)(\alpha + \beta)$	$\gamma - 3(\alpha + \beta)$	71-8+(k-3)(a+f)
3	a>0, a+5 <0, 2a+5 <0	7+40+5	$\gamma_1 + (4-k)\alpha$	7+54+3	71+(5-k)a
4	$a < 0, a + \beta > 0, 2a + \beta > 0$	$\gamma - (4-k)x$	71-44-8	$7-(5-k)\alpha$	71-52-9
5	a<0, a+\$>0, 2a+\$≤0	7+3-(4-2)(2+3)	$\gamma_1 + 2(\alpha + \beta)$	7十3-(4-3)(4十分)	71+3(0+9)
9	a≤0, a+β≤0	7+8	73	5++5	73
		(k=0, 1, 2, 3, 4)	(k=0, 1, 2, 3, 4)	(k=0, 2, 4, 5)	(k=0, 2, 4, 5)
- 41 60 4 70 10 70 70	a > 0 + > 0 3 + 2 0 3 + 2 0 3 + 2 0 3 + 2 0 3 + 2 0 3 + 2 0 3 + 2 0 3 + 2 0 3 + 2 0 3 + 2 0 3 + 2 0 3 + 2 0 3 + 2 0 3 + 2 0 3 + 2 0 3 + 2 0 3 + 2 0 3 + 2 0 3 + 2 0 3 + 2 0 3 + 2 0 3 + 2 0 3 + 2 0 3 + 2 0 3 + 2 0 3 + 2 0 3 + 2 0 3 + 2 0 3 + 2 0 3 + 2 0 3 + 2 0 3 + 2 0 3 + 2 0 3 + 2 0 3 + 2 0 3 + 2 0 3 + 2 0 3 + 2 0 3 + 2 0 3 + 2 0 3 + 2 0 3 + 2 0 3 + 2 0 3 + 2 0 3 + 2 0 3 + 2 0 3 + 2 0 3 + 2 0 3 + 2 0 3 + 2 0 3 + 2 0 3 + 2 0 3 + 2 0 3 + 2 0 3 + 2 0 3 + 2 0 3 + 2 0 3 + 2 0 3 + 2 0 3 + 2 0 3 + 2 0 3 + 2 0 3 + 2 0 3 + 2 0 3 + 2 0 3 + 2 0 3 + 2 0 3 + 2 0 3 + 2 0 3 + 2 0 3 + 2 0 3 + 2 0 3 + 2 0 3 + 2 0 3 + 2 0 3 + 2 0 3 + 2 0 3 + 2 0 3 + 2 0 3 + 2 0 3 + 2 0 3 + 2 0 3 + 2 0 3 + 2 0 3 + 2 0 3 + 2 0 3 + 2 0 3 + 2 0 3 + 2 0 3 + 2 0 3 + 2 0 3 + 2 0 3 + 2 0 3 + 2 0 3 + 2 0 3 + 2 0 3 + 2 0 3 + 2 0 3 + 2 0 3 + 2 0 3 + 2 0 3 + 2 0 3 + 2 0 3 + 2 0 3 + 2 0 3 + 2 0 3 + 2 0 3 + 2 0 3 + 2 0 3 + 2 0 3 + 2 0 3 + 2 0 3 + 2 0 3 + 2 0 3 + 2 0 3 + 2 0 3 + 2 0 3 + 2 0 3 + 2 0 3 + 2 0 3 + 2 0 3 + 2 0 3 + 2 0 3 + 2 0 3 + 2 0 3 + 2 0 3 + 2 0 3 + 2 0 3 + 2 0 3 + 2 0 3 + 2 0 3 + 2 0 3 + 2 0 3 + 2 0 3 + 2 0 3 + 2 0 3 + 2 0 3 + 2 0 3 + 2 0 3 + 2 0 3 + 2 0 3 + 2 0 3 + 2 0 3 + 2 0 3 + 2 0 3 + 2 0 3 + 2 0 3 + 2 0 3 + 2 0 3 + 2 0 3 + 2 0 3 + 2 0 3 + 2 0 3 + 2 0 3 + 2 0 3 + 2 0 3 + 2 0 3 + 2 0 3 + 2 0 3 + 2 0 3 + 2 0 3 + 2 0 3 + 2 0 3 + 2 0 3 + 2 0 3 + 2 0 3 + 2 0 3 + 2 0 3 + 2 0 3 + 2 0 3 + 2 0 3 + 2 0 3 + 2 0 3 + 2 0 3 + 2 0 3 + 2 0 3 + 2 0 3 + 2 0 3 + 2 0 3 + 2 0 3 + 2 0 3 + 2 0 3 + 2 0 3 + 2 0 3 + 2 0 3 + 2 0 3 + 2 0 3 + 2 0 3 + 2 0 3 + 2 0 3 + 2 0 3 + 2 0 3 + 2 0 3 + 2 0 3 + 2 0 3 + 2 0 3 + 2 0 3 + 2 0 3 + 2 0 3 + 2 0 3 + 2 0 3 + 2 0 3 + 2 0 3 + 2 0 3 + 2 0 3 + 2 0 3 + 2 0 3 + 2 0 3 + 2 0 3 + 2 0 3 + 2 0 3 + 2 0 3 + 2 0 3 + 2 0 3 + 2 0 3 + 2 0 3 + 2 0 3 + 2 0 3 + 2 0 3 + 2 0 3 + 2 0 3 + 2 0 3 + 2 0 3 + 2 0 3 + 2 0 3 + 2 0 3 + 2 0 3 + 2 0 3 + 2 0 3 + 2 0 3 + 2 0 3 + 2 0 3 + 2 0 3 + 2 0 3 + 2 0 3 + 2 0 3 + 2 0 3 + 2 0 3 + 2 0 3 + 2 0 3 + 2 0 3 + 2 0 3 + 2 0 3 + 2 0 3 + 2 0 3 + 2 0 3 + 2 0 3 + 2 0 3 + 2 0 3 + 2 0 3 + 2 0 3 + 2 0 3 + 2 0 3 + 2 0	$ \begin{array}{c c}     & \gamma \\     & \gamma - (\alpha + \beta) \\     & \gamma - 4\alpha - 3\beta \\     & \gamma + 4\alpha + \beta \\     & \gamma - (4 - k)\alpha \\     & \gamma - (k - 1)(\alpha + \beta) + \beta \\     & \gamma - (k - 1)(\alpha + \beta) + \beta \end{array} $	$7_1 - \frac{1}{2}$ $7_1 + (k-1)(a+\frac{1}{2}) - \frac{1}{2}$ $7_1 + (k-4)(a+\frac{1}{2})$ $7_1 + (4-k)a$ $7_1 - 4a - \frac{1}{2}$ $7_1 + 4a + \frac{1}{2}$ $7_1 + a + \frac{1}{2}$	$\begin{array}{c} 7 \\ 7-2(a+\beta) \\ 7-5a-4\beta \\ 7+5a+\beta \\ 7-(5-k)a \\ 7-(k-5)(a+\beta) \\ 7-(k-5)(a+\beta) \\ 7-(k-2)(a+\beta) \end{array}$	$\begin{array}{c} \gamma_1 - \beta \\ \gamma_1 + (k-2)(\alpha+\beta) - \beta \\ \gamma_1 + (k-5)(\alpha+\beta) \\ \gamma_1 + (5-k)\alpha \\ \gamma_1 - 5\alpha - \beta \\ \gamma_1 + 5\alpha + 4\beta \\ \gamma_1 + 2(\alpha+\beta) \end{array}$

сечений перествет быть справедливый, но для расчета проходит итерационный метод. При  $\min (\lambda, \mu) = 2$  (сверхсильная анизотропия) величина вносимой поправки от второго приближения будет иметь больший или равный порядок по сравнению с исходным приближением.

Для таких случаев асимптотика (1.3), следовательно, подавно и классическая теория, не применимы.

Из табл. 1,2, в частности, следует:

- а) для слоистой полосы, имеющей несильно отличающиеся друг от друга модули Юнга ( $3\approx0$ ), вне зависимости от значения параметров  $\alpha$ , то есть относительных толщин слоев,  $\lambda=\mu$  шіп $(\gamma,\gamma_1)$ , что означает, что применимость классической теории, как это имело место для однослойной полосы [9, 10], в этом случае сильно зависит от отношений собственных модулей отдельных слоев  $E_{\alpha}G_{\alpha}$ .
- б) если слон имеют толщины одинакового порядка ( $\alpha \approx 0$ ), то  $\lambda = \mu = \min(\gamma, \gamma_1 3)$  при 3 > 0,  $\lambda = \mu = \min(\gamma, \beta, \gamma_1)$  при 3 < 0. Это означает, что применимость классической теории зависит не только от отношений  $E_1/G_{12}$ ,  $E_1/G_{12}$ , по и в большей степени от  $E_1/G_{12}$ .
- в) если сильный по отношению модуля Юнга слой и чеет малую толщину по сравнению со слябым (для определенности z>0, 3<0), то

$$\lambda = \min(\gamma, \gamma_1 + \beta) \quad \text{при} \quad \alpha + \beta \gg 0$$

$$\lambda = \min(\gamma - 2(\alpha + \beta), \gamma_1 + \alpha) \quad \text{при} \quad \alpha + \beta \ll 0, \quad 2\alpha + \beta \gg 0$$

$$\alpha = \min(\gamma - (\alpha + \beta), \gamma_1 + 3\alpha + 2\beta) \quad \text{при} \quad \alpha + \beta \ll 0, \quad 2\alpha + \beta = 0, \quad 3\alpha + 2\beta \gg 0$$

$$\alpha = \min(\gamma - 4\alpha - 3\beta, \gamma_1) \quad \text{при} \quad \alpha + \beta \ll 0, \quad 2\alpha + \beta = 0, \quad 3\alpha + 2\beta \ll 0$$

$$\lambda = \min(\gamma + 4\alpha + \beta, \gamma_1 + \alpha), \quad \mu = \min(\gamma + 4\alpha + \beta, \gamma_1) \quad \text{при} \quad 2\alpha + \beta \ll 0$$

- Из (2.9) вытекает, что при малых по абсолютной величине значениях  $\gamma$ ,  $\gamma_{\rm I}$ , (например, если слои изотропные), величины  $\lambda$  и  $\mu$  тоже малы по абсолютной величине, и классическая теория может нарушаться только при  $|3| > 4x + \gamma + 2$ , что для реяльных материалов может выполняться только при a < 1, то есть когда толщины слоев не резко отличаются друг от друга. При a > 1 (случая накладки) условне  $|3| > 4x + \gamma + 2$  может выполняться лишь в весьма частных случаях, тогда опасность связана с величиной  $\gamma_{\rm I}$ ;
- г) если слабый слой имеет меньшую толщину, чем сильный слой (для определенности  $\alpha < 0$ , 3 < 0), то  $\kappa = \alpha \min(\gamma + 3, \gamma_1)$ , откуда следует, что для материалов, имеющих  $\gamma < -1$ , классическая теория, как правило, даст неверный результат.

Численный анализ конкретной конструкции подтверждает вышеизложенные рассуждения. Например, для двухслойной балки, состоящей из боропластика ( $E_1 = 2.4 \cdot 10^5$  мн/м²,  $G_{13} = 0.054 \cdot 10^5$  мн/м²) и органопластика ( $\mathcal{E}_1 = 0.054 \cdot 10^5 \text{ мн/м}^2$ ,  $G_{12} = 0.02 \cdot 10^5 \text{ мн/м}^2$ ) [11], в зависимости от заранее фиксированного значения  $\epsilon$ , эти параметры выглядят следующим образом:

1) 
$$\epsilon = 0.1$$
,  $\beta = -1.647$ ,  $\gamma = -1.681$ ,  $\gamma_1 = -0.426$ 
 $\lambda = \mu = \gamma = -1.681$  при  $\alpha + \beta > 0$ ;  $\lambda = \mu = \gamma + \beta = -3.328$  при  $\alpha = 0$ 
 $\lambda = \mu = \gamma + 4\alpha + \beta = -0.920$  при  $\alpha = 0.602$  ( $h_1/h_{-1} = 0.25$ )

2)  $\epsilon = 0.05$ ,  $\beta = -1.266$ ,  $\gamma = -1.292$ ,  $\gamma_1 = -0.327$ 
 $\lambda = \mu = -2.558$  при  $\alpha = 0$ ;  $\lambda = \mu = -1.292$  при  $\alpha + \beta > 0$ 
 $\lambda = \alpha = -0.707$  при  $\alpha = 0.463$  ( $h_1/h_{-1} = 0.25$ )

## 3. Симетрично собранный трехслойный прямоугольник из ортотропных материалов

В уравнениях и расчетных формулах п. 1, полагая n=m=2, а также принимая

$$a_{ij}^{(1)} = a_{ji}^{(-1)} = a_{ij}^{-1}, \ a_{ij}^{(2)} = a_{ij}^{(-2)} = a_{ij} \quad (i, j = 1, 2; \ i = j = 6).$$

$$a_{ji}^{(1)} = a_{ij}^{(-1)} = a_{ij}^{(2)} = a_{ij}^{(-2)} = 0 \quad (i = 1, 2); \quad h_1 = h_{-1}, \ h_2 = h_{-2} \quad (3.1)$$

получим все необходимые уравнения и расчетные формулы трехслойной ортотропной балки. В частности, перемещения  $u^{(z)}$  и  $w^{(z)}$  будут определяться из уравнений (1.5) и (1.6), при этом, жесткости вычисляются следующим образом:

$$C = 2[E_1^{*}, E_1(1-1)] \quad K = 0, \quad D = 2/3[E_1^{*}, E_1(1-1)]$$
(3.2)

гле

$$\zeta_1 = -\zeta_{-1} = h_1/h_1$$
  $\zeta_2 = -\zeta_{-2} = 1$ ,  $h = h_1 + h_2$  (3.3)

В силу симметрии, задачи растяжения-сжатия и изгиба такой балки распадаются на самостоятельные задачи. Обобщенные нагрузки равны

$$p^{(0)} = 1/2(X^{+} + X^{-}), \quad p^{(1)} = 0$$

$$q^{(0)} = \frac{1}{2}(Y^{+} + Y^{-}) + \frac{1}{2}\left(\frac{dX^{+}}{d\xi} - \frac{dX^{-}}{d\xi}\right), \quad q^{(1)} = 0$$
(3.4)

Нагрузки  $p^{(1)}$  и  $q^{(2)}$ , как в случае двухслойной балки, можно представить в виде:

$$p^{(2)} = O(\sum_{k} \varepsilon^{\delta_{k}}) \frac{d^{2} p^{(0)}}{d \xi^{2}}; \qquad q^{(2)} = O(\sum_{k} \varepsilon^{\delta_{k}}) \frac{d^{2} q^{(0)}}{d \xi^{2}}$$
(3.5)

Значения 🦣 и 👫 приведены в табл. 3-4.

Таблица З

				гиолица в
		(k=0,2,3)	8,	(k=2,3)
1 2 3 4	2>0, α-1-2>0 α>0, α-1-3<0 2 0, α-1-3>0 α<0, α-1-3<0	7+3 7-4 7-k2	$ \begin{array}{c} 7_1 - (2+3) \\ 7_1 - 2a \\ 7_1 - 3a \end{array} $	$ \begin{array}{ccc} \gamma & (a + \varphi) \\ \gamma & (k - 1)a \\ \gamma & \beta & k \end{array} $

		(k=0, 1, 3, 5)	62	$\binom{\theta_{k-5}}{(k=1, 3, 5)}$
1 2 3 4	a>0, $a+3>0a>0$ , $a<0$ , $3a+3>0a<0$ , $3a+3>0$	7+3 7-a 7+(32-3)-kx 7-ka	$7_1 - (\alpha - \beta)$ $7_1 - 2a$ $7_1 - 5a - \beta$	73-23 1 = -33 -2 = (k-3)a 71-33-ka

Пусть

$$o = \min\{\delta_k\}, \quad \theta = \min\{\theta_k\}$$
 (3.6)

Из табл. 3-4, в частности, следует

а) при  $(E_1 \approx E_1)$ 

$$\bar{z} = \theta = \min(\bar{z}, \bar{\gamma}_1) \quad \text{npn } a \geqslant 0$$

$$\bar{z} = \min(\bar{z}, \bar{\gamma}_1 - 3a), \quad b = \min(\bar{z}, \bar{\gamma}_1 - a) \quad \text{npn } a \leqslant 0$$
(3.7)

б) при  $z\approx 0$   $(h_1\approx h_2)$ 

$$\delta = \min \left( \gamma, \gamma_1 \right), \quad 0 = \min \left( \gamma + \beta, \gamma_1 - 2\beta \right) \quad \text{npn} \quad 3 \geqslant 0$$

$$\delta = \theta = \min \left( \gamma, \gamma_1 - \beta \right) \quad \text{npn} \quad 3 \leqslant 0$$
(3.8)

в) при a>0, 3<0

$$\begin{array}{ll}
\ddot{a} = \theta = \min(\gamma + \beta, \gamma_1) & \text{при } \alpha + 3 \geqslant 0 \\
\ddot{a} = \theta = \min(\gamma - \alpha, \gamma_1 - (\alpha + \beta)) & \text{при } \alpha + \beta \leqslant 0
\end{array} \tag{3.9}$$

r) при a < 0,  $\beta > 0$   $a = \min(\gamma - \alpha, \gamma_1 - 2\alpha)$  при  $\alpha + 3 > 0$ ,  $2\alpha + 3 > 0$   $a = \min(\gamma + \alpha + \beta, \gamma_1 - 2\alpha)$  при  $\alpha + \beta > 0$ ,  $2\alpha + 3 > 0$   $a = \min(\gamma, \gamma_1 - \beta - 3\alpha)$  при  $\alpha + \beta < 0$   $a = \min(\gamma, \gamma_1 - \beta - 3\alpha)$  при  $\alpha + \beta < 0$   $a = \min(\gamma, \gamma_1 - \beta - 3\alpha)$  при  $\alpha + \beta < 0$   $a = \min(\gamma, \gamma_1 - \beta - 3\alpha)$  при  $\alpha + \beta < 0$   $a = \min(\gamma, \gamma_1 - \beta - 3\alpha)$  при  $\alpha + \beta < 0$   $a = \min(\gamma, \gamma_1 - \beta - 3\alpha)$  при  $\alpha + \beta < 0$ 

$$0 = \min (\gamma + \beta + 3\alpha, \gamma_1 + 2\alpha - 2\beta)$$
 при  $3\alpha + \beta > 0$   
 $\theta = \min (\gamma, \gamma_1 - \alpha - 3\beta)$  при  $3\alpha + \beta < 0$ 

Основные ныводы, сделанные в п. 2 для двухслойной балки, справедливы и для трехслойной балки. Здесь гакже при уточнении теории трехслойной балки, как и следовало ожидать, и первукі очередь необходимо учитывать сдвиговые факторы и каждом слое и отношение модулей Юнга различных слоев.

В заключение заметим, что решением внутренней задачи можно составить достаточно полное представление о напряжениом состоянии на расстоянии зоны затухания краевых эффектов (пограничный слой) от торцов x = 0, a. Чтобы удовлетворить условиям при x = 0, a, необходимо иметь также решение типа пограничного слоя. Изучение пограничного слоя и его сращивание с решением внутренией задачи осуществляется как в [6, 10, 12].

# ԱՆԻԶՈՏՐՈՊ ՇԵՐՏԱՎՈՐ ՀԵԾԱՆԻ ԼԱՐՎԱԾԱՅԻՆ ԴԵՖՈՐՄԱՑԻՈՆ ՎԻՃԱԿԻ ԱՍԻՄՊՏՈՏԻԿ ՎԵՐԼՈՒԾՈՒԹՅՈՒՆԸ

լ. п. плигалзия, п. п. мизикрапь

#### Ամփոփում

Դիտարկվում է անիզոտրոպ շերտավոր հեծանի լարվածային դեֆորմացիոն վիճակի որոշման և վերլուծության Նարցը։ Շերտերը իրենց Տարթության մեց օժտված են ընդ::անուր անիգոտրոպիալով։ ննդրի լուծումը ասեմպառտիկ մեթիոցով թերվում է երկրորդ և չորրորդ կարդի սովորական դիֆերենցիալ հավասարումների լուծման, որոնը համապատասխանում են շերտավոր հեյանի դասական տեսությանը բերված դործակիցներով հավասարումներին։

<del>Կախված առաձգական գործակիցների և շերտերի հաստությունների հա</del>շ րարհրություններից ցույց է տրված, երբ է կիրառելի դասական տեսությունը, երբ այն կիրառելի չէ, բայց կարելի է օգտվել իտերացիոն պրոցեսից և երբ նրանցից ոչ մեկը կիրառեյի չէ։

#### THE ASIMPTOTIC ANALYSIS OF STRESS-STRAIN STATE OF AN ANISOTROPIC SANDWICH-TYPE BEAM

L. A. AGALOVIAN, A. M. KHACHATRIAN

#### Summary

The determination of stress-strain state in an interior problem for the anisotropic sandwich-type beam is considered. Each layer of the beam is assumed to be a general anisotropic one.

By means of the asymptotic method the solution of the problem is reduced to the solution of two differential equations of the second and fourth orders corresponding to the classical equations of the sandwich-type beams by reduced rigidities.

Depending on the ratio of elastic coefficients and thicknesses of layers the following were brought to light: In cases when the classical theory is applicable; when the iteration process is applicable; when both the classical theory and iteration process are not applicable.

#### ЛИТЕРАТУРА

- 1. Лехницкий С. Г. Анизотропные пластинки. М.: Гостехиздат, 1957, 463 с.
- 2. Амбарцумян С. А. Теория анизотропных оболочек М.: Физматгиз, 1961. 384 с. 3. Амбарцумян С. Л. Общая теория анизотропных оболочек. М.: Наука, 1974. 447 с.
- 4. Григолюк Э. И., Коган Ф. А. Современное состояние теории многослодиых оболочек,-ПМ, 1972, т. 8. вып. 6, с. 3-17.
- 5. Никишин В. С., Шапиро Г. С. Зядачи теории упругости для многослойных сред. М. Наука, 1973. 131 с.
- 6. Гольденвейзер А. Л. Построение приближениой теории изгиба пластинки методом асимптотического интегрирования уравнений теории упругости.-ПММ, 1962, т. 26, вып. 4. с 668--686.

- 7. Гусейн-Заде М. И. Построение теории изгиба слоистых пластинок.—Труды VI Всес. конф. по теории оболочек и пластин.—М.: Наука, 1966. с. 367—378.
- 8. Гусейн-Заде М. И. К построению теории изгиба слоистых пластивок.—ПММ, 1968, т. 32, вып. 2, с. 232—243
- Агаловян Л. А., Хачатрян Ш. М. Асимптотический анализ напряженно-деформированного состояния ортотропной полосы Уч. записки ЕГУ, 1977. № 1, с. 22—30.
- 10. Хачатрян Ш. М. К определению напряженно-леформированного состояния анизотропной полосы —Изв. АН АрмССР, Механика, 1976, т. 29, № 6, с. 19—32.
- 11\_ Малмейстер А. К., Тамуж В. П., Тетерс Г. А. Сопротивление полимерных и композитных материалов.—3-е изл., перераб. и доп.—Рига: Зинатис, 1980, 572 с.
- Гусейн-Заде М. И. Напряженное состояние погранелоя для слонстых пластинок. Труды VII Всес. конф. по теории оболочек и пластин. М.: Наука, 1970, с. 638—643.

Институт механики АН Армянской ССР

Поступила в редакцию 30.X11.1983

УДК 539.3

# К УСТОЙЧИВОСТИ УПРУГОПЛАСТИЧЕСКИХ СТЕРЖНЕЙ ПРИ УДАРНЫХ НАГРУЗКАХ

#### мовенсян л. а.

Со времени появления первой работы [1] по устойчивости стержней и цилиндрических оболочек при импульсивной нагрузке накопилось большое количество исследовании. Не считая численных работ [2-5 и др.], где в линейной или нелинейной постановке изучается пронесс возрастания прогибов, все аналитические работы можно разделить на две группы. Для работ первой группы [1, 6 и др.] характерным является то, что распространением продольных воли пренебрегают, то есть по всей длине стержия принимается одинаковая сжимающая сила Во второй группе работ (начиная с [7]), как будто это учитывается, однако, при рассмотрении уравнения устойчивости изучается только часть стержия за фронтом продольной волны и получается своего рода стержень переменной длины, причем переменность условная, так как время входит как параметр. То, что неоднородностью сжимасмой силы при медленных скоростях нагружения можно пренебречь, как, например, в [6], очевидно. Скорость упругой волны  $a = \sqrt{E_{lo}}$  для материалов гила стали и дюралюминия имеет порядок 5 км/сек и за период колебаний по основной форме шариирио опертой незагруженной балки (прямоугольного сечения t = 25h = 1м) упругая волна успевает 500 раз отразиться. Однако, если прилагается большая нагрузка или если стержень нагружается с большой скоростью, он теряет устойчивость задолго до того, как продольная волна сможет коть несколько раз отразиться; понятно что сжимающую силу однородной принять нельзя, то есть вместо точного выражения a=Ev/a при a=0при u < x < l для at < l нельзя принять c = Loud, где v - cкорость лвижения конца стержия). Как показано в [8], для упругой балки при и/а>10 предположение однородности сжимающей силы приводит уже к неверным результатам. С другой стороны, например, для вышеназванных материалов  $\sigma_{i}E=10^{-3}$  ( $\sigma_{i}E=v/a$  при первом прохождении упругой волны), то есть для реальных материалов при интенсивных нагружениях помимо неоднородности сжимающей силы должны быть учтены также пластические деформации.

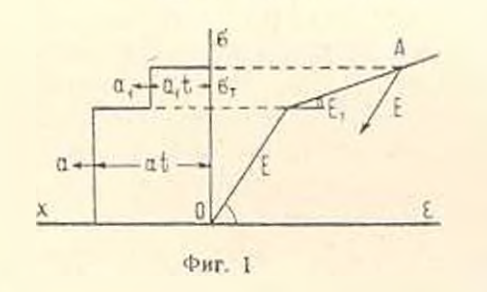
В настоящей работе изучается устойчивость стержия при ударных нагрузках в упругопластической постановке. Учитывается процесс распространения и отражения продольных воли, а также волны разгрузки в случае, когда нагружение осуществляется в конечном промежут-

ке времени. Определяется критическое время (критическая длина) потери устойчивости.

1. Пусть имеется идеально прямой стержень постоянного сечения, один конец которого закреплен (в продольном направлении), а к другому концу мгновенно прикладывается постоянное напряжение (или другой конец ударяется бесконечной массой со скоростью v, или этот конец движется в сторону первого с такой же скоростью [6, 8]), превышающее предел пропоринональности, точка A на фиг. 1. Будем принимать, что материал стержия подчиняется линейному упрочнению и характеризуется соответственно постоянными E и  $E_1$  до и после предела текучести.

Напряженное состояние такого стержия известно. Пока примем, что в общем виде имеем выражение сжимающего напряжения a(x, t) и займемся решением уравнения устойчивости. Уравнение устойчивости (уравнение возмущенного движения) имеет вид

$$\frac{\partial^2}{\partial x^2} \left( \overline{E} J \frac{\partial^2 w}{\partial x^2} \right) + \frac{\partial}{\partial x} \left( \circ F \frac{\partial w}{\partial x} \right) \cdot \rho F \frac{\partial^2 w}{\partial t^2} = 0$$
 (1.1)



Здесь все обозначения обшепринятые, только следует отметить, что в зависимости от начального напряженного состояния изгибная жесткость ЕЛ будет переменной. Примем ее, как и в произвольной, но известной, и в каждой задаче их будем конкретизировать. Пусть балка на концах шарнирно оперта,

то есть

$$w = \frac{\partial^2 w}{\partial x^2} = 0$$
 npu  $x = 0$ ,  $x = l$  (1.2)

Решение (1.1) будем искать в виде ряда, удовлетворяющего условиям (1.2)

$$=\sum_{n} f_m(t)\sin_n x, \qquad = \frac{m\pi}{t} \tag{1.3}$$

Представив произвольные пока  $\overline{E}$  и  $\circ$  также в виде рядов

$$\overline{E} = \sum_{k=0}^{\infty} b_k(t) \cos k_k x, \quad \alpha = \sum_{k=0}^{\infty} c_k(t) \cos k_k x \tag{1.4}$$

и производя некоторые преобразования в (1.1), для неизвестных получим бесконечную систему обыкновенных дифференциальных урав нений

$$\frac{d^3 f_m}{dt^2} + \sum_{k=0}^{\infty} a_{-k}(t) f_k = 0, \quad m = 1, 2, \dots$$
 (1.5)

Здесь

$$2pFa_{mh} = \begin{cases} \lambda^{2} \left[ D^{2} \left( 2b_{m} - b_{m+1} \right) + F(2c_{m} + c_{m+1}) \right], & m = k \\ \lambda_{m} \lambda_{k} \left[ J \lambda_{m} \lambda_{k} \left( b_{m-k} - b_{m+k} \right) + F(c_{m-k} + c_{m+k}) \right], & m \neq k \end{cases}$$
 (1.6)

Возможны два пути для дальнейшего исследования. Если об устойчивости стержня судить, исходя из условий допускаемых перемещений, то система (1.5) во много удобнее для численного интегрирования (задача с начальными условиями), чем уравнение (1.1). При упругой постановке таким образом была решена задача в [8], а в [4] численно решалось (1.1).

Но, чтобы быть верным классическому понятню устойчивости, необходимо определить некоторый критический параметр. Таковым в рассматриваемой задаче является критическая длина потери устойчивости, или, что то же самое, критическое время. В отличие от статической потери устойчивости, где для заданной длины стержия определяется критическая сила, при ударе вопрос ставится следующим образом: для заданной силы найти критическую длину потери устойчивости, или длину распространения продольной волны, при которой возможна потеря устойчивости.

Критическое время для (1.5) (укороченная система) можно получить, исходя из понятия устойчивости для конечного интервала времени (например, [9]). Однако, помимо чисто технических трудностей, в этой области имеется такой произвол в ныборе начальной области и допустимых значений, что уместно привести слова: «Ни одна из известных постановок задач по устойчивости на конечном промежутке времени не заняла сейчас доминирующего положения. Более того, нет еще ощущения неактуальности поиска новых вариантов определений понятия устойчивости на конечном промежутке времени» [9].

Здесь мы критическое время будем определять как время, при котором «мгновенная частота» (1.5) равна нулю, т. е. считается, что критическая длина потери устойчивости эта такая длина распространения волиы, при которой, если сообщить продольному движению изгибное возмущение, то оно неограниченно может возрастать [10]. Являясь обобщением динамического критерия потери устойчивости для статических задач [11] на случай ударных нагрузок, он, во-первых, очень просто приводит к результатам, и что самое главное объясняет все экспериментально наблюдаемые факты.

Кстати, такую точку зрения отстанвает и В. М. Даревский [12—13] более десяти лет и критическое время, определенное таким образом, трактуется как время для рассматриваемого состояния, для изменения которого потребуется значительно меньше внешнего воздействия, чем в другой момент времени. Следует отметить, что если неоднородность сжимающей силы не учесть, или более обще уравнение начального состояния не решать точно с начальными и граничными условиями, то такой критерий кроме эйлеровой силы ничего нового не двет.

Итак, критическое время будем определять как наименьший корень урависния Что касается форм потери устойчивости, то они не будут отдельные гармоники, хотя бы не совпадающие со статическими, как часто утверждают, а определятся рядом (1-3), причем для различных критических времен формы потери устойчивости различные.

2. Теперь приступим к расмотрению конкретных задач и определению коэффициентов  $b_k$  и  $c_k$ . Будем изучать две задачи: когда на конце стержня меновенно прикладывается нагрузка  $\mathfrak{a}_{\mathfrak{a}}$ , которая в дальнейшем поддерживается постоянной и вторую задачу, когда прилагается прямоугольный импульс продолжительностью  $\mathfrak{b}$  (случаи удара бесконечной массой или движение конца с постоянной скоростью можно получить отсюда).

Картина напряженного состояния, в общем, известна [14, 15]. От ударяемого конца распространяются две волны (фиг. 1): упругая волна движется со скоростью  $a=\sqrt{E_{IO}}$  и напряжение за ее фронтом есть  $a=\sigma_{\rm r}$  и пластическая волна—со скоростью  $a_1=\sqrt{E_{IO}}$  с напряжением за фронтом  $\sigma_{\rm r}=\sigma_{\rm r}$  то есть будем иметь

$$E = \begin{cases} a_0, & T & \text{при } \leq a_1 \\ & T & \text{при } a_1 \leq x \leq at \\ 0, & E & \text{при } at \leq x \leq t \end{cases}$$
 (2.1)

Выражения (2.1) верны для  $l \le l/a$ . После отражения волны последняя будет уже распространяться со скоростью  $a_1$  и картина напряженно-деформированного состояния будет такова:

$$\sigma_{1}, \overline{E} = \begin{cases} \sigma_{0}, & T & \text{npit} & 0 \le x \le a_{1}t \\ \sigma_{1}, & T & \text{npit} & a_{1}t \le x \le t - a_{1}(t - t/a) \\ \sigma_{1}, & T & \text{npit} & t - a_{1}(t - t/a) \le x \le t \end{cases}$$

$$(2.2)$$

Решение (2.2) верно в интервале  $l/a < t < t_1$ . Здесь  $z_1 = z_7(1 + a_1/a) - z_1$  значение напряжения в отраженной части,  $t_1 = l(a + 3a_1)/2aa_1$ —время встречи отраженной волны с пластической волной с напряжением  $z_0$ . T—приведенный модуль или модуль Кармана. В той части стержия, гле уже имеется пластическая зона, при рассмотрении уравнения устойчивости функцию E(x, t) можно приближенно принять равной T, как это принято в литературе, например, при статических [2] и динамических [16] задачах, а в упругой части — E = E.

Мы будем изучать устойчивость стержня вплоть до  $t_1$ .

Распределение напряжений для двух моментов времени приведено на фиг. 2.

Соответственно с (2.1) и (2.2) коэффициенты  $b_k$  и  $c_k$  для обоих случаев определяются формулами

$$b_0 = E + (T - E)\tau, \quad a_k = \frac{2}{k\tau} (T - E) \sin k\pi\tau$$

$$= \tau [a_0 \sqrt{\lambda} + a_1 (1 - \sqrt{\lambda})]$$
(2.3)

$$c_{h} = \frac{2}{k\pi} \left[ \sigma_{0} \sin k \pi \tau \sqrt{\lambda} + \sigma_{\tau} (\sin k\pi \tau - \sin k\pi \tau \sqrt{\lambda}) \right]$$

$$b_{0} = T, \quad b_{h} = 0, \quad c_{0} = \sigma_{0} \tau \sqrt{\lambda} + \sigma_{\tau} \left[ 1 - \tau \sqrt{\lambda} + \lambda(\tau - 1) \right]$$

$$c_{h} = \frac{2}{k\pi} \left\{ \sigma_{0} \sin k\pi \tau \sqrt{\lambda} + \sigma_{\tau} \left[ (-1)^{k} \sqrt{\lambda} \sin k\pi (\tau - 1) \sqrt{\lambda} - \sin k\pi \tau \sqrt{\lambda} \right] \right\}$$

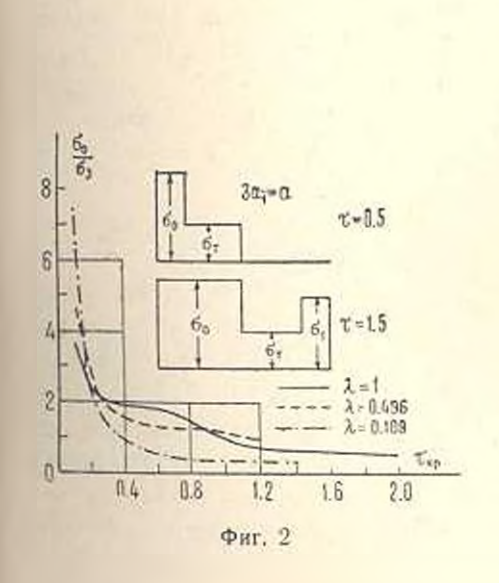
$$(2.4)$$

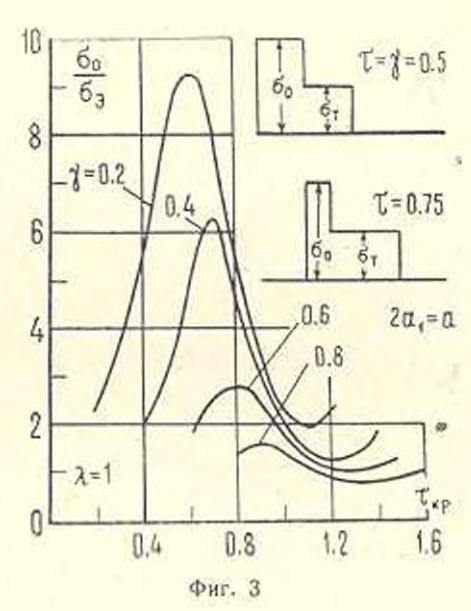
Здесь  $\lambda = E_1/E$ ,  $\tau = at/l$  и (2.3) верно при  $0 \le \tau \le 1$ , а (2.4)—при  $1 \le \tau \le (1 + 3\sqrt{\lambda}) 2\sqrt{\lambda}$ .

Для второй задачи, когда действует прямоугольный импульс с продолжительностью 0 < lia, момент удаления нагрузки вызывает волну разгрузки, также распространяющуюся со скоростью a и картина напряженного состояния и выражение  $\bar{E}(x,t)$  для t < 0 будут, как в предыдущей задаче, а для t < 1

$$\overline{E} = \begin{cases}
0, & E & \text{при } 0 \leqslant x \leqslant a(t-\theta) \\
\sigma_0, & T & \text{при } a(t-\theta) \leqslant x \leqslant a_1 t \\
\sigma_1, & T & \text{при } a_1 t \leqslant x \leqslant a t \\
0, & E & \text{при } a t \leqslant x \leqslant t
\end{cases} (2.5)$$

Для двух моментов времени распределения напряжений показаны на фиг. 3.





После отражения  $t \gg l/a$ 

$$\overline{E} = \begin{cases}
0, & E & \text{при } 0 < x < a(t-\theta) \\
\sigma_0, & T & \text{при } a(t-\theta) < x < a_1 t \\
\sigma_1, & T & \text{при } a_1 t < x < t-a_1 (t-t/a) \\
\sigma_1, & T & \text{при } t-a_1 (t-t/a) < x < t
\end{cases} (2.6)$$

Последние выражения верны для  $t=\min(t_1,t_1)$ , где  $t_2$ —время, при котором волна разгрузки достигает фронта пластической волны— $t_2=a\delta/(a-a_1)$ .

Здесь коэффициенты  $b_k$  и  $C_k$  определяются формулами

$$b_{0} = (1 - \gamma)E + \gamma T, \ b_{h} = \frac{2}{4\pi} |\sin k\pi(\tau - \gamma) - \sin k\pi\tau| (E - T)$$

$$c_{0} = \sigma_{0}[\tau(\sqrt{\lambda} - 1) + \gamma] + \sigma_{1}(1 - \sqrt{\lambda}) \qquad (2.7)$$

$$c_{k} = \frac{2}{k\pi} \{\sigma_{0}[\sin k\pi\tau\sqrt{\lambda} - \sin k\pi(\tau - \gamma)] + \sigma_{1}(\sin k\pi\tau - \sin k\pi\tau\sqrt{\lambda})\}$$

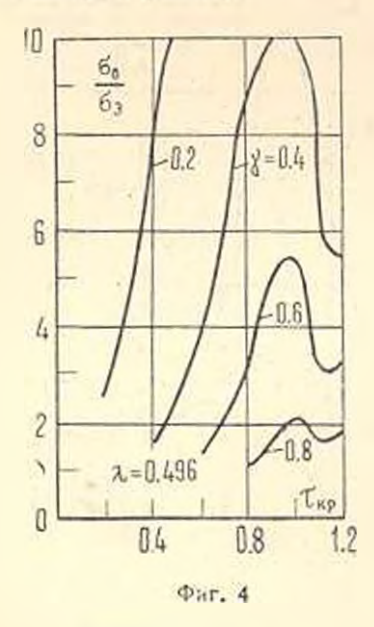
$$b_{0} = E(\tau - \gamma) + T(1 - \tau + \gamma), \quad b_{k} = \frac{2}{k\pi} (E - T) \sin k\pi(\tau - \gamma)$$

$$c_{0} = \sigma_{0}(\tau\sqrt{\lambda} + \gamma - \tau) + \sigma_{1}(1 - \tau\sqrt{\lambda} + \lambda - \lambda) \qquad (2.8)$$

$$c_{k} = \frac{2}{k\pi} \{\sigma_{0}[\sin k\pi\tau\sqrt{\lambda} - \sin k\pi(\tau - \gamma)] - \sigma_{1}[\sin k\pi\tau\sqrt{\lambda} + \tau] \}$$

+ 
$$(-1)^{k+1} \sqrt{\lambda} \operatorname{sin} k \pi \sqrt{\lambda} (\tau - 1)$$

Формулы (2.7) верны при  $\gamma \le \min(1, \tau_1)$ , а (2.8) — при  $1 \le \tau \le \min(\tau_1, \tau_2)$ ,  $\tau = \tau(t_1)$ ,  $\gamma = ab/t$ .



3. В качестве примера взят двутавровый стержень —  $T=2EE_1/(E+E_1)$  из дюралюминия D16T+2+c данными  $\sigma_t/E=0.2667\cdot 10^{-2}$ . Для к взяты три значения t=1 (упрусий случай), k=0.496 и k=0.1093.

Известно, что для многих материалов предел текучести зависит от скорости деформирования. В данной работе эта зависимость не учитывается, как и в [14, 15]. Приведенное решение можно рассматривать как для материалов, для которых нет такой зависимости.

Кривые безразмерного критического напряжения  $a_0/a_0$  ( $a_0 = EJ\pi^2/l^2F$ ) для первой задачи в зависимости от безразмерного критического времени  $\tau_{\rm KP}$  приведены на фиг. 2.

Аналогичные кривые для второй задачи для случаев t=1 и t=0.496 приведены на фиг. 3 и 4 ( $F l^2/\pi^2/=120$ ).

По этим кривым можно определить, когда (на каком расстоянии) произойдет потеря устойчивости при заданном напряжении. Как видно из графиков, учет пластических деформаций не однозначным об-

разом определяет тенденцию критического напряжения в сторону увеличения и уменьшения. Это и понятно. Там, где уже пластическая зона, изгибная жесткость уменьшается, но, с другой стороны, приложенная максимальная нагрузка передается не по всей длине этой зоны, а только на части  $0 \le x \le a_1 t$ .

Если вместо заданного напряжения на конце производится удар бесконечной массой со скоростью v, или край движется в сторону другого края с такой же скоростью и требуется определить критическую длину при заданной скорости, то  $\sigma_0$  в предыдущих соотношениях должно быть заменено

$$\sigma_0 = \sqrt{EE_1} \frac{\sigma}{a} - \sigma_r (1 - 2\lambda + \sqrt{\lambda})$$
 (3.1)

Приведенные графики показывают, во-первых, каким образом стержень может нести нагрузку выше эйлеровой и не терять устойчивости, и во-вторых, что потеря устойчивости при ударе носит локальный характер. При этом, как хороню видно, если при определенной силе она не происходит у ударяемого конца, то при той же силе может произойти у другого конца после отражения волны. Потеря устойчивости не может произойти локально в средней части стержия.

В заключение необходимо сделать еще пару замечаний.

Вместо приведенного модуля  $\mathcal{T}$  можно было использовать касательный модуль  $\mathcal{E}_1$  в ураннении устойчивости там, где пластическая зона.

Уравнение (1.1) имеет разрывные коэффициенты при первых двух слагаемых и стоит сказать, по-видимому, несколько слов о законности приведенного решения. В случас, когда териит разрыв только второй коэффициент, можно доказать сходимость процесса определения собственных значений или нормальность определителя (1.7). При разрыве в первом коэффициенте этого делать невозможно и только численный эксперимент доказывает сходимость процесса. Стоит также провести сравнение с задачами, решенными обычным путем: путем решения для различных частей непрерывности коэффициентов и последующим сопряжением. В работе [10] рассматривается устойчивость упругой балки при продольном ударе вышеприведенным способом. Оттуда, как частный случай, получается решение задачи статической устойчивости частично сжатой балки. Значения критической силы, определенные таким образом во втором приближении (детерминаит второго порядка) и обычным образом [17], для статической устойчивости упругой балки, нагруженной продольной силой посередине, одинаковые  $P_{\rm mp} = 18.7 \; EJ/l^2$ .

В [18] рассмотрена задача другого типа, когда жесткость стержня претерпевает разрыв, и в частности, когда на разных половинах стержия жесткости отличаются в четыре раза, критическая сила, определенная при двучленном приближении, от точного значения отличается≈на 4%.

## ՀԱՐՎԱԾԱՑԻՆ ԲԵՌՆԱՎՈՐՄԱՆ ԴԵՊՔՈՒՄ ԱՌԱՁԳԱՊԼԱՍՑԻԿԱԿԱՆ ՁՈՂԻ ԿԱՑՈՒՆՈՒԹՑԱՆ ՄԱՍԻՆ

լ. Ա. ՄՈՎՍԻՍՑԱՆ

Աժփոփում

Դիտարկվում է ձողի կայունությունը հարվածի դեպքում ընդունելով, ոյ նյութը ենթարկվում է դծային ամրապնդման։ Հաշվի է առնվում ինչպես եր կայնական ալիքների տարածումը և անդրադառնալն, այնպես էլ բեռնաթափ ման ալիքն իմպուլսային բեռնավորման դեպքում։

# ON THE STABILITY OF ELASTIC-PLASTIC BARS FOR IMPACT LOADS

#### L. A. MOVSISIAN

#### Summary

The present paper takes into consideration the stability of bar upon impact in assumption that the material is submitted to linear har dening.

The propagation and reflection of longitudinal waves as a proces are taken into account as well as unloaded waves during impulse loading

#### ЛИТЕРАТУРА

- 1. Лаврентьев М. А., Ишлинский А. Ю. Динамические формы потери устойчивост упругих систем.—Докл. АН СССР, 1949, 64, № 6, с. 779—782.
- 2. Вольмир Л. С. Устойчивость деформируемых систем. М.: Наука, 1967. 984 с.
- 3. Воломир А. С. Пелинейная динамика пластин и оболочек. М.: Наука, 1972. 432 г
- 4. Eugene Sevin, On the clastic bending of columns due to dinamic axial force including effects of axial inertia.—J. Appl. Mechanics, series E, 1960, Vol. 2: No. 4, pp. 125—131.
- Art-Gur J., Weller T. and Singer J. Experimental and theoretical studies of columns under axial impact.—Int. J. Solids Structures, 1982, Vol. 18, No. 2, pp. 616—641.
- Гоф Н. Динамика устойчивости упругих колони Механика. Сб. переводов иност пер. лит., 1952, № 3, с. 117—128.
- 7. Джерард Дж. и Беккер Г. Поведение стержней при внезаином воздействии ско рости. Механика. Сб. переводов иностр. пер. лит., 1953, № 2, с. 135—139.
- Мовсисян Л. А. Устойчивость упругой балки при быстрых нагружениях. Из АН АрмССР, Механика, 1971, т. 24, № 1, с. 38—50.
- 9. Абгарян К. А. Устойчивость движения на конечном интервале. ВИНИТИ, Ито ги науки и техники. Общая механика, М.: 1976, т. 3, с. 43—124.
- 10. Мовешени Л. А. Об устойчивости упругой балки при продольном ударе.—Док. АН АрмССР, 1969, г. 49. № 3, с. 124—130.
- 11. Циглер Г. Основы теории устойчивости конструкций. М.: Мир. 1971. 191 с.
- 12. Даревский В. М. Устойчивость оболочки при двиамической нагрузке. Труды VI Всесоюзной конф. по теории оболочек и пластии. М.: Наука, 1970, с. 224—22.

- Даревский В. М. Критерий устойчивости меновенного состояния упругого тела при динамической нагрузке. XIII Всесоюзная конференция по теории пластии и оболочев. Таллии, 1983, т. 11, с. 47—52.
- 14. Гольдемит В. Удар. Теория и физические свойства соударяемых тел. М.: Изд. лит. по строительству, 1976. 448 с.
- Рахматулин Х. А. и Демьянов Ю. 4. Прочность при интенсивных кратковременных нагрузках. М.: Госиздат, 1961. 399 с.
- Корнев В. М., Маркин А. В., Яковлев И. Я. Развитие динамических форм выпучивания упругопластических стержией при интенсивном нагружении.—ЖПМТФ, 1980, № 3, с. 121—126.
- 17. Феодосьев В. И. Сопротивление материалов. М. Паука, 1967. 552 с.
- 18. Мовсисян Л. А. Об устойчивости термочувствительных цилиндрических оболочек и пластин.—Механика, Межауз. сб. научных трудов, из-во ЕГУ, 1982, вып. 2, с. 75—80,

Институт механики АН Армянской ССР

> Поступила в редакцию 14.XI.1983

УДК 539,383

# ВДАВЛИВАНИЕ ШТАМПА В ПРЕДНАПРЯЖЕННЫЙ ФИЗИЧЕСКИ НЕЛИНЕЙНЫЙ УПРУГИЙ СЛОЙ

#### порошин в с.

Рассматривается песжимаемая упругая среда, когда взаимно од нозначная связь между напряжениями и деформациями имеет нели нейный характер [1]. Ставится контактиая задача для физически не линейного упругого слоя, преднапряженного сжимающими (растяги вающими) равномерно распределенными на бесконечности усилиями  $p_1$  и  $p_2$ , направленными параллельно границе слоя. Проанализирова но влияние преднапряжения на основные характеристики контактного задачи, когда величины  $p_1$  и  $p_2$  мало отличаются одна от другой.

1. Введем прямоугольную систему координат Oxyz, начало кото рой расположим на верхней грани слоя конечной толщины h, в ось направим вниз. Допустим, что слой, лежащий без трения на жестком основании, нагружен равномерно распределенными на бесконечности сжимающими (растягивающими) усилиями  $\sigma_x^2 = -p_1$  и  $\sigma_y^2 = -p_2$ . За тем в слой P вдавливается абсолютно жесткий штами. Будем считать что действие штамия вызывает в слое малое возмущение основного на пряженно-деформированного состояния, определяемого соотношениями

$$u^{0} = A_{1}^{0}x, \quad v^{0} = A_{2}y, \quad w^{0} = -$$

$$\sigma_{0} = -\rho_{1}, \quad = -\rho_{2}, \quad = -\rho_{2}, \quad = -\rho_{3}y = 0 \quad (1.1)$$

Связь между постоянными  $A_1^0$ ,  $A_2^0$  и  $p_1$ ,  $p_2$  может быть найдена и уравнений нелинейно упругого тела [1], которые представим в форми (массовые силы отсутствуют)

$$\mathbf{r} = \frac{\partial u}{\partial x}, \qquad \mathbf{r} = \frac{\partial v}{\partial y}, \qquad \mathbf{r} = \frac{\partial w}{\partial z}, \qquad \mathbf{r} = \frac{\partial v}{\partial x} + \frac{\partial u}{\partial y}. \tag{1.2}$$

а именно:  $A^0=1/3\,\psi(\tau_0)\,(\,p_2-2p_1\,), \quad A^0_2=1/3\,\psi(\tau_0)\,(\,p_1-2p_2), \quad$ гдо  $\tau_0=[\,1.3\,(\,p_1-p_1p_2+p_2^2\,)\,]^{1/2}$ 

Отметим, что предположение о несжимаемости материала слоя непринципнально и принято в целях упрощения выкладок.

Обозначая малые возмущения напряжений, деформаций и перемещений через  $a^*, \ldots; s^*, \ldots = u^*, v^*, w^*$  и разыскивая решение уравнений (1.2) в форме

$$c_x = c_0^0 + c_1^0, \dots; \quad \varepsilon_x = \varepsilon_x^0 + \varepsilon_x^0, \dots$$

$$u = u^0 + u^*, \quad v = v^0 + v^*, \quad w = w^0 + w^*$$
(1.3)

в результате линеаризации указанных уравнений относительно возмущений, будем иметь [2]

$$\frac{6lD^{2} + m(A^{2} + C^{2})}{6l(l+m)D^{2}} \approx_{x} \frac{mAB}{6l(l+m)D^{2}} \frac{mBC}{6l(l+m)D^{2}}$$

$$\alpha_{y}^{*} = -\frac{mAB}{6l(l-m)D^{2}} = \frac{6lD^{2} + m(B^{2} + C^{2})}{6l(l+m)D^{2}} \approx_{y} - \frac{mAC}{6l(l-m)D^{3}} =_{x}^{*} = \frac{mBC}{6l(l+m)D^{2}} = \frac{mAC}{6l(l-m)D^{2}} =_{y}^{*} + \frac{6lD^{2} + m(A^{2} + B^{2})}{6l(l-m)D^{2}}$$

$$\alpha_{xy}^{*} = \gamma_{xy}^{*}/2l, \quad \gamma_{xz}^{*} = \gamma_{xz}^{*}/2l, \quad z = 2l = 0 \quad (1.4)$$

Сюда еще нужно добавить уравнения равновесия и уравнения свяяи между деформациями и перемещениями Коши, записанные со звездочками. В (1.4) обозначено

$$I = \psi(\tau_0) > 0, \quad m = \tau_0 \psi'(\tau_0) \gg 0$$

$$A = p_1 - 2p_2, \quad B = p_2 - 2p_1, \quad C = p_1 + p_2, \quad D^* = p_1^2 - p_1 p_2 + p_2^2$$
(1.5)

Подставляя (1.4) в уравнения равновесия и затем выражая деформации через перемещения, получим аналог уравнений Ламе

Добавляя к (1.6) условие несжимаемости

$$\frac{\partial u^*}{\partial x} + \frac{\partial v^*}{\partial y} + \frac{\partial w^*}{\partial z} = 0 \tag{1.7}$$

будем иметь систему четырех уравнений для определения  $u^*$ ,  $v^*$ , w

Решение системы уравнений (1.6), (1.7) для слоя в предположения затухания величин  $u^*$ ,  $v^*$ ,  $w^*$  и  $z^*$  при  $\sqrt[4]{x^2+y^4}$ — $\infty$  ищем в форми двойных интегралов Фурье [3]

$$u^* = \frac{1}{2\pi} \int_{-\infty}^{\infty} U(\alpha, \beta; z) \exp\left[-i(\alpha x + \beta y)\right] dz d\beta$$

$$v^* = \frac{1}{2\pi} \int_{-\infty}^{\infty} V(\alpha, \beta; z) \exp\left[-i(\alpha x + \beta y)\right] dz d\beta$$

$$w^* = \frac{1}{2\pi} \int_{-\infty}^{\infty} W(\alpha, \beta; z) \exp\left[-i(\alpha x + \beta y)\right] dz d\beta$$

$$\sigma^* = \frac{1}{2\pi} \int_{-\infty}^{\infty} \sum_{\alpha} (\alpha, \beta; z) \exp\left[-i(\alpha x + \beta y)\right] dz d\beta$$
(1.8)

при этом относительно трансформант Фурье  $U(\alpha,\beta;z)$ ,  $V(\alpha,\beta;z)$ ,  $W(\alpha,\beta;z)$  и  $\sum (\alpha,\beta;z)$  получим систему обыкновенных дифференциальных уравнений с постоянными коэффициентами

$$\begin{aligned}
x_{0}U'_{x} - ix_{3}\alpha W - (x_{1}\alpha^{2} + x_{0}\beta^{2})U - x_{2}\alpha\beta V - i\alpha \Sigma &= 0 \\
x_{0}V''_{z} - ix_{3}\beta W''_{z} - (x_{0}\alpha^{2} + x_{4}\beta^{2})V - x_{2}\alpha\beta U - i\theta \Sigma &= 0 \\
x_{6}W - ix_{2}\alpha U'_{z} - ix_{3}\beta V - x_{0}^{-1}W + \Sigma'_{z} &= 0 \\
W - i\alpha U - i\beta V &= 0 \quad (\gamma = \sqrt{\alpha^{2} + \beta^{2}})
\end{aligned} \tag{1.9}$$

Исследование уравнений (1.9) показывает, что система уравнений (1.6), (1.7) является системой эллиптического типа, а общее решение уравнений (1.9) имсет вид (черточка сверху означает комплексно-сопряженную величину)

$$U = \beta_1 \operatorname{sh} \gamma z + \beta_2 \operatorname{ch} \gamma z + \{A, a\} (\beta_3 \operatorname{sh} az + \beta_4 \operatorname{ch} az) + \{A, a\} (\beta_5 \operatorname{sh} az + \beta_4 \operatorname{ch} az)$$

$$V = -\frac{p_1 \beta_2}{p_2 \beta_3} (\beta_1 \operatorname{sh} \gamma z + \beta_2 \operatorname{ch} \gamma z) + \{B, a\} (\beta_3 \operatorname{sh} az + \beta_4 \operatorname{ch} az) + \{B, a\} (\beta_5 \operatorname{sh} az + \beta_6 \operatorname{ch} az)$$

$$W = I \frac{\alpha}{\gamma} \frac{p_1 - p_1}{p_2} (\beta_1 \operatorname{ch} z + \beta_2 \operatorname{sh} \gamma z) + \{C, a\} (\beta_3 \operatorname{ch} az + \beta_4 \operatorname{sh} az) + \{C, a\} (\beta_5 \operatorname{ch} az + \beta_6 \operatorname{sh} az)$$

$$\sum_{i=1}^{n} \beta_i \operatorname{sh} az + \beta_4 \operatorname{ch} az + \beta_5 \operatorname{sh} az + \beta_6 \operatorname{ch} az$$

$$\beta_2 = \beta_3 (a_1 \beta_1), \quad \gamma = 1, 2, \dots, 6$$

$$\{A, \Lambda\} = \frac{1}{x_0} (\Lambda^9 - \alpha^9 - C_8 \beta^8) X^{-1}, \quad \{B, \Lambda\} = \frac{1}{x_0} (\Lambda^8 - C_3 \alpha^8 - \beta^8) X^{-1}$$

$$\{C, \Lambda\} = -(\Lambda^9 \gamma^8 - \alpha^4 - C_1 \alpha^8 \beta^8 - \beta^4) (x_0 \Lambda X)^{-1}$$

$$X = \Lambda^4 - C_4 \Lambda^2 \alpha^8 - C_5 \Lambda^2 \beta^8 + C_8 \alpha^4 + 2C_2 \alpha^2 \beta^8 - C_8 \beta^4$$

$$C_1 = (x_1 - 2x_2 + x_4) x_0^{-1}, \quad C_3 = -(x_2 - x_3 - x_4 + x_5) x_0^{-1}$$

$$C_3 = (x_1 - x_2 - x_3 + x_5) x_0^{-1}, \quad C_4 = (x_0 + x_1 - x_3) x_0^{-1}, \quad C_5 = (x_0 + x_4 - x_5) x_0^{-1}$$

$$C_8 = (x_1 - x_3) x_0^{-1}, \quad C_7 = l(l + m)^{-1}, \quad C_8 = (x_4 - x_5) x_0^{-1}$$

$$a = \{1/2 \mid (a_1 - 1) \alpha^8 + (a_2 - 1) \beta^8 \mid + 1/2l\sqrt{a_1(2 - a_2) \alpha^4 + [a_4 - 2(1 - a_1)(1 - a_1) \mid \alpha^8 \beta^8 + a_2(2 - a_2) \beta^6 \}^{1/2}$$

$$a_1 = 3 \frac{lD^8 + mp_3(p_2 - p_1)}{(l + m)D^8}, \quad a_1 = 3 \frac{lD^8 + mp_1(p_3 - p_2)}{(l + m)D^8}$$

$$a_1 = 3 \frac{l}{l + m}, \quad a_2 = \frac{2lD^8 - m(p_3^* - 4p_1p_3 + p_3^*)}{(l + m)D^8}$$

$$(1.10)$$

2. Предположим, что сжимающие (растягивающие) усилия  $p_1$  и  $p_2$  мало отличаются одно от другого, то есть

$$p_1 = p(1+\chi), \quad p_1 = p(1-\chi)$$
 (2.1)

Далее с помощью формул (1.10) получим асимптотическое (с точностью до членов  $O(\chi^2)$ ) решение следующей вспомогательной задачи о равновесии слоя:

$$w^*(x, y, h) = 0, \quad \tau_{xz}^*(x, y, h) = 0, \quad \tau_{yz}^*(x, y, h) = 0$$

$$\tau_{xz}^*(x, y, 0) = 0, \quad \tau_{yz}^*(x, y, 0) = 0, \quad \sigma_{z}^*(x, y, 0) = -q(x, y) \quad (2.2)$$

Здесь также возмущения напряжений  $a^*$ , . . . и q(x, y) стремятся к нулю при  $\sqrt[4]{x^2+y^4} \rightarrow \infty$ . Записав граничные условия (2.2) в трансформантах Фурье и удовлетворяя им, найдем вид функций  $\mathcal{F}_{\bullet}(\alpha, \beta)$  в (1.10), и затем, отбрасывая члены порядка  $\chi^{\bullet}$  и выше, получим

$$w^{*}(x, y, 0) = \frac{1}{2\pi \theta} \int \int \gamma^{-1}L(x, \beta; h)Q(x, \beta) \exp\left\{-i(xx+\beta y)\right\} dxdy$$

$$L(\alpha, \beta; h) = \frac{\cosh \gamma h - \cos \omega \gamma h}{\sinh \gamma h + k\omega^{-1}\sin \omega \gamma h}$$

$$\times \left[1 - \chi \frac{\omega^{2}}{k^{3}} \frac{\sinh k\gamma h + k\omega^{-2}(2 + \omega^{2})\sin \omega \gamma h}{\sinh \gamma h + k\omega^{-1}\sin \omega \gamma h} \frac{\alpha^{2} - \beta^{2}}{\gamma^{2}}\right]$$

$$= \sqrt{\frac{4I - m}{l + m}}, \quad \omega = \sqrt{\frac{3m}{l + m}}, \quad \theta = k/2l$$
(2.3)

Здесь Q(x, 3) — трансформанта Фурье функции q(x, y). Удовлет воряя теперь с помощью (2.3) граничным условиям контактной задачи ( $\Omega$  — конечная область контакта)

$$w^{*}(x, y, h) = 0, \ \tau_{xz}^{*}(x, y, h) = 0, \ \tau_{yz}(x, y, h) = 0$$

$$\tau_{xz}(x, y, 0) = 0, \ \tau_{yz}(x, y, 0); \quad (x, y, 0) = 0 \quad ((x, y) \in \Omega)$$

$$w^{*}(x, y, 0) = f(x, y) = [\delta + \alpha x + \beta y - g(x, y)] \quad ((x, y) \in \Omega)$$

$$0 \quad (\sqrt[4]{x^{2} + y^{2}} \to \infty)$$
(2.4)

получим относительно неизвестного контактного давления q(x,y), с точностью до членов порядка  $\chi^2$ , следующее интегральное уравнение:

$$\iint_{\mathfrak{g}} K(\xi - x, \eta - y; h) q(\xi, \eta) d\xi d\eta = 2\pi \theta f(x, y) \quad ((x, y) \in \Omega)$$

$$K(\xi, \eta; h) = \frac{1}{2\pi} \int \int_{-\infty}^{\infty} \gamma^{-1} L(x, \theta; h) \exp[i(\xi x + \eta \theta)] dx d\theta$$
 (2.5)

Здесь функция  $L(x, \beta; h)$  определяется второй формулой (2.3),  $6+\alpha x+\beta y$  — жесткое перемещение штампа, g(x, y) — функция, описывающая форму основания штампа.

Переходя в уравнении (2.5) к пределу  $h \to \infty$ , получим интегральное уравнение соответствующей контактной задачи для преднапряженного физически нелинейного упругого полупространства, которому после преобразования ядра [4] можно придать вид

$$\iint \left[ \frac{1}{\sqrt{(\xi - x)^2 + (\eta - y)^2}} + \chi \frac{w^2}{k^2} \frac{(\eta - y)^2 - (\xi - x)^2}{\{(\xi - x)^2 + (\eta - y)^2\}^{3/2}} \right] q(\xi, x) d\xi d\eta = 2\pi\theta f(x, y) \quad ((x, y) \in \Omega)$$
(2.6)

Интегральное уравнение (2.6) отличается от интегрального уравнения (3.3) [5] лишь значением контактной жесткости  $^{0}$  и величнюй коэффициента  $\omega^{2}/k^{2}$ . Для того, чтобы перейти от уравнения (3.3) [5] к уравнению (2.6), достаточно сделать следующую замену величин:

$$2G/N(L) \rightarrow \theta, L(L)/N(L) \rightarrow \omega^{1} k^{1}$$
 (2.7)

На основании вышесказанного решение интегрального уравнения (2.6) для плоского наклонного эллиптического в плане штампа будет даваться формулами (3.4), (3.5) [5], в которых только следует сделать замену (2.7).

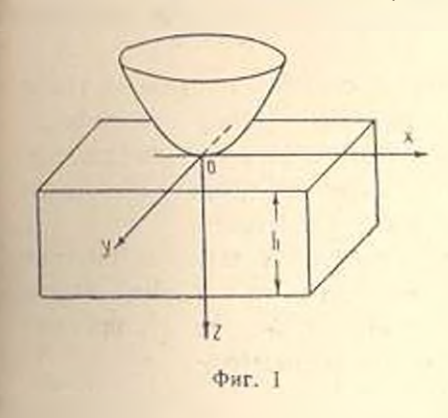
Также, для неплоского эллиптического в плане штампа с центром в начале координат, у которого главные направления поверхности основания в точке касания со слоем совпадают с осями ж, у (фиг. 1), решение уравнения (2.6), удовлетворяющее условию равновесия штампа, будет иметь вид (3.6), (3.7) [5]. Отыскивая решение системы (3.7) [5] в виде [5]

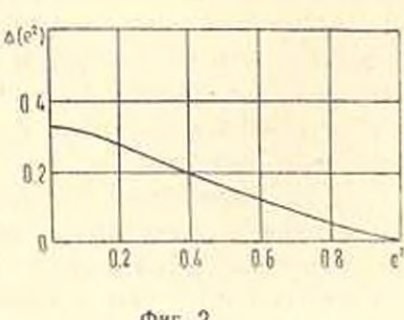
$$e^{i} = e_{i}^{2} + \gamma e_{i}^{2} + \dots$$
 (2.8)

с точностью до членов порядка у найдем

$$e_1^2 = 4 \frac{\omega^4}{K} \Delta(e_0^2)$$

$$\Delta(e^2) = \frac{(1 - e^4)|E^2 - (1 - e^4)K^3|}{K(2E - K)(1 - e^2) - E(3E - 2K)}, \lim_{x \to 0} \Delta(x) = 1/3$$
 (2.9)





Фиг. 2

Здесь K - K(e) в E - E(e) полные эдлиптические интегралы первого и второго рода. График функции  $\Delta(e^{\mathbf{s}})$  представлен на фиг. 2.

Можно заключить, что увеличение преднапряжения вдоль одной из осей приводит к «вытягиванию» эллиптической области контакта в том же направлении, причем чем меньше экспентриситет площадки контакта, тем сильнее проявляется этот эффект.

Автор благодарен В. М. Александрову за постановку задачи и внимание к работе.

## ՆԱԽԱԼԱՐՎԱԾ ՖԻԶԻԿՈՐԵՆ ՈՉ ԳԾԱՑԻՆ ԱՌԱԶԳԱԿԱՆ ՇԵՐՏՈՒՄ ԳՐՈՇՄԻ ՃՆՇՈՒՄԸ

Վ. Ս. ՊՈՐՈՇԻՆ

#### Uldnihnid

Դիտարկվում է շերտի կողերին ղուդանեռ, երկու փոխուղղանայաց աոանցքների ուղղությամբ տարբեր, անվերջում Հավասարաչափ բաշխված <del>Հիգերով նախապես լարված ֆիզիկակա</del>ն ոչ գծային առաձգական շերտի կոնա սկտային խնդիրը։ Առաջին - մոտավորությամբ հաստատված է յրիվ անալոգ <mark>հախալարված ֆիզիկական ոչ գ</mark>ծային առաձգական կիսատարածությունում <del>գրոշմի ճնշման և նախալարված ևրկրա</del>չափական ոչ գծային առաձգական կիսատարածության կոնտակտային խնդիրների համար

8ույց է տրված, որ պլանում ոչ Հարին էլիպտական դրոշմի համար մի ա-<mark>ռանցքի ուղղուβյամբ սկզբնական լ</mark>արումների մեծացումը բերում է հույն ուղղությամբ կոնտակտի էլիպտական տիրույթի ձգման։

# STAMP PENETRATION IN AN INITIALLY STRESSED PHISICAL NONLINEAR ELASTIC LAYER

V. S. POROSHIN

Summary

The contact problem for a physical nonlinear elastic layer initially stressed with forces uniformly distributed over an infinite body has been treated; the forces differ along two mutually perpendicular axes and are parallel to the layer boundaries.

At the first approximation, an equivalence of the problem of stamp penetration into the initially stressed (stresses differ along two mutually orthogonal axes) semispace with physical nonlinearity, with the problem of prestressed (nonuniformly along two mutually orthogonal axes) semispace with geometrical nonlinearity has been established.

It has been shown that for a nonplane elliptic stamp an increase in the initial stresses along one of the axes leads to "stretch" of the elliptic contact domain in the same direction; herein, the less the contact area eccentricity the stronger the effect is manifested.

#### ЛИТЕРАТУРА

- Толоконников Л. А. Механяка деформируемого звердого тела. М.: Высш. школа. 1979. 318 с.
- 2. Гузь А. Н. Устойчивость упругил тел при конечных деформациях. Киев: Наукова думка, 1973. 272 с.
- 3. Диткин В. А., Прудников А. П. Интегральные преобразования и операционное исчисление. М.: Наука, 1974. 544 с.
- Бейтмен Г., Эрдейи А. Таблицы интегральных преобразовании. Т. 1. М.: Наука, 1970. 343 с.
- Филиппова Л. М. Пространственная контактная задача для предварительно напряженного упругого зела.—ПММ, 1978. т. 42. вып. 6, с. 1080—1084.

Институт проблем механяки АН СССР

> Поступила в редакцию 4.1.1984

УДК 539.3.01:533.6.013.422

#### ПРИМЕНЕНИЕ АСИМПТОТИЧЕСКОГО МЕТОДА К ЗАДАЧЕ О ФЛАТТЕРЕ ОРТОТРОПНОЙ ЦИЛИНДРИЧЕСКОЙ ОБОЛОЧКИ

#### жинжер и и кадарметов и м.

Асимптотический метод [1] нашел широкое применение в задачах о собственных колебаниях и устойчивости при потенциальных внешних силах пластии и оболочек, а также в задачах динамики при широкополосных внешних воздействиях. В [2] метод применен к задаче о флаттере пластии. В данной работе асимптотический метод применяется к задаче о сверхзвуковом флаттере ортотропной цилиндрической оболочки. Показана вычислительная устойчивость уравнения стыковки и приведены результаты параметрического исследования задачи.

1. Отнессм средниную поверхность цилиндрической оболочки ралнуса R, длины L и толщины h к системе координат  $x_1x_2$ , совпадаюшей с линиями главных кривизи. Будем считать, что главные направления упругости ортотропного материала оболочки совпадают с координатными линиями. В направлении, противоположном х, оболочка обтекается с висшисй стороны сверхзвуковым потоком газа со скоростью V. Предположим, что давление внутри оболочки равно давлению в невозмущенном потоке газа. Избыточное аэродинамическое давление на колеблющуюся оболочку будем учитывать по линейному приближению поршневой теории с поправкой Крумхаара на кривизну срединной поверхности. В случаях, когла применение этой теории требует дополнительного обоснования, рассматриваемую задачу следует трактовать как модельную. Ставится задача об исследовании устойчивости невозмущенной формы равновесия оболочки. Эта задача должна формулироваться как задача с начальными данными. Для упругих систем с дискретным спектром собственных частот, как известно [3], достаточно исследовать элементарные движения оболочки в окрестности невозмущенной формы

$$\sum_{m=1}^{3} \frac{I_{lm} \left( u_m + \eta \frac{\partial u_m}{\partial t} \right) - \left( 1 - d_1 v_n^2 \right) \left[ \frac{\partial^2 u_l}{\partial t^2} + \delta_{l^2} \left( \gamma \frac{\partial u_n}{\partial t} - \hat{\rho} \frac{\partial u_n}{\partial x} + a_n u_n \right) \right] = 0$$

$$(j = 1, 2, 3) \tag{1.1}$$

Здесь  $u_i(x, \theta, t)$  — компоненты вектора перемещений точек срединной поверхности и введены следующие безразмерные переменные и параметры:

$$x = \frac{x_1}{R}, \quad \theta = \frac{x_2}{R}, \quad \overline{t} = \Omega_0 t, \quad \beta = \frac{x p_x R V}{c_\alpha E_1 h}, \quad \alpha_R = \frac{x p_\alpha R}{2E_1 h}$$

$$\epsilon_0 = \frac{x p_\alpha R}{c_\alpha h} (\rho E_1)^{-1/2}, \quad \gamma = \epsilon + \epsilon_0, \quad t = \frac{L}{R}, \quad \Omega_0 = \frac{1}{R} \sqrt{\frac{E_1}{\rho}}$$

 $\eta$ ,  $\epsilon$ ,  $\epsilon_0$ —безразмерные параметры внутреннего, внешнего и аэродинамического демпфирования соответственно, о плотность материала оболочки, х—показатель политропы,  $\rho$ ,  $c_\infty$ —давление и скорость звука в невозмущенном потоке. Дифференциальные операторы  $L_{jn}$  имеют вид [4]

$$L_{11} = \frac{\partial^{2}}{\partial x^{4}} + d_{3} \frac{\partial^{2}}{\partial \hat{y}^{2}}, \quad L_{12} = L_{21} = (v_{1}d_{1} + d_{3}) \frac{\partial^{2}}{\partial x d\theta}$$

$$L_{13} = -L_{31} - v_{1}d_{1} \frac{\partial}{\partial x}, \quad L_{22} = d_{3} \frac{\partial^{2}}{\partial x^{2}} + d_{1} \frac{\partial^{2}}{\partial f^{2}} + \mu^{4} \left( d_{1} \frac{\partial^{2}}{\partial x^{2}} - d_{1} \frac{\partial^{2}}{\partial x} \right)$$

$$L_{12} = -L_{32} = d_{1} \frac{\partial}{\partial y} - \mu^{4} \left[ (v_{1}d_{1} + 4d_{3}) \frac{\partial^{2}}{\partial x^{2}} + d_{1} \frac{\partial}{\partial \theta^{3}} \right]$$

$$L_{33} = -d_{1} - \mu^{4} \left[ \frac{\partial^{4}}{\partial x^{4}} + 2(v_{1}d_{1} + 2d_{3}) \frac{\partial^{4}}{\partial x^{2}} + d_{1} \frac{\partial^{3}}{\partial \theta^{3}} \right]$$

$$\mu^{4} = \frac{h^{4}}{12R^{2}} \quad d_{1} = \frac{E_{1}}{E_{1}} \quad d_{2} = \frac{G_{1}}{E_{1}}, \quad d_{3} = d_{2}(1 - d_{1}v_{1}^{2})$$

 $E_1, E_2, G, v_1$  ( $v_2 = E_1v_1E_1$ )—упругие постоянные материала оболочки. Систему уравнений (1.1) необходимо дополнить красвыми условиями. Рассмотрим, например, случай жесткого защемления круговых кромок оболочки

$$u_1 = u_2 = u_3 = \frac{\partial u_3}{\partial x} = 0 \quad (x = 0, x = l)$$
 (1.2)

Параметр скорости флаттера 3. оболочки является наименьшим из тех значений 3. для которых задача (1.1), (1.2) имсет решения, соответствующие колебаниям с вещественной частотой.

Использование схемы точного решения задачи (1.1), (1.2) приводит, как известно, к исследованию определителя восьмого порядка с комплексными элементами и содержащего экспоненты с отрицательными и положительными действительными частями, соответствующие частным решениям по пространственной переменной. При значительных удлинениях />5 вычисление определителя становится численно неустойчивым процессом и даже может привести к исчезновению порядков или переполнению разрядной сетки. Стабилизировать процесс вычислений определителя нормировкой строк или столбцов принципиально невозможно. При таких удлинениях или существенном демпфировании колебаний задача эффективно решается с использованием концепции динамического краевого эффекта [1] и асимптотического метода, на ней основанного.

Порождающее решение системы (1.1) примем в виде 32

$$u_{1}^{0} = [C_{1}\chi_{1}(k_{1}) \exp(i(k_{1}x - \omega t)) + C_{2}\chi_{2}(ik_{1}) \exp(i(k_{1}x - \omega t))] \cos n\theta$$

$$u_{2}^{0} = [C_{1}\psi_{1}(ik_{1}) \exp(i(k_{1}x - \omega t)) + C_{2}\psi_{2}(ik_{2}) \exp(i(k_{1}x - \omega t))] \sin n\theta$$

$$u_{3}^{0} = [C_{1} \exp(i(k_{1}x - \omega t)) + C_{2} \exp(i(k_{2}x - \omega t))] \cos n\theta$$
(1.3)
3.3 ecch

$$\gamma_{a}(ik_{a}) = D_{1}(ik_{a})/D(ik_{a}), \quad \psi_{a}(ik_{a}) = D_{2}(ik_{a})/D(ik_{a})$$

$$\text{Im } \omega = 0, \quad \text{Re } k_{a} < 0, \quad \text{Im } k > 0$$

$$D = \left[ k_{a}^{2} + \frac{(1 - d_{1} \gamma_{1})\omega^{2}}{1 - i\gamma \omega} + d_{1} n^{2} \right] \left[ d_{3}(1 + 4\mu^{4})k_{a}^{2} + d_{1}(1 + \mu^{4})n^{2} + \frac{(1 - d_{1}\gamma_{1}^{2})\omega^{4}}{1 - i\gamma \omega} \right] - (\gamma_{1}d_{1} + d_{2})^{2}n^{2}k_{a}^{2}$$

$$D_{1} = d_{1}\gamma_{1}ik_{a} \left[ d_{3}(1 + 4\mu^{4})k_{a}^{2} + d_{1}n^{2}(1 + \mu^{4}) + \frac{(1 - d_{1}\gamma_{1}^{2})\omega^{4}}{1 - i\gamma \omega} \right] - (\gamma_{1}d_{1} + d_{1})n_{1}k_{a} \left[ k^{2}n\mu^{4}(\gamma_{1}d_{1} + 4d_{1}) + n(d_{1} + \mu^{4}n^{2}d_{1}) \right]$$

$$D_{2} = \left[ k^{2} + \frac{(1 - d_{1}\gamma_{1})\omega^{2}}{1 - i\gamma \omega} + n^{2}d_{1} \right] \left[ k^{2}n\mu^{4}(\gamma_{1}d_{1} + 4d_{3}) + n(d_{1} + \mu^{4}n^{2}d_{1}) \right]$$

$$(\alpha = 1, 2; n = 1, 2, \dots)$$

Решение (1.3) представляет собой суперпозицию двух воли с неизвестными волновыми числами k, и частотой  $\omega$ , распространяющихся в направлении потока и амплитуды которых экспоненциально убывают с возрастанием x. Это решение будет удовлетворять системе (1.1), если волновые числа удовлетворяют уравнению

$$\sum_{m=0}^{8} p_m(tk_s)^{n-m} = 0 \qquad (n = 1, 2)$$
 (1.4)

Явиме выражения для коэффициентов  $p_m$  здесь не приводим.

2. В соответствии с основной идеей асимптотического метода [1] порождающее решение (1.3) должно быть скорректировано у каждой из кромок решениями типа динамического краевого эффекта. Скорректированные решения должны удовлетворять граничным условиям и при удалении от кромок во внутреннюю область срединной поверхности должны стремиться к порождающему решению. Будем искать решения системы (1.1) в окрестности кромок в виде

$$u_{j}(x,\theta,t) = U_{j}(x) \begin{cases} \cos n\theta \\ \sin n\theta \\ \cos n\theta \end{cases} \exp(-i\omega t) \quad (j = 1, 2, 3) \tag{2.1}$$

После подстановки решения (2.1) в (1.1) получим систему обыкновенных дифференциальных уравнений относительно функций  $U_l(x)$ . Частными решениями этой системы являются  $\{\chi_m(r_m)\exp(r_mx), \psi_m(r_m)\exp(r_mx), \exp(r_mx)\}$   $(m=1,2,\ldots,8)$ , где  $r_m$ —кории характеристического уравнения

$$\sum p_m r^{\theta-m} = 0 \tag{2.2}$$

Это уравнение, как следует из (1.4), имеет два кория  $r_1 = ik_1$ ,  $r_2 = ik_1$  соответствующие порождающему решению (1.3). Поэтому поливом глевой части (2.2) должен нацело делиться на квадратный трехчле  $r^2 = i(k_1 + k_2)r = k_1k_2$ . Условие обращения в нуль остатка от делени двет два уравнения

$$F_1(k_1, k_2, \omega, \beta) = p_1 + i(k_1 + k_2)q_1 + k_1k_2q_2 = 0$$
 (2.3)

$$F_1(k_1, k_2, m, 3) = p_1 + k_1 k_2 q_4 = 0$$
 (2.4)

Здесь зависимость от других параметров задачи явио не подчеркива ется. Приравнивая нулю частное, получим уравнение

$$\sum_{m=0}^{6} q_m r^{6-m} = 0 (2.$$

(2.0)

$$q_0 = p_0, \quad q_1 = i(k_1 + k_2)p_0$$

$$q_m = p_m - i(k_1 + k_2)q_m - k_1k_2q_{m-2} \quad (m = 2, 3, ..., 6)$$

корни которого соответствуют решениям типа динамического краевого эффекта. При однородных граничных условиях динамически краевой эффект будет невырожденным, если три кория уравнени (2.5) расположены левое корней  $ik_a$ , а три кория лежат в право полуплоскости. Установим невырождение динамических краевых эффектов для состояний, соотнетствующих неосесимметричному флатт ру ( $\omega \neq 0$ ,  $n \geqslant 1$ ). Малый параметр  $\mu^a = h^2/(12R^2)$  входит в качестве множителя в коэффициент  $p_a$ , а следовательно, и в  $q_a$ . Выясним асимитотику при  $\mu \to 0$  корней уравнения (2.5). Для этого умножим обчасти этого уравнения на  $u^2$  и выполним замену переменной  $r = z\mu$ . Величина 3 имеет порядок, не меньший, чем  $\beta = O(q^{-1})$ ,  $\epsilon_1 > 0$ . То

да уравнение нулевого приближения относительно г имеет двукра ный нулевой корень и четыре ненулевых. Последним соответству

следующее уравнение относительно г:

$$d_{1}\left[\mu^{4}r^{4}+d_{1}(1-d_{1}v_{1}^{2})-(1-d_{1}v_{1}^{2})\frac{d\gamma\omega-z_{N}+\omega^{2}}{1-d\gamma\omega}\right]=0$$
(2)

Кории этого уравнения близки к так называемым "большим кория в задачах статики оболочек, если параметр частоты флаттера  $\omega$  ма Обозначим через  $r_3$ ,  $r_4$  кории уравнения (2.7), лежащие в левой г луплоскости, а через  $r_5$ ,  $r_6$ —в правой. Асимптотику при  $\mu \to 0$  дв других корней уравнения (2.5) можно получить из соотношения

$$(d_3 u^4 r^4 + q_4)(r^2 - a_1 r - a_2) = q_0 r^6 + \dots + q_5 r + q_6$$

Приравнивая коэффициенты в обенх частях при одинаковых степент, найдем с точностью до  $O(u^4)$  выражения для  $a_1$  и  $a_2$ . Окончателное суждение о невырождении динамического краевого эффекта с зано с расположением корней уравнения

$$r^{2}+i(k_{1}+k_{2})r-n^{2}\left[2v_{1}d_{1}+4d_{3}+\frac{d_{1}}{d_{2}}+d_{3}-\left(v_{1}\frac{d_{1}}{d_{3}}+1\right)^{2}d_{3}\right]+$$

$$+\frac{1+d_{3}}{d_{4}}\frac{\omega^{2}}{1-i\eta\omega}-k_{2}^{2}-k_{1}^{2}-k_{1}k_{2}=0. \tag{2.8}$$

Пусть  $r_s$  — корень уравнения (2.8), расположенный в левой полумоскости, а  $r_s$  — в правой.

3. Рассмотрим кромку x=0 и построим скорректированное решение у этой кромки в виде

$$u_{1}(x|0;\theta,t) = [C_{1}\chi_{1}(ik_{1}) \exp(ik_{1}x) + C_{2}\gamma_{2}(ik_{2}) \exp(ik_{2}x) + \sum_{m=3}^{5} C_{m}\gamma_{m}(r_{m}) \exp(r_{m}x) | \exp(-i\omega t) \cos n\theta$$

$$u_{1}(x|0;\theta,t) = [C_{1}\psi_{1}(ik_{1}) \exp(ik_{1}x) + C_{2}\psi_{2}(ik_{2}) \exp(ik_{2}x) + \sum_{m=3}^{5} C_{m}\psi_{m}(r_{m}) \exp(r_{m}x) | \exp(-i\omega t) \sin n\theta$$
(3.1)

$$C_{2}(x|0;\theta,t) = |C_{1}\exp(ik_{1}x) - C_{2}\exp(ik_{2}x) + \sum_{m=3} C_{m}\exp(r_{m}x)|\exp(-i\omega t)\cos n\theta$$

где  $\text{Rer}_{v} < 0$  (m = 3, 4, 5). Удовлетворяя граничным условиям (1.2), получием систему алгебранческих уравнений:

$$C_{2} + C_{3} + C_{4} + C_{5} = -C_{1}$$

$$ik_{2}C_{2} + r_{3}C_{3} - r_{4}C_{4} + r_{5}C_{5} = -ik_{1}C_{1}$$

$$\gamma_{2}C_{2} + \gamma_{3}C_{3} + \gamma_{4}C_{4} + \gamma_{5}C_{5} = -\gamma_{1}C_{1}$$

$$\psi_{2}C_{2} + C_{4} + C_{5}C_{5} = -\psi_{1}C_{1}$$

Из этой системы находим

$$C_2 = \frac{\Delta_3^{(0)}}{\Delta_3^{(0)}} C_1, \quad C_3 = \frac{\Delta_3^{(0)}}{\Delta_3^{(0)}} C_1, \dots, \quad C_4 = \frac{\Delta_3^{(0)}}{\Delta_3^{(0)}} C_1$$
 (3.2)

$$\Delta^{(0)} = \begin{bmatrix} 1 & 1 & 1 & 1 \\ ik_2 & r_3 & r_4 & r_5 \\ \chi_2 & \chi_3 & \chi_4 & \chi_5 \\ \vdots & \psi_3 & \psi_4 & \psi_5 \end{bmatrix}, \quad \Delta_2^{(0)} = - \begin{bmatrix} 1 & 1 & 1 & 1 \\ ik_1 & r_3 & r_4 & r_5 \\ \chi_1 & \chi_3 & \chi_4 & \chi_5 \\ \vdots & \vdots & \ddots & \ddots & \ddots \\ \psi_1 & \vdots & \vdots & \ddots & \ddots \\ \psi_1 & \vdots & \vdots & \ddots & \ddots \end{bmatrix}$$
(3.3)

Тогда выражения (3.1) принимают вид

$$u_{1}(x|0;\theta,t) = C_{1} \left[ \chi_{1} \exp(ik_{1}x) + \frac{\Delta^{(0)}}{\Delta^{(0)}} \chi_{2} \exp(ik_{2}x) + \frac{\sum_{m=3}^{5} \frac{\Delta^{(0)}_{m}}{\Delta^{(0)}} \chi_{m} \exp(r_{m}x) \right] \exp(-i\omega t) \cos n\theta$$

$$u_{2}(x|0;\theta,t) = C_{1} \left[ \psi_{1} \exp(ik_{1}x) + \frac{\Delta^{(0)}_{m}}{\Delta^{(0)}} + \exp(ik_{1}x) + \frac{\Delta^{(0)}_{m}}{\Delta^{(0)}} + \exp(ik_{1}x) + \frac{\Delta^{(0)}_{m}}{\Delta^{(0)}} + \exp(ik_{1}x) \right] \exp(-i\omega t) \sin n\theta$$
(3.4)

$$u_{1}(x|0; \theta, t) = C_{1} \left[ \exp(tk_{1}x) + \frac{\Delta(0)}{\Delta(0)} \exp(tk_{2}x) + \sum_{n=0}^{5} \frac{\Delta(0)}{\Delta(0)} \exp(r_{n}x) \right] \exp(-t\omega t) \cos n\theta$$

Итак, скорректированное решение у кромки x=0 удовлетвор граничным условиям и стремится к порождающему решению (3. при  $x\to\infty$ . Таким же путем построенное решение у кромки x=l б дет иметь вид

$$u_{1}(x|l; \theta, t) = C_{1} \left[ \chi_{1} \exp(ik_{1}x) + \chi_{2} \frac{\Delta_{2}^{(l)}}{\Delta_{1}^{(l)}} \exp(i(k_{1}-k_{2})l) \exp(ik_{2}x) + \right. \\ \left. + \sum_{m=6}^{8} \frac{\Delta_{m}^{(l)}}{\Delta_{1}^{(l)}} \gamma_{m} \exp(r_{m}(x-l)) \right] \exp(-i\omega t) \cos n\theta$$

$$u_{1}(x|l; \theta, t) = C_{1} \left[ \psi_{1} \exp(ik_{1}x) + \psi_{2} \frac{\Delta_{2}^{(l)}}{\Delta_{1}^{(l)}} \exp(i(k_{1}-k_{2})l) \exp(ik_{2}x) + \right. \\ \left. + \sum_{m=6}^{8} \frac{\Delta_{m}^{(l)}}{\Delta_{n}^{(l)}} \gamma_{m} \exp(r_{m}(x-l)) \right] \exp(-i\omega t) \sin n\theta$$

$$u_{2}(x|l; \theta, t) = C_{1} \left[ \exp(ik_{1}x) + \frac{\Delta_{2}^{(l)}}{\Delta_{n}^{(l)}} \exp(i(k_{1}-k_{2})l) \exp(ik_{2}x) + \right. \\ \left. + \sum_{m=6}^{8} \frac{\Delta_{n}^{(l)}}{\Delta_{n}^{(l)}} \exp(r_{m}(x-l)) \right] \exp(-i\omega t) \cos n\theta$$

$$\Delta(l) = \begin{bmatrix} 1 & 1 & 1 & 1 \\ ik_{1} & r_{n} & r_{1} & r_{3} \\ \chi_{2} & \chi_{6} & \chi_{1} & \chi_{8} \\ \psi_{2} & \psi_{6} & \psi_{1} & \psi_{6} \end{bmatrix}$$

$$\Delta(l) = \begin{bmatrix} 1 & 1 & 1 & 1 \\ ik_{1} & r_{n} & r_{1} & r_{3} \\ \chi_{2} & \chi_{6} & \chi_{1} & \chi_{8} \\ \psi_{2} & \psi_{6} & \psi_{1} & \psi_{6} \end{bmatrix}$$

$$\Delta(l) = \begin{bmatrix} 1 & 1 & 1 & 1 \\ ik_{1} & r_{n} & r_{1} & r_{3} \\ \chi_{2} & \chi_{6} & \chi_{1} & \chi_{8} \\ \psi_{2} & \psi_{6} & \psi_{1} & \psi_{6} \end{bmatrix}$$

$$\Delta(l) = \begin{bmatrix} 1 & 1 & 1 & 1 \\ ik_{1} & r_{n} & r_{1} & r_{1} \\ \chi_{1} & \chi_{6} & \chi_{1} & \chi_{8} \\ \psi_{1} & \psi_{6} & \psi_{1} & \psi_{6} \end{bmatrix}$$

$$\Delta(l) = \begin{bmatrix} 1 & 1 & 1 & 1 \\ ik_{1} & r_{n} & r_{1} & r_{1} \\ \chi_{1} & \chi_{6} & \chi_{1} & \chi_{8} \\ \psi_{1} & \psi_{6} & \psi_{1} & \psi_{6} \end{bmatrix}$$

Решения (3.4) и (3.5), построенные у противоположных кромок, «стыкуем» во внутренней области. Для этого приравняем однонменны компоненты решений с точностью до слагаемых, соответствующих д намическим краевым эффектам. В результате получаем уравнение спиовки

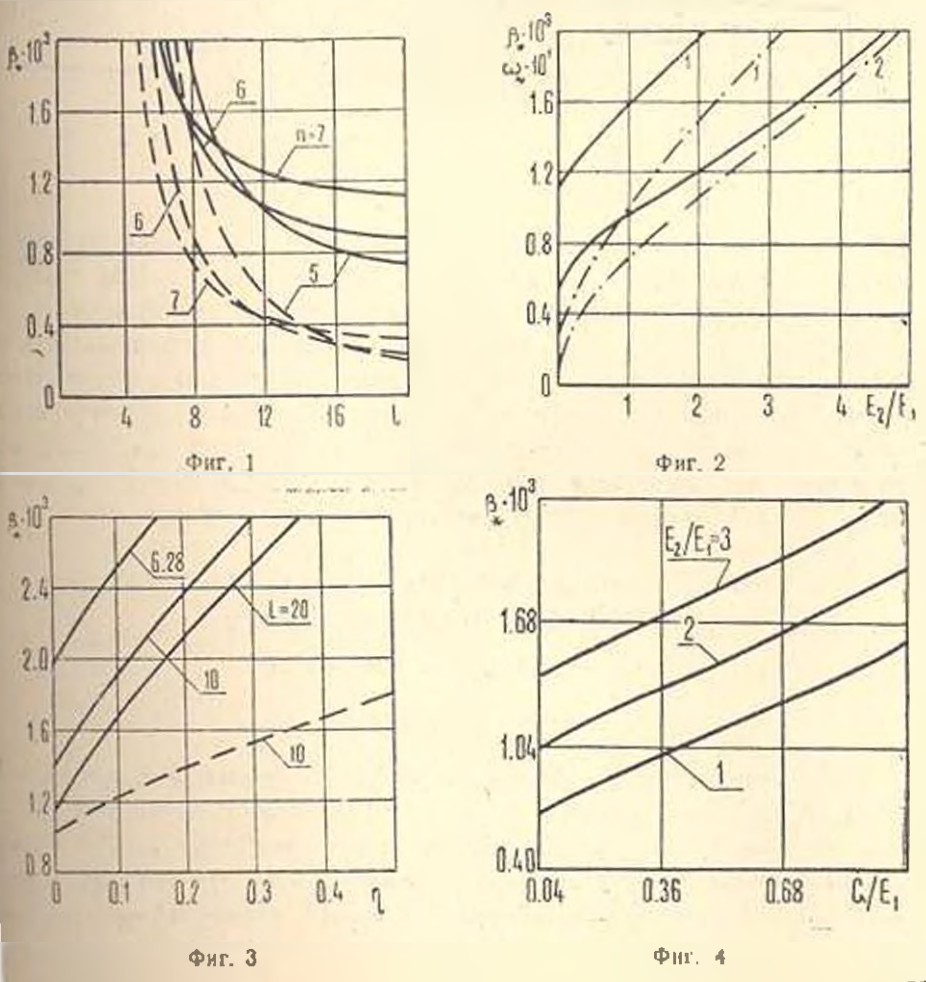
$$F_{1}(k_{1}, k_{2}, \alpha, \beta) \equiv \frac{\Delta_{2}^{(2)}}{\Delta_{1}^{(0)}} - \frac{\Delta_{2}^{(0)}}{\Delta_{1}^{(0)}} \exp(i(k_{1} - k_{2})l) = 0$$
 (3)

Стыковка производных любого порядка  $\partial u^m/\partial x^m$  от компонент скоректированных решений приводит к тому же уравнению. Определитли в (3.7) имеют вид (3.3) и (3.6). Их элементы не содержат экспиент. Кроме того, относительная длина оболочки I входит только показатель экспоненциального множителя в уравнении (3.7). И уми жается она на разность волновых чисел порождающего решения. Дляругих типов закрепления кромок оболочки определители (3.3) и 3.6 будут содержать другие степени корней. Для отыскания неизвестив параметров скорости  $\frac{\alpha}{2}$ , частоты  $\frac{\alpha}{2}$  флаттера и комплексных волновичисел  $\frac{\alpha}{2}$ ,  $\frac{\alpha}{2}$  получена система трех уравнений (2.3), (2.4) и (3.7), ра 36

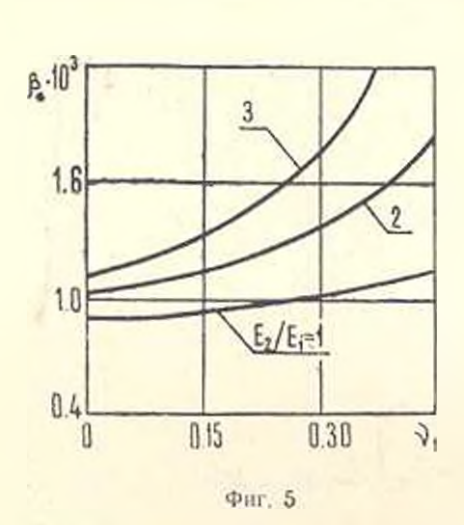
восильная системе шести вещественных уравнений. При этом из уравнений (2.7) и (2.8) имеем явные выражения для корней  $r_m$  ( $m=3,4,\ldots,8$ ).

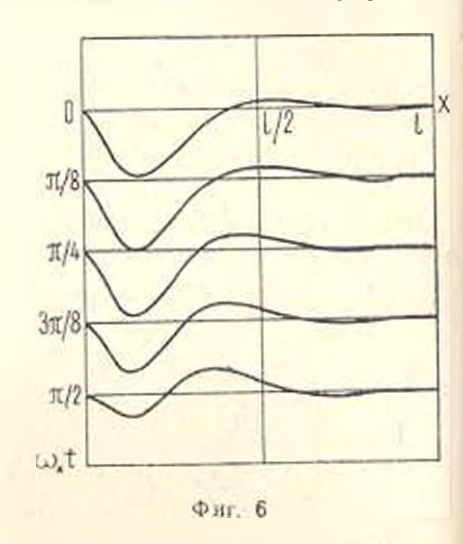
Отметим еще следующий факт. Левая часть уравнения (3.7) имеет предел при  $l \to \infty$ , только если  $M_1 = M_2$ . В этом случае значение предела левой части равно нулю и (3.7) превращается в тождество. Поэтому критические значения параметров скорости и частоты флаттера для полубесконечной оболочки при наличии залней кромки определяются из условия существования кратных корней уравнения (2.2). Полобный вывод справедлив и для пластин [2].

4. Ниже приводятся результаты вычислений для защемленной оболочки с параметрами R/h = 150,  $v_1 = 0.3$ ,  $v_2 = -0.82 \cdot 10^{-6}$  и  $\eta = 1.0$ . При этом кории характеристического уравнения (2.2) находились численным методом, а параметры скорости  $\theta_*$  и частоты флаттера получались из уравнения стыковки (3.7), равносильного двум вещественным уравнениям. Искомые параметры должны доставлять нулевой минимум абсолютной величине левой части (3.7). Минимизация осуществлялась численным методом Нелдера-Мида.



На фиг. 1 показаны зависимости параметра скорости флаттера от длины оболочки l для различных значений n числа воли в окружном направлении ( $\eta$ =0,  $G/E_1$ =0,38). Сплошные линии соответствуют  $E_2/E_1$ =2, штриховые —  $E_2/E_1$ =0,02. С увеличением длины оболочки уменьшается число воли в окружном направлении, соответствующих границе области флаттера. На фиг. 2 представлено влияние параметра  $E_2/E_1$  на величины (сплошные линии) и (штрих-пунктирные линии). Кривые 1 отвечают случаю n=7, l=6,28, кривые 2 — n=6 l=10 ( $G/E_1$ =0,38). Влияние параметра вкутреннего демифирования





тапа величину параметра скорости флаггера при различных значениях t показано на фиг. Здаля n=7,  $E_2/E_1=2$ ,  $G/E_1=0$ ,38. Штриховая кривая соответствует изотропной оболочке. Зависимости в от параметров  $G/E_1$  и  $v_1$  при различных значениях  $E_2/E_1$  показаны на фиг. 4 и 5 (t=10, n=7,  $\eta=0$ ). На фиг. 6 показаны сечения плоскостью  $\theta=0$  "формы" движения оболочки на границе области устойчивости для нормального прогиба  $u_3(x,\theta,t)=\text{Re}\{U_3(x)\exp(-i\omega t)\}\cos\theta$  при различных эначениях  $w_at$  при t=10,  $\eta=0.26$ , n=7,  $E_2/E_1=2$ ,  $G/E_1=0.38$ . Движение имеет характер бегущей волны.

## 0ՐԹՈՏՐՈՊ ԴԼԱՆԱՑԻՆ ԹԱՂԱՆԹԻ ՖԼԱՏԵՐԻ ԽՆԴՐՈՒՄ ԱՈՒՄՊՏՈՏԻԿ ՄԵԹՈԳԻ ԿԻՐԱՌՈՒՄԸ

ъ. թ. ԺԻՆԺԵՐ, թ. Մ. ԿԱԳԱՐՄԵՏՈՎ

### Ամփոփում

Ասիմպտոտիկ մեխոդի հիման վրա տրվում է շրջանային դլանային ինտ դանթի գերձայնային ֆլատերի խնդրի լուծումը։ Ցույց է տրվում մեծ երկարությամբ թաղանթների դեպքում կցման հավասարումների հաշվելի կայունությունը։ Հետազոտված է ֆլատերի արագության և հաճախականության վրա նյութի անիզոտրոպիայի պարամետրերի և ներքին դեֆորմացիայի ազդեցությունը։

# AN ASYMPTOTIC METHOD APPLIED TO FLUTTER OF AN ORTHOTROPIC CYLINDRICAL SHELL

N. I. ZHINZHER, I. M. KADARMETOV

Summary

In the paper the solution of supersonic flutter problems of a circular cylindrical shell is given on the basis of Bolotin's dynamic edge effect method. The influence of anisotropic parameters, internal damping and length of the shell on the value of velocity and frequency of the flutter has been investigated.

### ЛИТЕРАТУРА

- Болотин В. В. Красвой эффект при колеблинях упругия оболочек.—ПММ. 1960.
   № 5.
- Жинжар Н. И. Динамические красаме эффекты при аэроупругих колебаниях пластии. В кн.: V Вессоюз. съезд по теор. и прикл. механике, Алма-Ата, 1981. Аниот. докладов. - Алма-Ата: Наука, 1981.
- 3. Волотия В. В. Неконсервативные задачи теории упругой устойчивости М., Физматсии, 1961. 339 с.
- 4. Амбарцумян С. А. Общая теория анизотропных оболочек М. Наука, 1974. 446 с.

Московский энергетический институт

Поступила в редакцию 28.111 1983

Մհիսանիկա

XXXIX, Nº 2, 1986

Механика

УДК 534.014.1

# СВОБОДНЫЕ КОЛЕБАНИЯ ТРАНСВЕРСАЛЬНО-ИЗОТРОПНОИ ПЛАСТИНКИ С РАЗРЕЗОМ

АБРАМЯН Л. В.

Рассмотрены свободные колебания прямоугольной трансверсальноизотропной пластинки конечной сдвиговой жесткости. Пластинка по контуру свободно оперта и имеет прямой разрез вдоль одной из осей симметрии. Система координат выбрана так, что ось OX проходит через разрез  $(c < x \le a)$  (фиг. 1).

Целью работы является определение низших частот колебаний рассматриваемой пластинки, которые, как известно [1], с достаточной точностью могут быть найдены и без учета инерции вращения.

В работе [2] исследованы в классической постановке колебания указанной пластинки, изготовленной из изотропного материала.

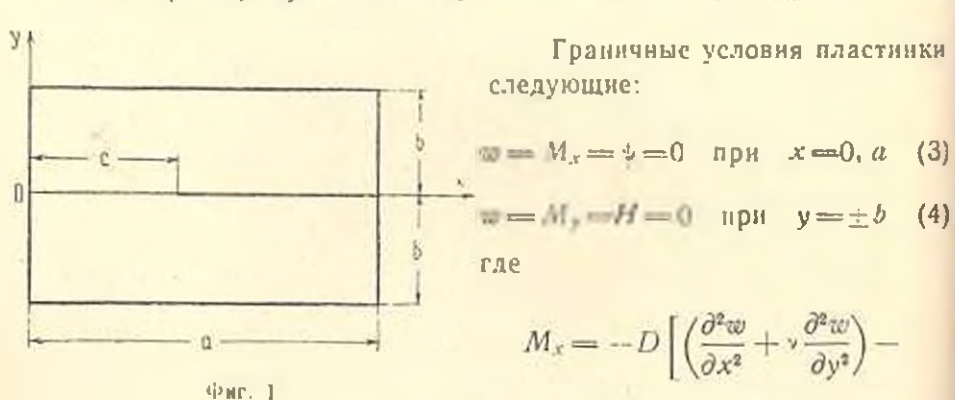
Уравнения свободных колебаний рассматриваемой пластинки можно представить в следующем виде [3]:

$$D\Delta\Delta w + \rho h(1-k\Delta)\frac{\partial^2 w}{\partial t^2} = 0, \quad \Delta\Phi - \frac{2}{k(1-\nu)}\Phi = 0; \quad k = \frac{h^2}{5(1-\nu)}\frac{G}{G}$$
 (1)

Здесь сохранены обозначения, принятые в [3], причем  $\Phi(x, y)$  новая искомая функция, через которую функции сдвига  $\varphi$  и  $\varphi$  представляются следующим образом:

$$\varphi = \frac{E}{(1-v^2)} \frac{\partial}{\partial x} \Delta w + \frac{12}{h^3} k \frac{\partial Z}{\partial x} + \frac{12}{h^3} \frac{\partial \Phi}{\partial y}$$

$$\varphi = -\frac{E}{(1-v^2)} \frac{\partial}{\partial y} \Delta w + \frac{12}{h^3} k \frac{\partial Z}{\partial y} - \frac{12}{h^3} \frac{\partial \Phi}{\partial x}, \quad Z = -\rho h \frac{\partial^2 w}{\partial t^2}$$
(2)



$$-k(1-v)\frac{\partial^{2}}{\partial y^{2}}\Delta w + k(1-v)\frac{\partial^{2}\Phi}{\partial x\partial y} - k\left[1-k(1-v)\frac{\partial^{2}\Phi}{\partial y^{2}}\right]Z$$

$$M_{y} = -D \left[ \left( \frac{\partial^{2} w}{\partial y^{2}} + v \frac{\partial^{2} w}{\partial x^{2}} \right) - k(1 - v) \frac{\partial^{2}}{\partial x^{2}} \Delta w \right] -$$

$$- k(1 - v) \frac{\partial^{3} \Phi}{\partial x \partial y} - k \left[ 1 - k(1 - v) \frac{\partial^{2}}{\partial x^{2}} \right] Z$$

$$H = -D(1 - v) \left( \frac{\partial^{3} w}{\partial x \partial y} + k \frac{\partial^{2}}{\partial x \partial y} \Delta w \right) - k(1 - v) \frac{\partial^{2} \Phi}{\partial x^{3}} + \Phi - k^{2} (1 - v) \frac{\partial^{3} Z}{\partial x \partial y} \right]$$

Формы колебании пластинки ищутся по методу Фурье в виде тригонометрических рядов

$$\overline{w} = \sum_{m=1}^{\infty} W_m(y) \sin \frac{m\pi}{a} x \sin \omega t; \quad \Phi = \sum_{m=1}^{\infty} F_m(y) \cos \frac{m\pi}{a} x \sin \omega t$$
 (5)

удовлетворяющих условиям (3).

Подставляя (5) в (1), приходим к следующей системе обыкновенвых дифференциальных уравнений:

$$W_{m}^{1V} - 2 W_{m}^{*} \left( i \cdot^{2} - \frac{kh}{2D} \rho \omega^{2} \right) + \left[ i^{2} - \rho \frac{h\omega^{2}}{D} (1 + kh^{2}) \right] W_{m} = 0$$

$$F_{m}^{*} - \left[ i^{2} + \frac{2}{k(1 - \gamma)} \right] F = 0; \quad i = m\pi/a$$
(6)

Общие решения полученных уравнений в зависимости от величины параметра т будут

$$W_{m}(y) = C_{m}^{(3)} \operatorname{sh} k_{2} y + C_{m}^{(4)} \operatorname{ch} k_{2} y + \begin{cases} C_{m}^{(1)} \operatorname{sin} k_{1} y + C_{m}^{(2)} \operatorname{cos} k_{1} y \\ C_{m}^{(1)} \operatorname{sh} k_{1} y + C_{m}^{(2)} \operatorname{ch} k_{1} y \end{cases}; \quad (1 \leqslant m \leqslant m_{1})$$

$$F_{m}(y) = C_{m}^{(5)} \operatorname{sh} k_{3} y + C_{m}^{(6)} \operatorname{ch} k_{3} y$$

$$(7)$$

где

$$k_{1} = \begin{cases} \left[\sqrt{\rho \frac{\hbar \omega^{2}}{D}} \left(1 + \rho \frac{k^{2}\hbar \omega^{2}}{4D}\right) - \left(\lambda^{2} - \rho \frac{k\hbar \omega^{2}}{2D}\right)\right]^{1/2} & (1 \leqslant m \leqslant m_{1}) \\ \left[-\sqrt{\rho \frac{\hbar \omega^{2}}{D}} \left(1 + \rho \frac{k^{2}\hbar \omega^{2}}{4D}\right) + \left(\lambda^{2} - \rho \frac{k\hbar \omega^{2}}{2D}\right)\right]^{1/2} & (m > m_{1}) \end{cases}$$

$$k_{2} = \left[\sqrt{\rho \frac{\hbar \omega^{2}}{D}} \left(1 + \rho \frac{k^{2}\hbar \omega^{2}}{4D}\right) + \left(\lambda^{2} - \rho \frac{k\hbar \omega^{2}}{2D}\right)\right]^{1/2}, \quad k_{3} = \left[\lambda^{2} + \frac{2}{k(1 - \nu)}\right]^{1/2}$$

$$(8)$$

Здесь  $m_1$  — целая положительная величина, зависящая от параметров пластинки.

Постоянные интегрирования  $G_{\infty}^{\infty} = G_{\infty}^{\infty}$  определяются из граничных условий пластинки на краю y = b (4) и условий вдоль оси OX. И так как формулировка последних зависит от формы колебаний пластинки, то симметричные и антисимметричные колебания рассмотрены в отдельности.

1. Симметричные колебания. Условия вдоль оси у = 0 буд ут

$$\partial w/\partial y = N, = H = 0. \quad (0 \le x \le c)$$

$$M_y = N_y = H = 0, \quad (c \le x \le a)$$
где
$$N_y = -D \frac{\partial}{\partial y} \Delta w - \frac{\partial \Phi}{\partial x} - k \frac{\partial Z}{\partial y}$$

(и здесь надо полагать  $Z = -sh\partial^2 w/\partial t^2$ ).

После удовлетворення условням (4) и (9) получаем следующие парные уравнения:

$$\sum_{m=1}^{1} C_{m}^{(2)} \cos k_{1} b \frac{A}{B} \sin \frac{m\pi}{a} x + \sum_{m=m_{1}+1}^{\infty} C^{(2)} \cosh k_{1} b \frac{A}{B} \sin \frac{m\pi}{a} x = 0, (0 \le x \le c)$$

$$\sum_{m=1}^{\infty} C_{m}^{(2)} \cos k_{1} b \frac{C}{B} \sin \frac{m\pi}{a} x + \sum_{m=m_{1}+1}^{\infty} C_{m}^{(2)} \cosh k_{1} b \frac{C}{B} \sin \frac{m\pi}{a} x = 0, (c \le x \le a)$$
(10)

где

$$A = (M_1 - M_1)[k_1(H_3N_2 - N_3H_2) + k_2(H_1N_3 - H_3N_1)]$$

$$B = \frac{M_3}{\sinh k_3 b} (H_1N_2 - H_2N_1) + (M_1 - M_2)(H_3N_2 - H_2N_3) \times \begin{cases} \sinh_1 b & (1 \le m \le m_1) \\ \sinh_1 b & (m > m_1) \end{cases}$$

$$C = M_3(N_1H_2 - H_1N_2) \left[ \frac{1}{\sinh k_1 b} \left( \frac{M_2}{\cosh k_2 b} - \frac{M_1}{\cosh k_1 b} \right) + \frac{M_1 - M_2}{\sinh k_3 b} \right] + (M_1 - M_0) \left[ \frac{M_1(H_3N_2 - H_2N_3)}{\cosh k_1 b} + \frac{M_2(N_3H_1 - H_3N_1)}{\cosh k_2 b} \right] + (1 \le m \le m_1)$$

$$C = M_3(N_1H_2 - H_1N_2) \left[ \frac{1}{\sinh k_3 b} \left( \frac{M_2}{\cosh k_2 b} - \frac{M_1}{\cosh k_2 b} \right) + \frac{M_1 - M_2}{\sinh k_3 b} \right] + (M_1 - M_2) \left[ \frac{M_1(H_3N_2 - H_2N_1)}{\cosh k_2 b} + \frac{M_2(N_2H_1 - H_3N_1)}{\cosh k_2 b} \right] + (m > m_1)$$

и соотношения

$$C^{(1)} = C^{(2)} \frac{(M_2 - M_1)(H_1 N_1 - H_2 N_1)}{B} \times \left\{ \begin{array}{l} \cos k_1 b & (1 \leqslant m \leqslant m_1) \\ \cosh k_1 b & (m > m_1) \end{array} \right.$$

$$C^{(3)}_m = C^{(1)}_m \frac{N_2 H_1 - H_3 N_1}{H_3 N_2 - H_2 N_3}$$

$$C^{(4)}_m = C^{(1)}_m \left[ \sin k_2 b (M_2 - M_1)(N_3 H_1 - H_3 N_1) + \right.$$

$$+ \frac{M_1}{\sinh k_3^{-1}} \left( N_1 H_2 - H_2 N_1 \right) \left[ (M_2 - M_1)(H_2 N_3 - H_3 N_2) \cosh k_2 b \right]^{-1} \right]$$

$$C^{(5)}_m = C^{(1)}_m \coth k_3 b \frac{H_1 N_2 - H_2 N_3}{H_2 N_2 - H_2 N_3} ; \quad C^{(6)}_m = C^{(1)}_m \frac{H_2 N_1 - N_3 H_1}{H_3 N_2 - H_2 N_3}$$

$$C^{(5)}_m = C^{(1)}_m \coth k_3 b \frac{H_1 N_2 - H_2 N_3}{H_2 N_2 - H_2 N_3} ; \quad C^{(6)}_m = C^{(1)}_m \frac{H_2 N_1 - N_3 H_1}{H_3 N_2 - H_2 N_3}$$

В (11) и (12) введены следующие обозначения:

$$H_1 = (1-v)(kN_1 - Dk_1)\lambda; \quad H_2 = (1-v)(kN_2 - Dk_2)\lambda; \quad H_3 = 1 + kv^2(1-v)$$

$$\begin{split} M_1 &= D \left\{ v k^2 + k \left[ \lambda^4 (1 - v) - \rho \frac{h w^2}{D} (1 + k \lambda^2) \right] + k_1^2 [1 + k \lambda^2 (1 - v)] \right\} \\ M_2 &= D \left\{ v k^2 + k \left[ \lambda^4 (1 - v) - \rho \frac{h w^2}{D} (1 + k \lambda^2) \right] - k_2^2 [1 + k \lambda^2 (1 - v)] \right\} \\ M_3 &= \lambda k k_3 (1 - v) \\ N_1 &= k_1 D \left( \lambda^2 - \rho \frac{k h}{D} \omega^2 + k_1^2 \right); \quad N_2 &= k_2 D \left( \lambda^2 - \rho \frac{h h}{D} \omega^2 - k_2^2 \right); \quad N_3 &= \lambda k_3 D \left( \lambda^2 - k_2^2 \right); \quad N_3 &= \lambda k_3 D \left( \lambda^2 - k_2^2 \right); \quad N_3 &= \lambda k_3 D \left( \lambda^2 - k_2^2 \right); \quad N_3 &= \lambda k_3 D \left( \lambda^2 - k_2^2 \right); \quad N_3 &= \lambda k_3 D \left( \lambda^2 - k_2^2 \right); \quad N_3 &= \lambda k_3 D \left( \lambda^2 - k_2^2 \right); \quad N_3 &= \lambda k_3 D \left( \lambda^2 - k_2^2 \right); \quad N_3 &= \lambda k_3 D \left( \lambda^2 - k_2^2 \right); \quad N_3 &= \lambda k_3 D \left( \lambda^2 - k_2^2 \right); \quad N_3 &= \lambda k_3 D \left( \lambda^2 - k_2^2 \right); \quad N_3 &= \lambda k_3 D \left( \lambda^2 - k_2^2 \right); \quad N_3 &= \lambda k_3 D \left( \lambda^2 - k_2^2 \right); \quad N_3 &= \lambda k_3 D \left( \lambda^2 - k_2^2 \right); \quad N_3 &= \lambda k_3 D \left( \lambda^2 - k_2^2 \right); \quad N_3 &= \lambda k_3 D \left( \lambda^2 - k_2^2 \right); \quad N_3 &= \lambda k_3 D \left( \lambda^2 - k_2^2 \right); \quad N_3 &= \lambda k_3 D \left( \lambda^2 - k_2^2 \right); \quad N_3 &= \lambda k_3 D \left( \lambda^2 - k_2^2 \right); \quad N_3 &= \lambda k_3 D \left( \lambda^2 - k_2^2 \right); \quad N_3 &= \lambda k_3 D \left( \lambda^2 - k_2^2 \right); \quad N_3 &= \lambda k_3 D \left( \lambda^2 - k_2^2 \right); \quad N_3 &= \lambda k_3 D \left( \lambda^2 - k_2^2 \right); \quad N_3 &= \lambda k_3 D \left( \lambda^2 - k_2^2 \right); \quad N_3 &= \lambda k_3 D \left( \lambda^2 - k_2^2 \right); \quad N_3 &= \lambda k_3 D \left( \lambda^2 - k_2^2 \right); \quad N_3 &= \lambda k_3 D \left( \lambda^2 - k_2^2 \right); \quad N_3 &= \lambda k_3 D \left( \lambda^2 - k_2^2 \right); \quad N_3 &= \lambda k_3 D \left( \lambda^2 - k_2^2 \right); \quad N_3 &= \lambda k_3 D \left( \lambda^2 - k_2^2 \right); \quad N_3 &= \lambda k_3 D \left( \lambda^2 - k_2^2 \right); \quad N_3 &= \lambda k_3 D \left( \lambda^2 - k_2^2 \right); \quad N_3 &= \lambda k_3 D \left( \lambda^2 - k_2^2 \right); \quad N_3 &= \lambda k_3 D \left( \lambda^2 - k_2^2 \right); \quad N_3 &= \lambda k_3 D \left( \lambda^2 - k_2^2 \right); \quad N_3 &= \lambda k_3 D \left( \lambda^2 - k_2^2 \right); \quad N_3 &= \lambda k_3 D \left( \lambda^2 - k_2^2 \right); \quad N_3 &= \lambda k_3 D \left( \lambda^2 - k_2^2 \right); \quad N_3 &= \lambda k_3 D \left( \lambda^2 - k_2^2 \right); \quad N_3 &= \lambda k_3 D \left( \lambda^2 - k_2^2 \right); \quad N_3 &= \lambda k_3 D \left( \lambda^2 - k_2^2 \right); \quad N_3 &= \lambda k_3 D \left( \lambda^2 - k_2^2 \right); \quad N_3 &= \lambda k_3 D \left( \lambda^2 - k_2^2 \right); \quad N_3 &= \lambda k_3 D \left( \lambda^2 - k_2^2 \right); \quad N_3 &= \lambda k_3 D \left( \lambda^2 - k_2^2 \right); \quad N_3 &= \lambda k_3 D \left( \lambda^2 - k_2^2 \right); \quad N_3 &= \lambda k_3 D \left( \lambda^2 - k_2^2 \right); \quad N_3 &= \lambda k_3 D \left( \lambda^2 - k_2^2 \right); \quad N_3 &= \lambda k_3 D \left( \lambda$$

(В выражениях  $M_1$ ;  $N_1$  в сдвоенном знаке  $_{\bullet}$ - $_{\bullet}$ - соответствует случию  $1 \le m \le m_1$ ).

Вводя теперь обозначения

$$X_{m} = C_{m}^{(2)} \frac{1}{m} \frac{C}{B} \times \begin{cases} \cos k_{1}b & (1 \leq m \leq m_{1}) \\ \cosh k_{1}b & (m > m_{1}) \end{cases}$$

$$\alpha = \frac{\pi x}{a}; \quad \beta = \frac{\pi c}{a}$$
(13)

После некоторых преобразований парные уравнения (10) приводим к виду

$$\sum_{m=1}^{\infty} x_m (1 - N_m) \sin m\alpha = 0 \qquad (0 \le \alpha \le 3)$$

$$\sum_{m=1}^{\infty} m x_m \sin m\alpha = 0 \qquad (3 < \alpha \le 7)$$

$$N_m = 1 - m \frac{A}{2}$$
(14)

где

Для выяснения поведения  $N_m$  при  $m - \infty$  разложим выражения  $k_t$  (8), входящие в  $N_m$ , в степенные ряды, сохраняя в них первые два члена. Проделав указанную процедуру, получим

$$k_1 = \lambda \left(1 - \frac{kh\omega^2}{2Dh^2} \rho - \frac{1}{2kh^2}\right); \quad k_2 = \lambda \left(1 + \frac{1}{2kh^2}\right), \quad k_3 = \lambda \left(1 + \frac{1}{k(1-\nu)h^2}\right)$$
(15)

Используя (15), можно показать, что  $N_n$  при возрастании m имеет экспоненциальный порядок убывания

$$N_m \approx \exp\left(-m\frac{2\pi b}{a}\right) \tag{16}$$

Здесь это не показано потому, что хотя это и элементарно, но весьма громоздко.

В дальнейшем парные уравнения (14) сводятся, как показано в [2], к следующей бесконсчной системе линейных однородных алгебраических уравнений:

$$\sum_{m=1}^{\infty} a_{nm} N_m X_m - X_n = 0 \qquad (n = 1, 2, 3, \ldots)$$
 (17)

где

$$a_{nm} = \frac{m}{2(n^2 - m^2)_{R}} \{ (n - m) [P_{m-1}(\cos\beta) P_{n-1}(\cos\beta) - P_{m}(\cos\beta) P_{n}(\cos\beta)] + (n + m) [P_{n-1}(\cos\beta) P_{m}(\cos\beta) + P_{n}(\cos\beta) P_{m-1}(\cos\beta)] \}$$

$$a_{nn} = \frac{1}{4} \{ 2 - 2P_{n-1}(\cos\beta) P_{n}(\cos\beta) + P_{n-1}(\cos\beta) - P_{n}(\cos\beta) - P_{n}(\cos\beta) - P_{n}(\cos\beta) - P_{n}(\cos\beta) \}$$

$$-4 \sum_{n=1}^{n-1} P_{n}(\cos\beta) [\cos\beta P_{n}(\cos\beta) - P_{n+1}(\cos\beta)] \}$$

Для существования нетривнальных решений коэффициентов необходимо, чтобы определитель бесконечной системы (17) равиялся пулю. Из этого условия и определяются собственные частоты. Можно показать, что при условии (16) указанный определитель нормальный. Это позволяет использовать для определения частот метод редукции.

 Антисимметричные колебания. В этом случае условия по оси у = 0 будут

$$w = M_y = H = 0 \quad (0 < x < a)$$

$$N_y = M_y = H = 0 \quad (c < x < a)$$
(18)

Удовлетворяя условням (18) и (4), получаем

$$C_{m}^{(1)} = 0; \qquad C_{m}^{(2)} = C_{m}^{(2)} \frac{D}{M_{3}} \times \begin{cases} -(k_{1}^{2} + k_{2}^{2}) & (m > m_{1}) \\ (k_{1}^{2} - k_{2}^{2}) & (m > m_{1}) \end{cases}$$

$$C_{m}^{(2)} = C_{m}^{(1)} \frac{M_{1}}{A \operatorname{ch} k_{3} b} \times \begin{cases} -(k_{1}^{2} + k_{2}^{2}) & (m > m_{1}) \\ (k_{1}^{2} - k_{2}^{2}) & (m > m_{1}) \end{cases}$$

$$C_{m}^{(2)} = C_{m}^{(1)} \frac{M_{1}}{A \operatorname{ch} k_{3} b} \times \begin{cases} -(k_{1}^{2} + k_{2}^{2}) & (m > m_{1}) \\ (k_{1}^{2} - k_{2}^{2}) & (m > m_{1}) \end{cases}$$

$$C_{m}^{(3)} = -\frac{1}{M_{2} \operatorname{ch} k_{2} b} \times \begin{cases} C_{m}^{(1)} M_{1} \sin k_{1} b + C_{m}^{(2)} M_{1} \cos k_{1} b - M_{2} \operatorname{ch} k_{2} b - (M_{1} - M_{2}) \operatorname{ch} b \\ C_{m}^{(1)} M_{1} \sin k_{1} b + C_{m}^{(2)} M_{1} \operatorname{ch} k_{1} b - M_{2} \operatorname{ch} k_{2} b - (M_{1} - M_{2}) \operatorname{ch} k_{3} b \end{cases}$$

а также

$$\sum_{m=1}^{L} \cos b \frac{M}{M} \left[ 1 + \frac{M_3}{A} \left( \frac{\cos k_1 b}{\cosh k_1 b} - i \right) \left( \frac{H_1 M_2}{H_1 M_2} - \frac{H_2 M_3}{\sinh b} \right) \right] \sin \frac{m\pi}{a} x + \\
+ \sum_{m \sim m_1 \neq 1} C_m^{(1)} \sin k_1 b \frac{M}{M_2} \left[ 1 + \frac{d}{A} \left( \frac{\cosh k_1 b}{\cosh k_3 b} - 1 \right) \left( \frac{d}{\sinh k_1 b} - \frac{H_2 M_1}{\sinh k_2 b} \right) \right] \times \\
\times \sin \frac{m\pi}{a} x = 0 \qquad (19)$$

$$\sum_{m \geq 1} C_m^{(1)} \frac{\sin k_1 b}{M} \left[ \frac{M}{M_1} - \frac{M}{\sinh k_2 b} - \frac{1}{A} \left( \frac{H_1 M_2}{\sinh k_1 b} - \frac{H_2 M_1}{\sinh k_2 b} \right) \times \\
\times \left[ (M - M_1) \left( \frac{M_2 N}{\cosh k_3 b} - \frac{N}{\sinh k_2 b} \right) - M_3 \right] \frac{N}{\cosh k_3 b} - \frac{\cos k_1 b}{\cosh k_3 b} \left( \frac{N_2 M_1}{\sinh k_2 b} + \frac{N_2 M_2}{\sinh k_2 b} \right) \right]$$

$$+ \frac{N_{1}M_{2}}{|R_{1}b|} \right) \left| \left\{ \sin \frac{m\pi}{a} x + \sum_{m=m_{1}+1} C_{m}^{(1)} \frac{1}{M_{2}} \left[ \frac{N_{1}M_{2}}{\ln k_{1}b} - \frac{M_{1}}{\ln k_{2}b} - \frac{1}{\ln k_{2}b} \right] \right\} \right| \left( M_{1} - M_{2} \right) \left( \frac{M_{2}N_{3}}{\cosh k_{3}b} - \frac{M_{3}N_{2}}{\ln k_{2}b} \right) -$$

$$- M_{3} \left[ \frac{M_{1}N_{2}}{\cosh k_{3}b} - \frac{\cosh_{1}b}{\cosh k_{3}b} \left( \frac{N_{2}M_{1}}{\ln k_{2}b} - \frac{N_{1}M_{2}}{\ln k_{3}b} \right) \right] \left| \sin \frac{m\pi}{a} x = 0 \quad (c \le x \le a)$$

где

$$A = (M_1 - M_2) \left( \frac{H_2 M_2}{\cosh k_3 b} - \frac{H_2 M_3}{\sinh k_2 b} \right) - M_3 \frac{H_2 M_2}{\cosh k_3 b}$$

$$= \left( \frac{M_3}{\cosh k_3 b} \left( \frac{H_2 M_1}{\sinh k_2 b} + \frac{H_1 M_2}{\lg k_1 b} \right) - \left( 1 \le m \le m_1 \right) \right)$$

$$= \left( \frac{\cosh_1 b}{\cosh_3 b} \left( \frac{H_2 M_1}{\sinh k_2 b} - \frac{H_1 M_2}{\sinh k_1 b} \right) - \left( m > m_1 \right) \right)$$

Дифференцируя дважды по x первое из уравнений (19) и выполняя преобразования, аналогичные преобразованиям первого пункта, опять приходим к системе (14). Для  $N_m$  в этом случае имеем

$$1 - \frac{m}{M_{2} \ln k_{3} b} \left\{ (k^{2} - k^{2}) \left( \frac{H_{3} M_{2}}{\operatorname{ch} k_{3} b} - \frac{1}{\operatorname{th} k_{2} b} \right) + M_{3} \left[ \left( \frac{\cos k_{1} b}{\operatorname{ch} k_{3} b} - 1 \right) \times \right. \right.$$

$$\left. \left( \frac{H_{1} M_{2}}{\operatorname{tg} k_{1} b} - \frac{H_{2} M_{1}}{\operatorname{th} k_{2} b} \right) - \frac{\cos k_{1} b}{\operatorname{ch} k_{3} b} \left( \frac{H_{2} M_{1}}{\operatorname{th} k_{2} b} - \frac{H_{2} M_{2}}{\operatorname{ch} k_{3} b} \right) \right] \times$$

$$\left. \left| \frac{M_{2} (H_{3} N_{3} - N_{3} H_{3})}{\operatorname{tg} k_{1} b} - \frac{M_{1} (H_{3} N_{3} - N_{3} H_{4})}{\operatorname{th}} - \frac{M_{2} (H_{2} N_{1} - N_{2} H_{1})}{\operatorname{M}_{1} - M_{2}} \times \right. \right.$$

$$\times \left| M_{1} - \frac{\operatorname{cth} k_{2} b}{\operatorname{ch} k_{3} b} - M_{2} - \frac{H_{2} M_{3}}{\operatorname{ch} k_{3} b} - \left( M_{1} - M_{2} \right) - \frac{1}{\operatorname{tg} k_{1} b} \right. \right| \right|^{-1} \quad (1 \leqslant m \leqslant m_{1}) \quad (20)$$

$$N_{m} - 1 - \frac{m}{M_{2} \ln k_{3} b} \left[ \left( k_{2}^{2} - \frac{1}{1} - \frac{1}{\operatorname{cth} k_{3} b} - \frac{H_{2} M_{3}}{\operatorname{th} k_{2} b} \right) + M_{3} \left. \left[ \left( \frac{\operatorname{ch} k_{1} b}{\operatorname{ch} k_{3} b} - \frac{1}{1} \right) \times \right.$$

$$\left. \left( \frac{H_{1} M_{2}}{\operatorname{th} k_{3} b} - \frac{H_{3} M_{3}}{\operatorname{th} k_{2} b} - \frac{H_{2} M_{3}}{\operatorname{th} k_{2} b} - \frac{H_{3} M_{2}}{\operatorname{ch} k_{3} b} \right. \right] \right.$$

$$\left. \left( \frac{H_{1} M_{2}}{\operatorname{th} k_{3} b} - \frac{H_{3} M_{3}}{\operatorname{th} k_{2} b} - \frac{H_{3} M_{3}}{\operatorname{ch} k_{3} b} \right. \right.$$

$$\left. \left( \frac{H_{3} M_{3} - H_{3} M_{3}}{\operatorname{th} k_{3} b} - \frac{H_{3} M_{3}}{\operatorname{th} k_{3} b} - \frac{H_{3} M_{2}}{\operatorname{ch} k_{3} b} \right. \right] \right.$$

$$\left. \left( \frac{\operatorname{ch} k_{3} b}{\operatorname{th} k_{3} b} - \frac{H_{3} M_{3}}{\operatorname{th} k_{2} b} - \frac{H_{3} M_{3}}{\operatorname{th} k_{3} b} \right. \right.$$

$$\left. \left( \frac{\operatorname{ch} k_{3} b}{\operatorname{ch} k_{3} b} - M_{3} - \frac{\operatorname{cth} k_{3} b}{\operatorname{th} k_{2} b} - \frac{H_{3} M_{3}}{\operatorname{th} k_{3} b} \right. \right.$$

$$\left. \left( \frac{\operatorname{ch} k_{3} b}{\operatorname{ch} k_{3} b} - M_{3} - \frac{\operatorname{cth} k_{3} b}{\operatorname{th} k_{2} b} - \frac{\operatorname{ch} k_{3} b}{\operatorname{th} k_{3} b} \right. \right.$$

$$\left. \left( \frac{\operatorname{ch} k_{3} b}{\operatorname{ch} k_{3} b} - \frac{\operatorname{ch} k_{3} b}{\operatorname{th} k_{3} b} - \frac{\operatorname{ch} k_{3} b}{\operatorname{th} k_{3} b} \right. \right. \right]$$

$$\left. \left( \frac{\operatorname{ch} k_{3} b}{\operatorname{ch} k_{3} b} - \frac{\operatorname{ch} k_{3} b}{\operatorname{ch} k_{3} b} - \frac{\operatorname{ch} k_{3} b}{\operatorname{ch} k_{3} b} \right. \right]$$

$$\left. \left( \frac{\operatorname{ch} k_{3} b}{\operatorname{ch} k_{3} b} - \frac{\operatorname{ch} k_{3} b}{\operatorname{ch} k_{3} b} - \frac{\operatorname{ch} k_{3} b}{\operatorname{ch} k_{3} b} \right) \right. \right.$$

$$\left. \left( \frac{\operatorname{ch} k_{3} b}{\operatorname{ch} k_{3} b} - \frac{\operatorname{ch} k_{3} b}{\operatorname{ch} k_{3} b$$

И в этом случяе, используя (15), можно показать, что  $N_m$  при  $m \to \infty$  имеет экспоненциальный порядок убывания.

3. Численные результаты. В таблице приведены первые безразмерные основные частоты  $100 = (\rho h^5/D)^{1/2}$  колебаний пластинок с параметрами  $h/b=0,1; \ \nu=0,25; \ G\cdot G'=2 = c$  разным отношением сторон a/b и разной линой разрем  $\left(8=0; \ \frac{\pi}{-}; \ \frac{3\pi}{-}; \ \pi\right)$ . В каждой клет-

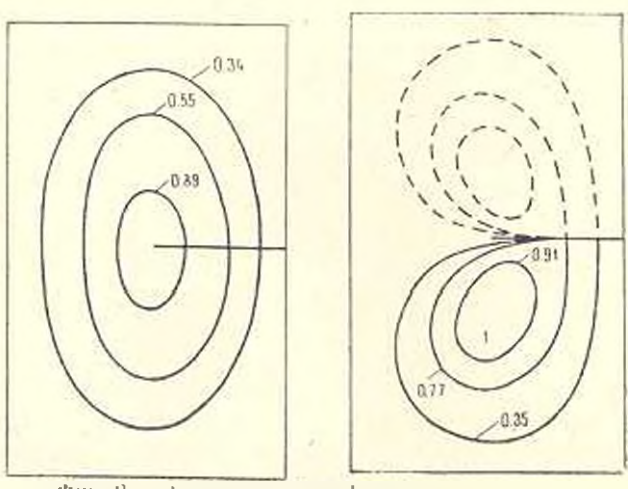
ке таблицы сверху помещена частота, соответствующая симметричной форме колебаний, а снизу—антисимметричной. Там же приведены порядки определителей, при решении которых получены соответствующие собственные частоты с достаточной точностью (расхождение результатов двух последних итераций не превышает 1 %).

Сопоставление приведенных результатов с частотами, найденными в [2], показывает, что последние всегда больше и что это расхождение результатов с увеличением 3 растет.

Ταδλυμα

alb	Порядок опред.	3≔0	3= -	$3 = \frac{1}{2}$	$\beta = \frac{3\pi}{4}$	β≕π
0+1	4	54+883	51,972 55,404	\$5,211 \$8,066	55,355 60, <b>26</b> 2	55,375 60,525
0,6	4	27,244	27,340 27,750	27,587 30,540	27,733 33,318	27,753 3 <b>3,6</b> 71
0,8	4	16,579	16,674 17,047	16+924 19+764	17.072 22.996	17,092 23,396
1	10	11.398	11.513 11.668	11,779 13,720	11,932 17,527	11,950 18,483
1.5	10	6,045	6,185 6,240	6,513 7,747	6.709 12.193	6.732 13.557
2	10	4,031	4,195 4,208	4 · 590 5 · 447	4.842 10.005	4 · 871 11 · 828
5	10	2,415	2.514 2.626	3,117 3,304	3.488 7.227	3,531 10,600

Как видно из таблицы, с уменьшением ллины разреза (увеличение 3) собственные частоты увеличиваются, причем частоты антисимметричных форм увеличиваются более резко.



Фиг. 2. а) симметричная форма б) антисимметричная форма

В том случае, когда разрез проходит по всей длине пластинки (3=0), рассматриваемая пластинка делится на две пластинки с тремя шариприо опертыми и одним свободным краем, граничные условия которых вдоль свободных краев при симметричных и антисимметричных колебаниях совпадают. Поэтому для обеих форм колебаний в этом случае получаются одни и те же частоты, которые при разветвляются на симметричные и антисимметричные: и чем больше 3, тем больше развица между этими частотами.

На фиг. 2 в виде линий равных прогибов приведены первые формы симметричных и антисимметричных колебаний, полученные для иластинки с отношением сторон a/b = 0,8 при 8 = π/2. Цифры на кривых показывают отношение прогиба на данной линии к максимальному прогибу пластинки.

### ձևՂՔՈՎ ՏՐԱՆՍՎԵՐՍԱԼ ԻԶՈՏՐՈՊ ՍԱԼԻ ԱԶԱՏ ՏԱՏԱՆՈՒՄՆԵՐԸ

լ. Վ. ԱԲԻԱՀԱՄՅԱՆ

## Ամփոփում

Ուսումնասիրվում է սահրի վերջավոր կոշտուիլուն ունեցող աղատ հենված ուղղանկյուն արանսվերտալ իզոտրոպ սալի սեփական տատանումները, երբ սալն ունի ճեղջ սիժետրիայի առանցջներից ժեկի ուղղությամբ։ Ճեղջով անցնող առանցջներից ժեկի ուղղությամբ։ Ճեղջով անցնող առանցջի նկատմամբ սիմետրիկ և ոչ սիմետրիկ տատանումները դիտարկվում են առանձին-առանձին։ Տատանումների հաճախականությունների որոշումը բերվում է անվերջ մատրիսայի սեփական արժերները դտնելուն։ Կատարված է թվային հետագոտություն։

# THE FREE VIBRATIONS OF A TRANSVERSAL ISOTROPIC PLATE WITH A CUT

L. V. ABRAMIAN

Summary

The free vibrations of free supported along the sides of a rectangular transversal isotropic plate with finite shear stiffness with the right cut along the longitudinal axis of symmetry are considered. The symmetric and antisymmetric forms of vibration in relation to the axis with the cut are differentiated.

The question of determining the frequency of vibrations are reduced to the computing of the eigenvalues of matrix of coefficients of an infinite system of linear homogeneous equations. Numerical results are given.

#### ЛИТЕРАТУРА

1. Тимошенко С. П. Колебання в инженерном деле. М.: Физматгиз, 1959.

2. Абрамян Л. В., Мовенсян Л. А. Свободные колебания прямоугольной пластинки с разрезом.—Докл. АН АрмССР, 1981, т. 73, № 4.

3. Амбарцумян С. А. Теория анизотронных пластин, М.: Физматгиз, 1967.

Ленинаканский филиал Ерепанского политехнического института им. К. Маркса

Поступила в редакцию 2.X11.1983

## 2U84U4UU UU2 9P8ПРВЯРЬ U4U9bUPU8P 8bQb4U9PP ИЗВЕСТИЯ АКАДЕМИИ НАУК АРМЯНСКОЯ ССР

Մեխանիկա

XXXIX, № 2, 1986

Механика

УДК 539.375

## ДВИЖЕНИЕ СО СВЕРХЗВУКОВОЙ СКОРОСТЬЮ СТУПЕНЧАТОЙ НАГРУЗКИ ПО ПОЛУПРОСТРАНСТВУ С ИЗМЕНЯЮЩИМИСЯ УПРУГИМИ МОДУЛЯМИ

выковцев г. и., колокольчиков А. в., колокольчиков В. в.

Рассмотрим упругое полупространство, для которого связь напряжения он с деформациями ен имеет вид

$$z_{ij} = \lambda e_{Ai} \delta_{ij} + 2\mu e_{ij} \qquad (1)$$

где  $k_H$  — символы Кронекера, а относительно упругих параметров Ламе  $\lambda$  и  $\mu$  предполагается их зависимость от возраста  $\tau$  стареющего материала в соответствии с моделью H. X, Арутюняна [A]

$$\lambda = \lambda_{\infty} + (\nu_0 - \lambda_{\infty}) \exp(-3\tau), \ \mu = \mu_{\infty} + (\mu_0 - \mu_{\infty}) \exp(-3\tau)$$
 (2)

Здесь  $t_0$ ,  $\mu_0$ ,  $t_0$ ,  $\mu_0$  — значения параметров Ламе в возрасте  $\tau = 0$  и  $\tau = \infty$ , а 1/3 — время старения. Плотность материала также предполагается изменяющейся с возрастом  $\tau$ 

$$\rho = \rho_{\infty} + (\rho_0 - \rho_{\infty}) \exp(-\beta \tau) \tag{3}$$

Старение вызывается изменением структуры и состояния материала, которое сопутствует движению нагрузки. Оно может сопровождаться разрывом связей, охрупчиванием окрестности приложения нагрузки, неоднородным разогревом полупространства, излучением от движущейся нагрузки. Введем декартову систему координат с центром в начале движущейся нагрузки. Ось х направим по поверхности полупространства по движению нагрузки, ось у перпендикуляриа поверхности полупространства и направлена во внешнюю его сторону. Полярный угол з в плоскости принимает значение з О на поверхности под равномерно распределенной нагрузкой Р и значение з на свободной части поверхности. Рассмотрим автомодельное изменение моделей и плотности, сопутствующее движению нагрузки. Тогда возраст материала т будет зависеть от полярного угла «.

Пусть в минимальное значение угла в, не подверженного старению. Максимальное старение будет в плоскости приложения нагрузки при  $\alpha = 0$ . При постоянной скорости распространения в глубину полупространства процесса старения зависимость возраста материала от угла  $\alpha = 0$  линейная

$$\tau = a(\alpha - \alpha_0), \quad \alpha = \text{const}$$
 (4)

Заметим, что модель (2)—(4) описывает неоднородное старение, происхолящее в одном и том же материале. Впервые такой важный класс задач был рассмотрен в работе [2].

Ниже ограничимся для простоты случаем малого старения

$$|1-h_{\alpha}/h_{0}|\ll 1$$
,  $|1-\mu_{\alpha}/\mu_{0}|\ll 1$ ,  $|1-\rho_{\alpha}/\rho_{0}|\ll 1$  (5)

Уравнения движения и формулы Коши имеют следующий вид:

$$\sigma_{ij} = c \partial v_{ij} \partial t = 0, \quad v_i = \partial u_i / \partial t \tag{6}$$

$$\epsilon_{ij} = (u_{i,j} + u_{j,i})/2 \tag{7}$$

Граничные условия в отсутствие трения запишутся так:

$$\sigma_{tt} n_{t} = -P n_{t}, \ n_{t} (0, 1, 0) \quad x < 0, \quad y = 0$$
 (8)

$$\sigma_{ij}n_j = 0$$
  $y = 0$ ,  $x > 0$ ;  $x = x_1 - ct_1$   $y = x_2$ ,  $z = x_3$  (9)

Здесь с—постоянная скорость движения нагрузки, а х. координата, связанная с полупространством. В задаче плоского деформирования, удовлетворяющей (8), (9), решение будем искать в виде, удовлетворяющем условиям

$$v_3 = 0, \quad e_{33} = e_{13} = 0, \quad \sigma_{13} = 0$$
 (10)

Рассмотрим процесс установившегося деформирования. Следуя [3—5], где приволится решение упругой задачи, найдем автомодельное решение для стареющего полупространства, когда все искомые величины зависят только от угла  $\alpha = \operatorname{arcig}(y/x)$ , причем

$$\frac{\partial}{\partial x_i} = \frac{\sin^2 x}{y} \, \delta_i \frac{d}{dx} \quad \frac{\partial}{\partial t} = \frac{c \sin^2 x}{y} \, \frac{d}{dx}. \quad \lambda_i = \lambda_i \cot y x - \lambda_i$$
 (11)

С учетом (11) уравнение движения (6) примет вид

$$s_{ij}\delta_{j} = gcv_{j} = 0 \tag{12}$$

Здесь и ниже штрихом обозначается дифференцирование по «. Модель (2)—(4) допускает автомолельное решение. Дифференцируя (1) по г. с учетом (11), второго равенства (6), а также формул Коши (7), получим

$$co_{ij} = \delta_{ij} \delta_k (\kappa v_k)' + \delta_i (\mu v_i)' + \delta_j (\mu v_i)'$$
(13)

где  $\iota$  и  $\mu$  по (2)-(4) зависят от угла  $\alpha$ .

Подставляя (13) в (12), найдем, что

$$\partial_t \partial_u [(\lambda + \mu) v_u]' + (\mu v_t)' / \sin^2 \alpha - o c v_t = 0$$
 (14)

Будем находить решение в случае малого старения (5) методом возмущений, ограничиваясь первым приближением. По (5) малыми параметрами являются  $\mu'/\mu_0$ ,  $(\rho-\rho_0)/\rho_0$ . В нулевом приближении соотношение (14) записывается в форме

$$(\lambda + \mu) \frac{\partial}{\partial t} v^{(0)} + \mu v^{(0)} / \sin^2 \theta - \rho c^2 v^{(0)}_i = 0, \quad i = 1, 2$$
 (15)

Злесь оф — нулевое приближение скоростей перемещений. Приравни-50 вая нулю определитель системы (15) относительно неизвестных  $v_1^{(0)}$  и  $v_2^{(0)}$ , получим два значения углов  $\alpha=\alpha_1$  и  $\alpha=\alpha_2$ , определяющие фронты продольной и поперечной волны

$$\sin \alpha_1 = c_3/c, \quad c_1^2 = [\lambda(\alpha_1) + 2\mu(\alpha_1)]/\rho(\alpha_1)$$
 (16)

$$\sin \alpha_2 = c_3/c, \quad c_2^2 = \mu(\alpha_2)/\rho(\alpha_2) \tag{17}$$

Для углов а, не равных а, н з, определитель однородной системы (15) не равен нулю, а потому для них решение (15) тривиально

$$v_{i+1}^{(i+1)} = 0 2 = 2 2 (18)$$

Заметим, что (16) и (17) являются уравнениями с неявной зависимостью от углов для определения  $a_1$  и  $a_2$  с учетом зависимостей (2)— (4) от а параметров  $\ell(x)$ ,  $\nu(x)$  и плотности  $\rho(x)$ .

При решении (16) и (17) появляется необходимость в последовательных приближениях. В нулевом приближении

$$a_1^{(0)} = \arcsin(c_1^{(0)}/c), \quad (c_1^{(0)})^3 = (\lambda_0 + 2\mu_0)/\rho_0$$
 (19)

$$\alpha_2^{(0)} = \arcsin(c_2^{(0)}/c), \quad (c_2^{(0)})^2 = 1$$
 (20)

В первом приближении находим из (16), (17), (19), (20), (2)—(5)

$$\begin{aligned} z_{1}^{(1)} &= \arcsin\left(c_{1}^{(1)}/c\right), \quad z_{2}^{(1)} &= \arcsin\left(c_{2}^{(1)}/c\right) \\ (c_{1}^{(1)})^{3} &= \left[\lambda(\alpha_{1}^{(0)}) + 2\mu(\alpha_{1}^{(0)})\right]/\rho(\alpha_{1}^{(0)}); \quad (c_{2}^{(1)})^{3} = \mu(\alpha_{2}^{(0)})/\rho(\alpha_{2}^{(0)}) \\ c(\alpha_{1}^{(0)}) &= c_{\infty} + (c_{0} - c_{\infty}) \exp\left\{-\beta a[\alpha_{1}^{(0)} - \alpha_{0}]\right\} \\ \mu(\alpha_{1}^{(0)}) &= \mu_{\infty} + (\mu_{0} - \mu_{\infty}) \exp\left\{-\beta a[\alpha_{1}^{(0)} - \alpha_{0}]\right\} \\ \rho(\alpha_{1}^{(0)}) &= \rho_{\infty} + (\rho_{0} - \rho_{\infty}) \exp\left\{-\beta a[\alpha_{1}^{(0)} - \alpha_{0}]\right\} \\ \mu(\alpha_{2}^{(0)}) &= \rho_{\infty} - (\rho_{0} - \rho_{\infty}) \exp\left\{-\beta a[\alpha_{2}^{(0)} - \alpha_{0}]\right\} \end{aligned}$$

$$\rho(\alpha_{1}^{(0)}) &= \rho_{\infty} - (\rho_{0} - \rho_{\infty}) \exp\left\{-\beta a[\alpha_{1}^{(0)} - \alpha_{0}]\right\}$$

Уравнения (16) и (17) могут быть решены с учетом (2)— (4) графически. На плоскости z=z скачки напряжений и скоростей выражаются через интенсивность разрыва  $\infty$  и нормаль к понерхности  $z=a_1$  разрыва  $x_1^{(1)}$  по формулам [7]:

$$-c_1(a_1)[s_{ij}] \approx w(i(a_1)\delta_{ij} + 2\mu(a_1)\cdot_i^{(1)}\cdot_i^{(1)}). \quad [4]$$

а на плоскости  $\alpha = z_2$ —через пормаль к поверхности  $\alpha = z_1$  разрыра  $v_i^{(2)}$  по формулам [7]

$$-c_{1}(a_{2})[a_{1}] = \mu(a_{2})\{[v_{1}]v_{1}^{(2)} + [v_{1}]v_{1}^{(2)} = 0$$
 (23)

гле  $c_3(a_1)$  определено по (17), а  $\mu(a_2)$  определяется при помощи второго равенства (2) и (4) при  $\alpha=a_2$ . Используя условия на скачках (22), (23), условия (18), условия  $a_{ij}^{(0)}=0$  при  $a_{ij}^{(0)}=a_{ij}^{(0)}=0$  при  $a_{ij}^{(0)}=a_{ij}^{(0)}=a_{ij}^{(0)}=a_{ij}^{(0)}=a_{ij}^{(0)}=a_{ij}^{(0)}=a_{ij}^{(0)}=a_{ij}^{(0)}=a_{ij}^{(0)}=a_{ij}^{(0)}=a_{ij}^{(0)}=a_{ij}^{(0)}=a_{ij}^{(0)}=a_{ij}^{(0)}=a_{ij}^{(0)}=a_{ij}^{(0)}=a_{ij}^{(0)}=a_{ij}^{(0)}=a_{ij}^{(0)}=a_{ij}^{(0)}=a_{ij}^{(0)}=a_{ij}^{(0)}=a_{ij}^{(0)}=a_{ij}^{(0)}=a_{ij}^{(0)}=a_{ij}^{(0)}=a_{ij}^{(0)}=a_{ij}^{(0)}=a_{ij}^{(0)}=a_{ij}^{(0)}=a_{ij}^{(0)}=a_{ij}^{(0)}=a_{ij}^{(0)}=a_{ij}^{(0)}=a_{ij}^{(0)}=a_{ij}^{(0)}=a_{ij}^{(0)}=a_{ij}^{(0)}=a_{ij}^{(0)}=a_{ij}^{(0)}=a_{ij}^{(0)}=a_{ij}^{(0)}=a_{ij}^{(0)}=a_{ij}^{(0)}=a_{ij}^{(0)}=a_{ij}^{(0)}=a_{ij}^{(0)}=a_{ij}^{(0)}=a_{ij}^{(0)}=a_{ij}^{(0)}=a_{ij}^{(0)}=a_{ij}^{(0)}=a_{ij}^{(0)}=a_{ij}^{(0)}=a_{ij}^{(0)}=a_{ij}^{(0)}=a_{ij}^{(0)}=a_{ij}^{(0)}=a_{ij}^{(0)}=a_{ij}^{(0)}=a_{ij}^{(0)}=a_{ij}^{(0)}=a_{ij}^{(0)}=a_{ij}^{(0)}=a_{ij}^{(0)}=a_{ij}^{(0)}=a_{ij}^{(0)}=a_{ij}^{(0)}=a_{ij}^{(0)}=a_{ij}^{(0)}=a_{ij}^{(0)}=a_{ij}^{(0)}=a_{ij}^{(0)}=a_{ij}^{(0)}=a_{ij}^{(0)}=a_{ij}^{(0)}=a_{ij}^{(0)}=a_{ij}^{(0)}=a_{ij}^{(0)}=a_{ij}^{(0)}=a_{ij}^{(0)}=a_{ij}^{(0)}=a_{ij}^{(0)}=a_{ij}^{(0)}=a_{ij}^{(0)}=a_{ij}^{(0)}=a_{ij}^{(0)}=a_{ij}^{(0)}=a_{ij}^{(0)}=a_{ij}^{(0)}=a_{ij}^{(0)}=a_{ij}^{(0)}=a_{ij}^{(0)}=a_{ij}^{(0)}=a_{ij}^{(0)}=a_{ij}^{(0)}=a_{ij}^{(0)}=a_{ij}^{(0)}=a_{ij}^{(0)}=a_{ij}^{(0)}=a_{ij}^{(0)}=a_{ij}^{(0)}=a_{ij}^{(0)}=a_{ij}^{(0)}=a_{ij}^{(0)}=a_{ij}^{(0)}=a_{ij}^{(0)}=a_{ij}^{(0)}=a_{ij}^{(0)}=a_{ij}^{(0)}=a_{ij}^{(0)}=a_{ij}^{(0)}=a_{ij}^{(0)}=a_{ij}^{(0)}=a_{ij}^{(0)}=a_{ij}^{(0)}=a_{ij}^{(0)}=a_{ij}^{(0)}=a_{ij}^{(0)}=a_{ij}^{(0)}=a_{ij}^{(0)}=a_{ij}^{(0)}=a_{ij}^{(0)}=a_{ij}^{(0)}=a_{ij}^{(0)}=a_{ij}^{(0)}=a_{ij}^{(0)}=a_{ij}^{(0)}=a_{ij}^{(0)}=a_{ij}^{(0)}=a_{ij}^{(0)}=a_{ij}^{(0)}=a_{ij}^{(0)}=a_{ij}^{(0)}=a_{ij}^{(0)}=a_{ij}^{(0)}=a_{ij}^{(0)}=a_{ij}^{(0)}=a_{ij}^{(0)}=a_{ij}^$ 

$$v_1^{(0)} = c_1 P A^{-1} \sin \alpha_1, \qquad \alpha_2 < \alpha < \alpha_1$$

$$v_2^{(0)} = -c_1 P A^{-1} \cos \alpha_1, \qquad \alpha_2 < \alpha < \alpha_1$$
(24)

$$v_1^{(0)} = c_1 P A^{-1} \sin \alpha_1 - c_2 P A^{-1} \frac{\mu(\alpha_1) \sin 2\alpha_1 \cos \alpha_2}{\mu(\alpha_2) \cos 2\alpha_2}, \quad 0 < \alpha < \alpha_2$$
 (25)

$$v_1^{(0)} = c_1 P A^{-1} \sin \alpha_1 - c_2 P A^{-1} \frac{\mu(\alpha_1) \sin 2\alpha_1 \cos \alpha_2}{\mu(\alpha_2) \cos 2\alpha_2}, \quad 0 < \alpha < \alpha_2$$

$$v_2^{(0)} = -c_2 P A^{-1} \cos \alpha_1 - c_2 P A^{-1} \frac{\mu(\alpha_1) \sin 2\alpha_1 \sin \alpha_2}{\mu(\alpha_2) \cos 2\alpha_2}, \quad 0 < \alpha < \alpha_2$$

$$A = \lambda(\alpha_1) + 2\mu(\alpha_1)\cos^2\alpha_1 + \mu(\alpha_1)\sin^2\alpha_1 + \log\alpha_2$$
 (26)

Определим из (14) производные скоростей  $v_i^{(1)}$ ,  $v_i^{(1)}$  в первом приближении. Имеем систему

$$\delta_{i}\delta_{k}(\lambda+\mu)v^{(1)} + \mu v^{(1)}/\sin^{2}\alpha - \rho c^{2}v^{(1)}_{i} = \delta_{i}\delta_{k}(\epsilon'+\mu')v^{(0)}_{k} - \mu'v^{(0)}/\sin^{2}\alpha$$
 (27)

Решение системы (27) запишется так:

$$v_{1}^{(1)'} = \Delta_{1}/\Delta, \quad v_{2}^{(1)'} = \Delta_{2}/\Delta, \quad \delta_{h}v_{1}^{(0)} = -v_{1}^{(0)} + (\operatorname{ctg} a)v_{2}^{(0)}$$

$$\Delta = \left[ -1 + (\nu + 2\mu)/(\rho c^{2}\sin^{2}a) \right] - 1 + \mu/(\rho c^{2}\sin^{2}a) \right]$$

$$\rho c^{2}\Delta_{1} = \left[ (\lambda' + \mu')\delta_{h}v_{h}^{(0)} - \mu'v_{1}^{(0)}/\sin^{2}a \right] - 1 + \mu/(\rho c^{2}\sin^{2}a) \right] - \left[ (\lambda + \mu)\mu'/(\rho c^{2}\sin^{2}a) \right] (v_{1}^{(0)}\operatorname{ctg}^{2}a + v_{2}^{(0)}\operatorname{ctg}a), \quad \alpha \neq a_{1}, \quad \alpha \neq a_{2}, \quad \alpha \neq a_{$$

Гак как  $v_1 = \sin \alpha_1$ ,  $v_2 = -\cos \alpha_1$ ,  $v_3 = 0$ , то из второго равенства (22), а также из (28) получим поле скоростей в первой зоне после первого скачка при 2 = 2, в первом приближении

$$v_{1}^{(1)} = -\omega \sin \alpha_{1} + \int_{0}^{\alpha} (\Delta_{1}/\Delta) d\alpha_{1}$$

$$v_{2}^{(1)} = \omega \cos \alpha_{1} + \int_{0}^{\alpha} (\Delta_{2}/\Delta) d\alpha_{1}$$
(29)

где Д, Д, Д определяются равенствами (28), (24), (26). Перепишем формулу (13) для о в первом приближении:

$$co_{ij}^{(1)} = cB_{ij} = \delta_{ij}\delta_k(\lambda\Delta_k/\Delta + \lambda'v_k^{(0)}) + \delta_i(\mu\Delta_i/\Delta + \mu'v_j^{(0)}) + \delta_j(\mu\Delta_i/\Delta + \mu'v_j^{(0)})$$
(30)

Напряжения в первой зоне после первого скачка определяются после интегрирования по а (30) с использованием первого условия (22) на скачке а = а,

$$\sigma_{1}^{(1)} = \left[ \omega/c_{1}(\alpha_{1}) \right] \left[ \lambda(\alpha_{1}) + 2\mu(\alpha_{1})\sin^{2}\alpha_{1} \right] + \int_{a_{1}}^{a} B_{11}d\alpha$$

$$\sigma_{22}^{(1)} = \left[ \frac{\omega}{c_1(\alpha_1)} \right] \left[ \frac{\lambda(\alpha_1) + 2\mu(\alpha_1)\cos^2\alpha_1}{1 + \sqrt{B_{22}} d\alpha}$$

$$\sigma_{33}^{(1)} = \frac{\lambda(\alpha_1)\omega}{c_1(\alpha_1)} \frac{\omega}{1 + \sqrt{C_1(\alpha_1)}} + \frac{\omega}{C_1(\alpha_1)} \frac{\omega}{1 + \sqrt{C_1(\alpha_1)}} \right]$$

$$\sigma_{12}^{(1)} = -\left[ \frac{\omega}{c_1(\alpha_1)} \right] \mu(\alpha_1) \sin 2\alpha_1 + \int_{\alpha_1}^{\alpha_1} \frac{B_{12} d\alpha}{1 + \sqrt{C_1(\alpha_1)}} \frac{\omega}{1 + \sqrt{C_1(\alpha_1)}}$$
(31)

Интегрирование первых двух равенств (28) от  $\alpha_2$  до  $\alpha$  с учетом определения скачка и значений скоростей (29) при  $\alpha=\alpha_2$  находим поле скоростей во второй зоне после второго скачка в первом приближении

$$v_{1}^{(1)} = -\omega \sin \alpha_{1} - [v_{1}^{(1)}]_{2} + \int_{0}^{\alpha} (\Delta_{1}/\Delta) d\alpha, \quad 0 \le \alpha < \alpha_{2}$$

$$v_{2}^{(1)} = \omega \cos \alpha_{1} - [v_{2}^{(1)}]_{2} + \int_{0}^{\alpha} (\Delta_{1}/\Delta) d\alpha, \quad 0 \le \alpha < \alpha_{2}$$

$$(32)$$

Злесь  $\{x_1^{(i)}\}_{i=1}^n$  скачок через  $x=x_{a_1}$  в  $\Delta_1$ ,  $\Delta_2$ ,  $\Delta_3$  определяются по формумам (28) и по формулам (24), (25) в первой и второй вонах,

Напряжения во второй зоне после скачка  $0 < x < x_2$  определяются интегрированием (30) от  $x_2$  до  $\alpha$ . Постоянные интегрирования находятся при помощи первого условия на скачке (23) и значений (31) напряжений перед вторым скачком ( $\alpha = x_2 + 0$ ). В результате получим в первом приближении

$$\begin{aligned} z_{11}^{(1)} &= |w/c_{1}(\alpha_{1})|(i(\alpha_{1}) + 2u(\alpha_{1})\sin^{2}\alpha_{1}) + 2u(\alpha_{2})|v_{1}^{(1)}|_{2}(\sin\alpha_{2})/c_{2}(\alpha_{2}) + \int_{-1}^{4} B_{11}d\alpha \\ \\ \sigma_{21}^{(1)} &= |w/c_{1}(\alpha_{1})|(\lambda(\alpha_{1}) + 2u(\alpha_{1})\cos^{2}\alpha_{1}) - 2u(\alpha_{2})|v_{2}^{(1)}|_{2}(\cos\alpha_{2})/c_{2}(\alpha_{2}) + \int_{-1}^{4} B_{22}d\alpha \\ \\ \sigma_{33} &= wi(\alpha_{1})/c_{1}(\alpha_{1}) \\ &= -|w/c_{1}(\alpha_{1})|u(\alpha_{1})\sin^{2}\alpha_{1} + [u(\alpha_{2})/c_{2}(\alpha_{2})]([v_{2}^{(1)}]_{2}\sin\alpha_{2} + [v_{1}^{(1)}]\cos\alpha_{2}) + \\ &+ \int_{-1}^{4} B_{12}d\alpha, \quad 0 \leq \alpha \leq \alpha_{2} \end{aligned}$$

Для определения интенсивности скачка  $\omega$  и скачков  $[v_1^{(i)}]_2$  и  $[v_2^{(i)}]_3$  воспользуемся вторым условием (23) и граничными условиями (8). Тогда

$$\omega = c_{1}(\alpha_{1})A^{-1} \left\{ -P + \operatorname{tg}2\alpha_{2} \int_{\alpha_{1}}^{0} B_{12}d\alpha - \int_{\alpha_{1}}^{0} B_{22}d\alpha \right\}$$

$$|v|^{1} = \frac{c_{2}(\alpha_{2})C^{1}S\alpha_{2}}{\mu(\alpha_{2})\cos2\alpha_{1}} \left\{ \mu(\alpha_{2})\sin2\alpha_{1}A^{-1}(P - \operatorname{tg}2\alpha_{2} \int_{\alpha_{1}}^{0} B_{12}d\alpha + \int_{\alpha_{1}}^{0} B_{22}d\alpha \right\}$$
(34)

$$[v_{1}^{(1)}] = \frac{c_{2}(\alpha_{2})\sin\alpha_{2}}{u(\alpha_{2})\cos2\alpha_{2}} \left[ u(\alpha_{1})\sin2\alpha_{1}A^{-1} \left(P + \log2\alpha_{2} \int_{0}^{\infty} B_{12}d\alpha - \int_{0}^{\infty} B_{12}d\alpha\right) - \int_{0}^{\infty} B_{12}d\alpha \right]$$

Формулы (29), (31), (32), (33) с учетом обозначений (34) для  $\omega$ , [ $v_1^{(1)}$ ], [ $v_2^{(1)}$ ], (28) для  $\Delta_1$ ,  $\Delta_2$ ,  $\Delta$ , (30) для  $B_{ij}$ , (24) для  $v_i^{(0)}$  в первой зоне, (25) для  $v_i^{(0)}$  во второй зоне, (26) для A и (21) для первого приближения  $\alpha_1$ ,  $\alpha_2$ , а также  $c_1(\alpha_1)$ ,  $c_2(\alpha_2)$ ,  $c(\alpha_1)$ ,  $\mu(\alpha_1)$ ,  $\mu(\alpha_2)$  дают решение поставленной задачи в первом приближении.

Рассмотрим частный случай, когда

$$\lambda_0/\lambda_\infty = \mu_0/\mu_{\perp} = \rho_0/\rho_\infty \tag{35}$$

Вместо (2)—(4) можно пользоваться кусочно-линейной моделью стврения

$$\begin{aligned}
h &= \begin{cases}
 h_{\infty} + (\mu_0 - \mu_{\infty}) \alpha / \alpha_0 & 0 \leqslant \alpha \leqslant \alpha_0 \\
 h_{0} & \alpha & \alpha_0
\end{aligned} \\
\mu &= \begin{cases}
 \mu_{\infty} + (\mu_0 + \mu_{\infty}) \alpha / \alpha_0 & 0 \leqslant \alpha \leqslant \alpha_0 \\
 \mu_{0} & \alpha & \alpha_0
\end{cases} \\
\rho &= \begin{cases}
 \rho_{\infty} + (\rho_0 - \rho_{\infty}) \alpha / \alpha_0 & 0 \leqslant \alpha \leqslant \alpha_0 \\
 \rho_{0} & \alpha \geqslant \alpha_0
\end{aligned} (36)$$

Здесь  $a_0$ —минимальный угол, до которого не достигает процесс старения. При выполнении (35), (36)

$$\lambda = \frac{\lambda_0}{\rho_0} \mu = \frac{\lambda_0}{\rho_0} \rho \tag{37}$$

В этом случае формулы для скоростей и напряжений упрощаются, так как тогда

$$\alpha_{1} = \alpha^{(0)}, \quad \alpha_{2} = \alpha^{(0)}, \quad c_{1} = c_{1}^{(0)}, \quad c_{2} = c_{1}^{(0)}$$

$$\frac{\lambda + \mu}{\rho} = \frac{c_{0} - \mu_{0}}{\rho_{0}}, \quad \frac{\mu}{\rho} = \frac{\mu_{0}}{\rho_{0}}, \quad \lambda' = \frac{c_{0} - \mu_{0}}{\sigma_{0}}, \quad u' = \frac{\mu_{0} - \mu_{0}}{\sigma_{0}}$$
(38)

В качестве примера рассмотрим старение, возникающее в процессе движения нагрузки, связанное с деструкцией, контактирующего с нагрузкой слоя. При высокоскоростиом ударе эксперимент показывает, что в материале от интенсивной ударной волиы происходит диспертирование, деструкция, оплавление, выгорание материала. В расчете ограничимся малым уменьшением (10%) модулей и плотности материала из-за деструкции в области контакта с нагрузкой ( $\alpha$ =0)

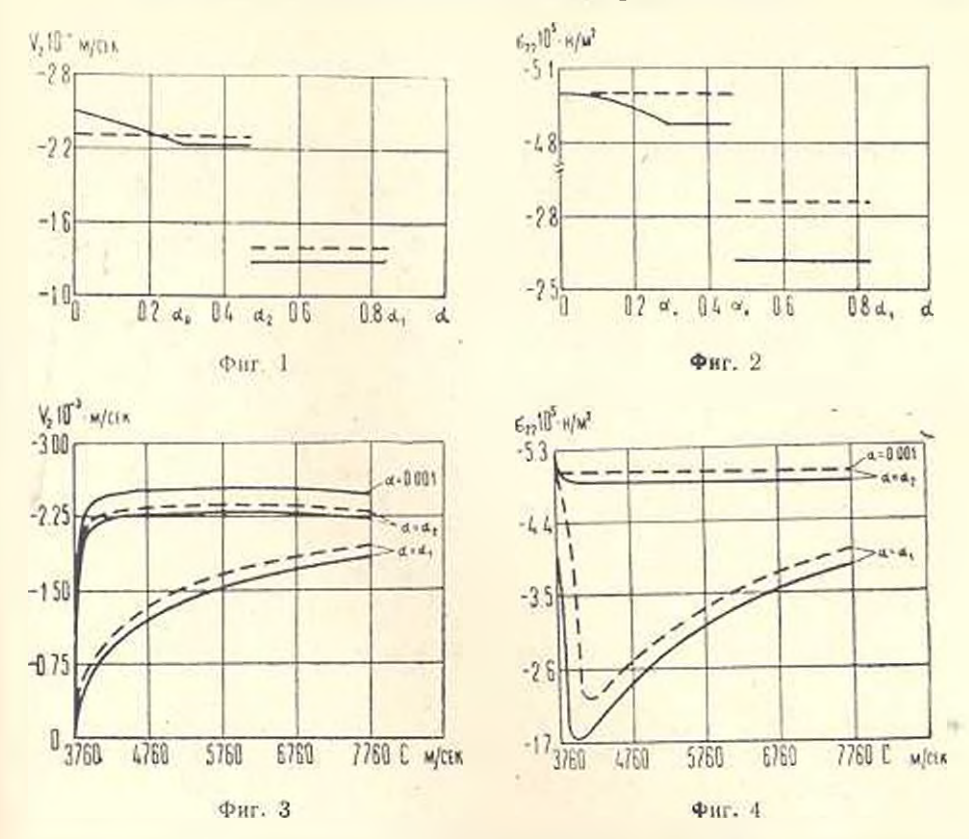
$$(i_0 - \lambda_{\alpha})/i_0 \ge (\mu_0 - \mu_{\alpha})/\mu_0 = (\rho_0 - \rho_{\alpha})/\rho_0 \ge 0.1$$
(39)

Так как деструкция затухает в глубину полупространства, то при  $\alpha > 0$  деструкция меньше, чем при  $\alpha = 0$  и для малой деструкции (39) справедлива кусочно-линейная модель (36). Кроме того, согласно [6] в (36) полагается  $\alpha_0 = \arcsin(0.4 \ \epsilon_1/c)$ .

Влияние старения из-за деструкции численио иллюстрируется на

примере распространения ударных воли от нагрузки  $P=5\cdot 10^5~{\rm H/M^2}$  в тяжелом флинтгласе, для которого принято [8]

$$c_0 = 5.9 \cdot 10^3 \text{ kg/m}^3$$
,  $c_1^{(0)} = 3760 \text{ M/c}$ ,  $c_2^{(0)} = 2220 \text{ M/c}$  (40)



На фиг. 1 и 2 изображены зависимости скоростей v(t) и напряжений s(t) в первом приближении от угла  $\alpha$ , определяющего координату в зонах за скачком напряжений при c=5010 м/с. На фиг. 3 и 4 приводятся зависимости от скорости c движения нагрузки величин v(t) и при трех значениях угла  $\alpha = \alpha_1$ ,  $\alpha = \alpha_2$ , и  $\alpha = 0.001$ . На всех четырех фигурах пунктиром изображены соответствующие зависимости в отсутствии старения от деструкции. На фиг. 4 для  $\alpha = 0.001$  сплошная лиция совпадает с пунктирной.

Вычисления показали, что отклонение v(1) и  $\frac{11}{10}$  в материале со старением и без старения достигает 9% при  $z - z_1$  и c - 5010 м/с, что согласуется с допущением (39). В зоне с трещинами  $0 \leqslant z \leqslant z_0$  нормальные к поверхности скорости и напряжения убывают непрерывно с ростом z. После второго скачка для  $z_0$  и после первого скачка для их значения постоянны и меньше, чем в среде без трещин. Интересно, что для этих углов z модули и плотность такие же, как и в среде без дефектов, а наличие дефектов в зоне сразу под подвижной нагрузкой уменьшает напряжения и скорости вдали от нагрузки. Скорость  $v_1$  непосредственно в дефектной зоне под подвижной нагрузкой иссколько выше, чем в среде без трещии. Из графиков фиг. 4 видно, что

для скоростей движения нагрузки с равной и несколько большей скорости продольной волны с напряжения с ростом 2 от 0 до растут и увеличиваются на 3% от значения нагрузки на границе. Увеличение напряжений объясняется ростом модулей с уменьшением концентраци трещин при изменении угла 2 от границы полупространства. При больших скоростях движения нагрузки увеличения напряжений с глубиной не происходит.

## ՓՈՓՈԽՎՈՂ ԱՌԱՁԳԱԿԱՆ ՄՈԴՈՒՄՆԵՐՈՎ ԿԻՄԱՏԱՐԱԾՈՒԹՅՈՒՆՈՒՄ ԱՍՏԻՃԱՆԱՅԻՆ ԲԵՌԻ ԳԵՐՁԱՅՆԱՅԻՆ ԱՐԱԳՈՒԹՅԱՄԲ ՇԱՐԺՈՒՄԸ

Գ. Ե. ՔԻԿՈՎՑԵՎ, Ա. Վ. ԿՈԼՈԿՈԼՉԻԿՈՎ, Վ. Վ. ԿՈԼՈԿՈԼՉԻԿՈՎ

### Ամփոփում

Դիտարկվում է աստիճանային բնռի աղդնցության տակ փոփոխվող առաձդական մողուլներով կիսատարածության դեֆորմացիայի խնդիրը։ Բեռը շարժվում է գերձայնային արադությամբ։ Բեռնավորման գոտում գրգռումների մեթողով կառուցվում է ավտոմոդելային լուծումը։ Մտացված է առաջին մոտամորությամբ լարումների և արագությունների համար արտահայտություններ հաշվի առնելով ծերացումը տարրեր ղեպբերի համար

# STEP LOAD MOVING WITH SUPERSEISMIC VELOCITY ON THE HALF-SPACE WITH CHANGEABLE ELASTIC MODULES

G. I. BIKOYTSEV, A. V. KOLOKOLCHIKOV, V. V. KOLOKOLCHIKOV

### Summary

The problem of deformation of half-space with changeable elastic modules produced by step load is considered. The load moves with superseismic velocity. Automodel solution in the loading area is constructed by the reductive perturbation method. The formulas for stresses and velocities in the first-order approximation for various cases having into account ageing are obtained.

### ЛИТЕРАТУРА

- 1. Арутюням И. Х. Полаучесть стареющих материалов. Полаучесть бетона. В кн.; «Механика в СССР за 50 лет», т. 3. М.: Наука, 1963.
- Арутюнян Н. Х. Об уравнениях состояния в нелинейной теории ползучести неоднородно стареющих тел.—ДАН СССР, т. 231, № 3, 1976.
- 3. Галин Л. Л. Контактные задачи теории упругости. М.: Гостехиздат, 1953.
- 4. Снеддон Н. Н., Берри Д. Классическая теория упругости. М.: Физматиздат, 1961.
- Cole J. D., Huth J. H. Stresses produced in a half-space by moving loads.—J. Appl. Mech. 1958, 25.
- Николаевский В. Н. Динамическая прочность и скорость разрушения. В ки.: Мехаияка. Новое в зарубежной науке, № 26. Удар, взрыв и разрушение. М.: Мир, 1981.
- Быковцев Г. И., Вервейко Н. Д. О распространения воли в упруговязко-пластической среде.—МТТ, 1966, № 4.
- 8. Таблицы физических величин. Справочник, Под ред. И. К. Киконна М.: Атомиздат, 1976, стр. 66—86.

Куйбышевский госуниверситет

Поступила в редакцию 12.V.1983

Մհխանիկա

XXXIX, N. 2, 1986

Механика

УДК 539.3:637.634

# ОДНОМЕРНЫЕ НЕЛИНЕЙНЫЕ МАГНИТОУПРУГИЕ ВОЛНЫ В ПОПЕРЕЧНОМ МАГНИТНОМ ПОЛЕ

#### ГАСПАРЯН А. Е.

Нелинейные магинтоупругие волны исследовались в работах [1-4]

Здесь исследуется распространение одномерных нелинейных магнитоупругих воли в идеально проводящей среде. Введением малого параметра нелинейная задача приводится и системе нелинейных уравнений, которая имеет точное решение Показывается, что влияние нелинейности возмущенного магнитного поля приводит и возникновению ударных магнитоупругих воли. Обнаружено, что чем больше величина вектора напряженности внешнего магнитного поля, тем слабее искажение профиля магнитоугругой волиы.

Пусть идсально проводящая неограниченная среда находится во внешнем постоянном магнитном поле с вектором напряженности. Волновой процесс в этой среде будет описываться следующими уравнениями магнитоупругости [1—5]:

$$C_i^2 \Delta U + (C_i^2 - C_i^2) \operatorname{grad} \operatorname{div} U + \frac{1}{4 = 6} \operatorname{(rot} H) \times H = \frac{\partial^2 U}{\partial t^2}$$

$$\frac{\partial H}{\partial t} = \operatorname{rot} \left( \frac{\partial U}{\partial t} \times H \right) \tag{1}$$

Здесь  $C_t$  и  $C_t$ —скорости упругих поперечных и продольных воли,  $\rho$ —плотность средь. U—вект р смещения, H—возмущенное магнитное поле.

Предположено, что задача линейна относительно упругих перемещений и учитывается только нелинейность, связанная с возмущенным магнитным полем.

В дальнейшем рассматривается одномерная задача, то есть все искомые величины зависят только от координат х и  $\ell_2$ 

Представляя возмущенное магнитное поле в виде [5]

$$H = H_0 \cdot h$$
 ( $H_0 = const$ )

и предполагая, что внешнее постоянное магнитное поле перпендикулярно к направлению распространения одномерной магнитоупругой волны  $(H_0 = H_0 k)$ , на системы нелинейных уравнений (1) получим

$$C_{1}^{2} \frac{\partial^{3} U_{1}}{\partial x^{3}} - \frac{1}{4\pi\rho} \left( h_{1} \frac{\partial h_{2}}{\partial x} + h_{3} \frac{\partial h_{3}}{\partial x} + H_{0} \frac{\partial h_{3}}{\partial x} \right) = \frac{\partial^{3} U_{1}}{\partial t^{2}}$$

$$\frac{\partial h_{2}}{\partial t} = -\frac{\partial}{\partial x} \left( h_{1} \frac{\partial U_{1}}{\partial t} \right), \quad \frac{\partial h_{3}}{\partial t} = -\frac{\partial}{\partial x} \left( h_{2} \frac{\partial U_{1}}{\partial t} \right) - H_{0} \frac{\partial^{3} U_{1}}{\partial x \partial t} \tag{2}$$

Внешнее магнитное поле и учет нелинейности возмущенного магнитного поля не влияют на распространение поперечных упругих воли.

Таким образом, имеем систему нелинейных уравнений (2), откуда должны определить неизвестные функции  $U_1,\ h_2$  и  $h_3$ .

В безразмерном виде введением обозначений

$$x^* = \frac{x}{x_0}$$
,  $t^* = \frac{t}{t_0}$ ,  $\frac{x_0}{t_0 C_t} = 1$ ,  $h_2^* = \frac{h_2}{H_0}$ ,  $h_3^* = \frac{h_3}{H_0}$ ,  $R_H = \frac{V_A^2}{C_t^2}$   
 $V_A^2 \approx \frac{H_0^2}{4\pi a}$ ,  $V_1^* = \frac{1}{C_t} V_1$ ,  $V_1 = \frac{\partial U_1}{\partial t}$ ,  $W_1^* = W_1 = \frac{\partial U_1}{\partial x}$ 

систему нелинейных уравнений (2) приведем к виду (где индекс • опущен)

$$\frac{\partial W_1}{\partial x} - R_H \left( h_2 \frac{\partial h_2}{\partial x} + h_3 \frac{\partial h_3}{\partial x} + \frac{\partial h_2}{\partial x} \right) = \frac{\partial V_1}{\partial t}$$

$$\frac{\partial h_3}{\partial t} = -\frac{\partial}{\partial x} \left( h_3 V_1 \right), \quad \frac{\partial h_3}{\partial t} = -\frac{\partial}{\partial x} \left( h_3 V_1 \right) - \frac{\partial V_1}{\partial x}, \quad \frac{\partial V_1}{\partial x} = \frac{\partial W_1}{\partial t}$$
(3)

Представляя решение линеаризованной системы уравнений (3) в виде плоской монохроматической волны  $A \exp\{i(kx-\omega t)\}$ , для определения фазовой скорости  $V_p = \omega/k$  получим соотношения

$$V_{\rho} = -\sqrt{1 \cdot R_H}$$

Введением преобразования координат [2, 3]

$$\varepsilon = \varepsilon(x - V_p t), \quad \tau = \varepsilon^2 t$$

где •= 0(k) --малый безразмерный параметр, решение приведенной нелинейной системы представляется в виде разложения по малому параметру • [1, 3, 6] при условии, что решение системы в нулевом приближении совпало с решением линейной задачи. В таком случае искомая нелинейная задача приводится в первом приближении к следующей системе нелинейных уравнений:

$$\frac{\partial V_{11}}{\partial \tau} + R_H h_{11} \frac{\partial h_{31}}{\partial \xi} = 0, \quad \frac{\partial h_{31}}{\partial \tau} + \frac{\partial}{\partial \xi} (V_{11} h_{31}) = 0 \tag{4}$$

Можно проверить, что система нелинейных уравнений (4) допускает решения следующего типа:

$$h_{\rm H} = \sqrt{\frac{2}{R_{\rm H}}} V_{\rm H}, \quad \frac{\partial V_{\rm H}}{\partial z} + \frac{\partial V_{\rm H}^2}{\partial z} = 0 \tag{5}$$

иля

$$V_{\rm H} = \sqrt{\frac{R_H}{2}} h_{\rm H}, \quad \frac{\partial h_{\rm 31}}{\partial z} + \sqrt{\frac{R_H}{2}} \frac{\partial h_{\rm 31}}{\partial z} = 0 \tag{6}$$

Нелийнейные уравнения (5) и (6) устанавливают, что сигналы, несущие значения  $V_{11}$  и  $h_{31}$ , перемещаются, соответственно, со скоростью  $2V_{13}$  и  $\sqrt[4]{2R_H}\,h_{31}$ .

Здесь будем исследовать решения уравнения (5), а решение урав-

пения (6) получится аналогичным образом.

Нелинейное уравнение первого порядка (5) имеет точное решение, которое имеет следующий вид (в неявном виде) [7, 8]:

$$V_{11} = f(\xi - 2V_{11}\tau), \quad V_{11} = V_{11}(\xi, \tau) \tag{7}$$

где f—произвольная функция и определяется начальным условием  $V_{11}(\xi, 0) = f(\xi)$  (при  $\xi = 0$ ).

Таким образом, если в начальный момент времени задана форма полны, то ее искажение вследствие нелинейных эффектов и последующие моменты времени описывается выражением (7). Многозначность решения (7) устраняется введением разрывов, то есть ударных воли, которые сохраняют площаль под кривой в соответствии с формулой (9)

$$\int V_{11}(\xi, \cdot t) dt = \text{const}$$
 (8)

Формула (8) дает закон сохранения, полученный для возмущений, псчезающих достаточно быстро при | ξ | -∞, которая получается из уравнения (5) интегрированием по всем значениям ξ.

Теперь возвращаясь к прежним безразмерным параметрам, из решения (7) получим

$$U(x, t) = \Phi\{x - [\sqrt{1 + R_H} + 2\tilde{U}(x, t)]t\}$$
(9)

где

$$\widetilde{U}(x, t) = \frac{1}{C_t} \frac{\partial U_s}{\partial t}$$

Для решения уравнения (6) получим

$$h_{11}(x, t) = 0\{x - [\sqrt{1 + R_H} + \sqrt{2R_H} h_{11}(x, t)]t\}$$
 (10)

Выражения (9) и (10) показывают, что относительно неподвижной системы координат возмущение среды и возмущение магнитного поля в среде движутся, соответственно, со скоростями

$$u_1(x,t) = \sqrt{1 + R_H + 2U(x,t)}$$
 (11)

$$h_2(x, t) = \sqrt{1 + \sqrt{2R_H}h_2(x, t)}$$
 (12)

Формула (11) показывает, что скорость перемещения точек профиля одномерной магнитоупругой волны неодинакова.

Исследования решення (9), аналогично исследованию работы [10], в частности, при x=0,  $\overline{U}(x,t)=\overline{U}_0$  sin wt, показывают, что искажения профиля магнитоупругой волны тем сильнее, чем больше параметр  $\chi_0 = U_0(1+R_H)^{-1/4}$ . Поэтому  $\chi_0$  (которое зависит от напри-

женности внешнего магнитного поля) может служить мерой нелинейности магнитоупругого волнового процесса. При известном  $\widetilde{U}_0$  можно сказать, что чем больше напряженность внешнего магнитного поля, тем слабее искажение профиля магнитоупругой волны.

При распространении одномерных нелинейных магнитоупругих воли возникает ударная волна, профиль которой описывается уравнениями

$$x - [\sqrt{1 + R_H} + 2\tilde{U}(x, t)]t = \text{const}$$
  
$$x - [\sqrt{1 + R_H} + \sqrt{2R_H}h_{31}(x, t)]t = \text{const}$$

Расстояние, откуда начинается возникновение ударной магнитоупругой волны для решения (9), определяется следующей формулой:

$$\tilde{x} = \frac{1 + R_H}{2\omega U_0} = \frac{\kappa}{4\pi} \chi^{-1} \tag{13}$$

где

$$\chi - \frac{\overline{U}(x, \eta)}{\sqrt{1 + R_H}}, \quad \eta = t - \frac{x}{\sqrt{1 + R_H}}$$

Отсюда следует, что на длине х укладывается  $(2\pi\chi)^{-1}$  плин волн. Амплитуда разрыва определяется из формулы

$$\frac{\overline{U}_p(\theta)}{\overline{U}_0} = \pi [1 + \theta(x)]^{-1}, \quad \theta(x) = \frac{2m\overline{U}_0}{\sqrt{1 + R_H}} x$$

Аналогично формулам (13) и (14) можно искать и формулы для решения (10)

$$\bar{x} = \frac{1 + R_H}{\sqrt{2R_H + \omega \hat{h}_0}} = \frac{\lambda}{\sqrt{8R_H + z}} \chi^{-1}, \quad \chi = \frac{\tilde{h}_0(x, \eta)}{\sqrt{1 + R_H}}$$

$$\frac{\tilde{h}_p(\theta)}{\tilde{h}_n} = \pi [1 + \theta(x)]^{-1}, \quad \theta(x) = \frac{\sqrt{2R_H + \omega h_0}}{1 + R_H} x$$

## ԼԱՅՆԱԿԱՆ ՄԱԳՆԻՍԱԿԱՆ ԳԱՇՏՈՒՄ ՄԻԱՉԱՓ ՈՉ ԳԾԱՅԻՆ ՄԱԳՆԻՍԱԱՌԱՁԳԱԿԱՆ ԱԼԻՔՆԵՐԸ

Հ. Ե. ԳԱՍՊԱՐՑԱՆ

Ամփոփում

Աշխատանքում դիտարկվում է միաչափ ոչ դծային մագնիսատաձգական այիքների տարածումը իդեալական հազորդիչ տարածությունում լայնական մազմիսական դաշտի հաշվառումով։ Ցույց է տրվում, որ միայն գրդոված մադնիսական դաշտի ոչ գծայնության հաշվառումը բերում է հարվածային ալիքեների առաջացման։ Ստացվել է, որ ինչքան մեծ է մագնիսական դաշտի լարվածության վեկտորը, այնքան ավելի թույլ է մագնիսաառաձգական ալիքի ճակատի աղավաղումը։

# ONE-DIMENSIONAL NONLINEAR MAGNETOELASTIC WAVES IN A TRANSVERSE MAGNETIC FIELD

#### A. E. GASPARIAN

## Summary

In the paper the motion of one-dimensional nonlinear magnetoelastic waves of a perfect conducting medium in a transverse magnetic field is considered.

It has been shown that the nonlinearity of a perturbation magnetic field brings to the rise magnetoelastic shock waves.

It has been revealed that the more the value of the external magnetic field strength vector the less is the shape distortion of the magnetoelastic wave.

#### ЛИТЕРАТУРА

- 1. Поспелов Л. А. Нелинейные магнитоупругие волны.—ПММ, 1963, вып. 5, с. 939—941.
- Donato A. The Burger's Equation in Magnetothermo-classistic with one-dimensional Deformation.—ZAMP, 27, 2, p. 281—284.
- 3. Гаспарям А. Е. Об одной задаче распространения магнитоупругой нелинейной волны.—Уч записки ЕГУ, Ереван, 1983, № 3, с. 42—46.
- 4. Селезов И. Т., Петров В. И. Решение задачи о неустановившихся волнах в электропроводящем упругом полупространстве. В км.: Численно-аналитические методы решения задач теплопроводности и электродинамики (Ин-т математики АН УССР) Киев. Изд-во Наукова думка, 1979, с. 155—158.
- 5 Амбарцумян С. А. Багдасарян Г. Е., Белубекян М. В Матнитоупругость тонких оболочек и пластин, М.:Наука, 1977. 272 с.
- 6. Найфе А. Метолы возмущения. М.: Мир, 1976 546 с.
- 7. Курант Г., Фридрихс К. Сверхзвуковое течение и ударные волны М.: ИЛ, 1960. 426 с.
- 8. Лайтхилл Дж. Волны в жидкостях. М.: Мир. 1981, 600 с.
- Нелинейные волны, пол ред. С. Лейбовича и А. Сибасса. М.: Изл-во Мир. 1977.
   320 с.
- Руденко О. В. Солуян С. Н. Теоретические основы нелинейной акустики. М.: Наука, 1975. 287 с.

Институт мехапики АН Армянской ССР

> Поступила в редакцию 6.X11.1984